



**Autostrada A13  
Bologna - Padova**

**Progetto Definitivo  
Ampliamento alla terza corsia  
Tratto Bologna - Ferrara**

**Opere di linea**

**Ponte sul canale Scolo Tombe (pk 24+448)**

**Relazione di calcolo impalcato**

1.	Introduzione	4
1.1	Dati di base	5
1.2	Descrizione generale dell'opera	5
1.2.1	Schema statico	6
1.2.2	Impalcato	7
1.2.3	Spalle	9
1.3	Normative di riferimento	10
1.4	Condizioni ambientali e classi di esposizione	11
1.5	Caratteristiche materiali	11
1.5.1	Tensioni limite e proprietà di riferimento - Allargamento	11
1.5.2	Tensioni limite e proprietà di riferimento – Impalcato esistente	12
1.5.3	Coefficienti parziali di sicurezza	15
1.6	Software di calcolo	15
1.7	Convenzioni generali	16
2.	Impostazione delle analisi e delle verifiche	17
2.1	Analisi della struttura	17
2.2	Studio interazione impalcato/sottostrutture	21
2.3	Caratteristiche delle sezioni dell'impalcato	21
2.3.1	Impalcato esistente	21
2.3.2	Impalcato nuovo in allargamento	24
3.	Analisi dei carichi	27
3.1	Carichi agenti in fase 1	27
3.1.1	Pesi propri ( $G_{k1}$ )	27
3.2	Carichi agenti in fase 2	27
3.2.1	Sovraccarichi permanenti ( $G_{k2}$ )	27
3.3	Carichi agenti in fase 3	28
3.3.1	Carichi mobili ( $Q_k$ )	28
3.4	Tabella esplicativa dei carichi agenti	30
4.	Combinazioni di carico	33
4.1	Combinazioni per gli S.L.U. – STR	34
4.2	Combinazioni per gli S.L.E. RARA	34
4.3	Combinazioni per gli S.L.E. FREQUENTE	34
4.4	Combinazioni per gli S.L.E. QUASI PERMANENTE	34
5.	Analisi strutturale impalcato	35
5.1	Generalità	35
5.2	Sollecitazioni	37
5.2.1	Inviluppo S.L.U.	40

5.2.2	Inviluppo S.L.E. (Rara – Frequente - Q. Permanente)	42
5.2.3	Tabella riassuntiva delle sollecitazioni	43
5.2.4	Tabella riassuntiva delle sollecitazioni – Impalcato in allargamento	44
6.	Deformazioni verticali	46
6.1	Deformazioni massime	46
7.	Verifiche delle travi in c.a.p. e dei traversi	47
7.1	Generalità	47
7.2	Verifiche di resistenza S.L.U. per azioni flettenti	50
7.2.1	Impalcato esistente	50
7.2.2	Impalcato nuovo in allargamento	56
7.3	Verifiche S.L.U. per azioni taglianti	57
7.3.1	Impalcato esistente	58
7.3.2	Impalcato nuovo in allargamento	64
7.4	Verifiche tensionali S.L.E.	67
7.4.1	Caratteristiche sezioni di mezzera della trave	67
7.4.2	Tensioni al tiro	70
7.4.3	Tensioni agli S.L.E. (Rara)	72
8.	Verifica della soletta	73
8.1	Generalità	73
8.2	Carichi e combinazioni di carico	74
8.2.1	Effetti locali e globali	74
8.3	Sollecitazioni	75
8.4	Risultati di verifica della soletta	80
8.4.1	Armature trasversali	80
8.4.2	Risultati	81
9.	Azioni sugli appoggi	83

## 1. Introduzione

Nell'ambito dei lavori di ammodernamento della rete autostadale – Autostrada A13 – nel tratto tra Bologna e Ferrara, si prevede l'ampliamento della sede alla terza corsia, con adeguamento delle opere d'arte di linea. L'approccio generale ai ponti e ai viadotti esistenti prevede il mantenimento delle opere d'arte e il loro adeguamento alle attuali normative, sotto le combinazioni delle azioni statiche e sismiche, in ottemperanza alle disposizioni contenute nelle NTC 2008 e circolari successive.

L'impianto originario dell'autostrada risale alla decade degli anni 1960 e vede la realizzazione di opere d'arte in calcestruzzo armato con diffuso utilizzo di travi in CAP per gli impalcati; spalle e pile massicce in calcestruzzo armato ordinario fondate su pali. Lo schema statico ricorrente è quello delle campate isostatiche su semplici appoggi.

Per opportunità operative si è implementata l'analisi delle strutture esistenti e delle porzioni in allargamento con suddivisione in orizzontale. In dettaglio, si è approntata per ciascuna opera una relazione di calcolo per gli impalcati, una per le spalle e le pile ed una per le verifiche geotecniche delle fondazioni.

Il presente elaborato riporta i calcoli relativi alla verifica della porzione di impalcato esistente e il dimensionamento della porzione in allargamento per il Ponte sul canale "Scolo Tombe", alla pk 24+448.



*Individuazione dell'opera*

## 1.1 Dati di base

Preliminarmente all'avvio della progettazione è stata condotta una attività di indagine e reperimento dei dati di archivio, complementata da indagini in situ.

In particolare, per l'opera in oggetto, sono a disposizione:

- Scheda anagrafica dell'opera – codifica 13.03.0151.0.0, nella quale si ripercorre la cronistoria delle ispezioni e degli interventi principali effettuati sull'opera. E' inoltre presente una breve descrizione dello stato del manufatto e delle principali criticità

Documenti progettuali originali:

- del 11.1963 – Relazione di calcolo degli impalcati
- del 11.06.1964 – Relazione di calcolo delle fondazioni ed elevazioni
- processo verbale di collaudo statico del 30.06.1966
- Elaborato grafico progettuale n. 100, contenente le carpenterie e le armature del manufatto

E' inoltre stata effettuata una campagna di indagini mirata e confermare la geometria dell'opera e a determinare le caratteristiche dei materiali.

## 1.2 Descrizione generale dell'opera

L'opera esistente è costituita da un manufatto a singola campata avente luce di calcolo pari a 19.20 m e lunghezza complessiva delle travi 19.92 m circa ed è caratterizzata da una inclinazione quasi retta tra l'asse autostradale e l'allineamento degli appoggi, con angolo planimetrico pari a circa 90°.

La larghezza complessiva in sezione trasversale è pari a 11.90 m circa per ciascuna carreggiata e, a valle dell'intervento in progetto, vi sarà un incremento della piattaforma pari a mediamente 5.10 m per la carreggiata sud e circa 4.95 per la nord, inclusi cordoli.

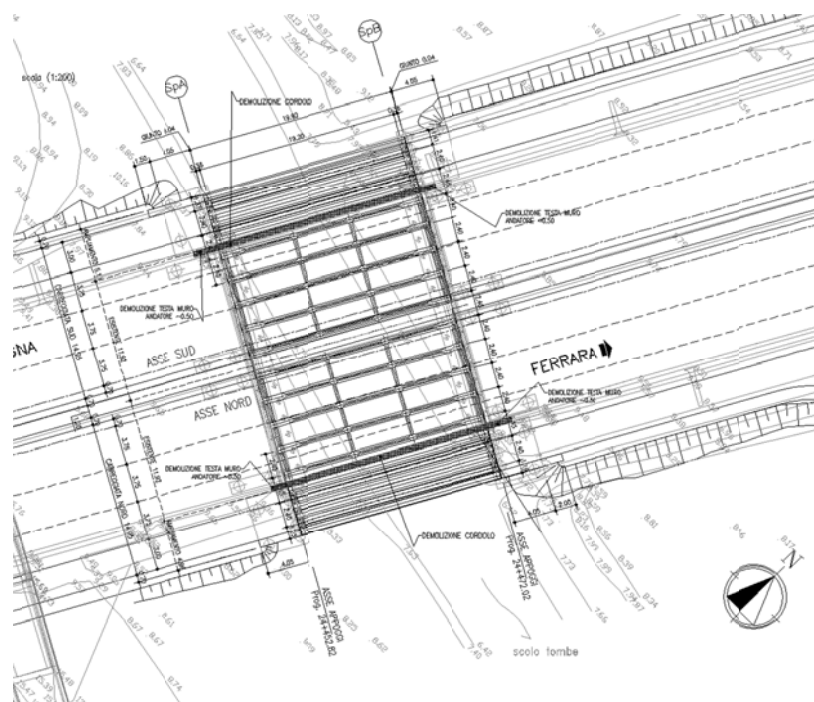
Il manufatto si compone di impalcati realizzati mediante travi prefabbricate affiancate di altezza 1.00 m oltre soletta ed interasse 2.40 m, sostenuti alle estremità da appoggi in neoprene.

Le spalle sono costituite da monoliti in calcestruzzo armato; le sezioni del paramento sono rettangolari e poggianti su plinti fondati su un sistema di pali di diametro 0.45 m circa e lunghezza 22 m circa.

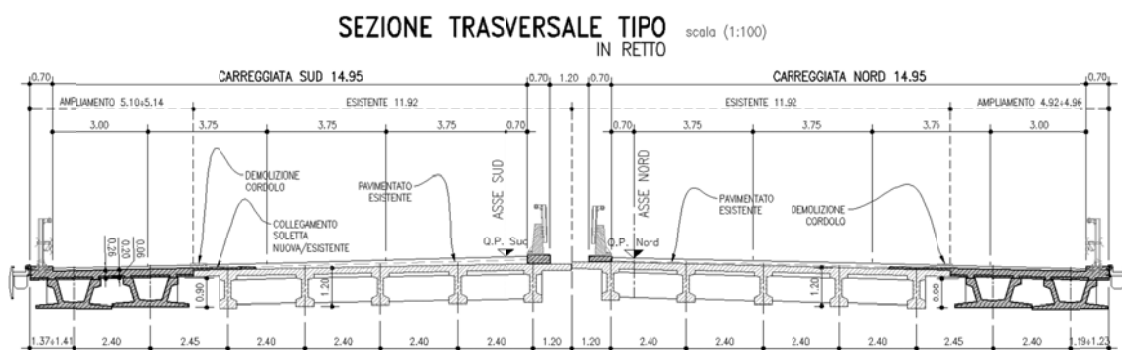
L'allargamento interessa entrambe le carreggiate lato esterno e vede la realizzazione di spalle in calcestruzzo armato su pali, mantenendo i medesimi allineamenti dell'opera attuale.

La nuova porzione di impalcato si realizza con travi in cap a sezione aperta che garantiscono buona stabilità in fase di getto e conferiscono rigidità torsionale una volta solidarizzate con la soletta gettata in opera.

La connessione tra la porzione di impalcato esistente e quella in allargamento si realizza attraverso la soletta, con l'ausilio di barre di cucitura ad intradosso e ad estradosso ancorate alla soletta esistente tramite inghisaggi. La scelta della carpenteria delle travi è stata effettuata al fine di garantire buona stabilità in fase di getto della soletta e rigidità flessionale longitudinale dell'insieme trave-soletta prossima a quella dell'impalcato esistente.



Pianta impalcato allargato



Sezioni trasversali allargate

Per maggiori dettagli si rimanda agli elaborati grafici dedicati.

### 1.2.1 Schema statico

Come anticipato, lo schema statico relativo ai singoli impalcato è quello di semplice appoggio. L'intervento in progetto vede la sostituzione anche degli appoggi esistenti e, qualora necessario, l'adeguamento dei baggioli e il sollevamento dell'impalcato in modo da minimizzare il sovraccarico del pacchetto stradale e del sottofondo indotti dalla livelletta autostradale e dalle nuove pendenze trasversali.

In virtù di quanto sopra e con l'obiettivo di semplificare le analisi garantendo comunque un ottimo grado di dettaglio, si sono implementati modelli di calcolo dedicati alla singola campata e vincolati a terra attraverso link-elastici in grado di simulare il comportamento degli apparecchi di appoggio in elastomero armato.

Le analisi vedono la simulazione della reale geometria tridimensionale e della rigidità della struttura, attraverso l'utilizzo di elementi tipo "beam" per le travi in cap e i traversi e elementi bidimensionali tipo "shell" per la soletta, oltre all'adozione di moduli elastici dei materiali differenti tra le strutture esistenti e quelle nuove. Sono inoltre state ripercorse le reali fasi realizzative della struttura, in modo da cogliere con ottimo dettaglio le distribuzioni delle azioni e delle deformazioni.

L'effetto della precompressione è stato trattato in fase di verifica sezionale, in virtù dell'assenza di significativi effetti iperstatici indotti dalla precompressione su schemi statici di questo tipo.

Come anticipato, l'organizzazione delle analisi ha portato ad indagare separatamente gli impalcati dalle sottostrutture; nel presente documento non si prendono quindi in conto le sollecitazioni di tipo sismico in quanto non significative su impalcati di questa tipologia.

In merito alle azioni sugli appoggi, la scelta progettuale vede il dimensionamento degli apparecchi con riferimento a tutte le combinazioni di verifica statiche di normativa e l'utilizzo di ritegni sismici longitudinali e trasversali per resistente alle azioni inerziali.

Per la trattazione delle elevazioni (spalle) e delle fondazioni si rimanda alle relazioni di calcolo dedicate, nelle quali si procede anche alle analisi inerenti i dispositivi di ritegno sismico.

La disposizione dei carichi in soletta segue la reale distribuzione degli elementi permanenti che costituiscono la struttura, il pacchetto e gli arredi; i carichi variabili sono invece stati collocati in ottemperanza alle indicazioni di normativa e in modo da massimizzare gli effetti flettenti, taglianti e torcenti di volta in volta indagati sulle singole sezioni, attraverso l'utilizzo di un automatismo presente nel programma di calcolo che utilizza le linee e le superfici di influenza.

### **1.2.2 Impalcato**

Il manufatto vede la presenza di due campate indipendenti affiancate, ciascuna delle quali a servizio di una careggiata autostradale, aventi eguale geometria.

Le campate si compongono attualmente di 5 travi prefabbricate ciascuna con sezione a "I" di altezza  $H = 1.00$  m e interasse  $i = 2.40$  m; la soletta è realizzata con lastre prefabbricate e precomprese affiancate e getto di sutura in opera, aventi uno spessore complessivo strutturale di 0.20 m. Sono presenti quattro traversi precompressi lungo il loro asse di cui due in asse appoggi. L'allargamento in progetto vede l'affiancamento e solidarizzazione di due travi prefabbricate con sezione ad "U" ed altezza  $H_{TRAVE} = 0.90$  m ad interasse  $i = 2.40$  m.

La connessione con l'opera esistente si realizza, lungo l'intero sviluppo della stessa, tramite sezione di sutura in soletta e il posizionamento di barre inghisate ad intradosso e vincolate monoliticamente nel sovrappessore strutturale ad estradosso.

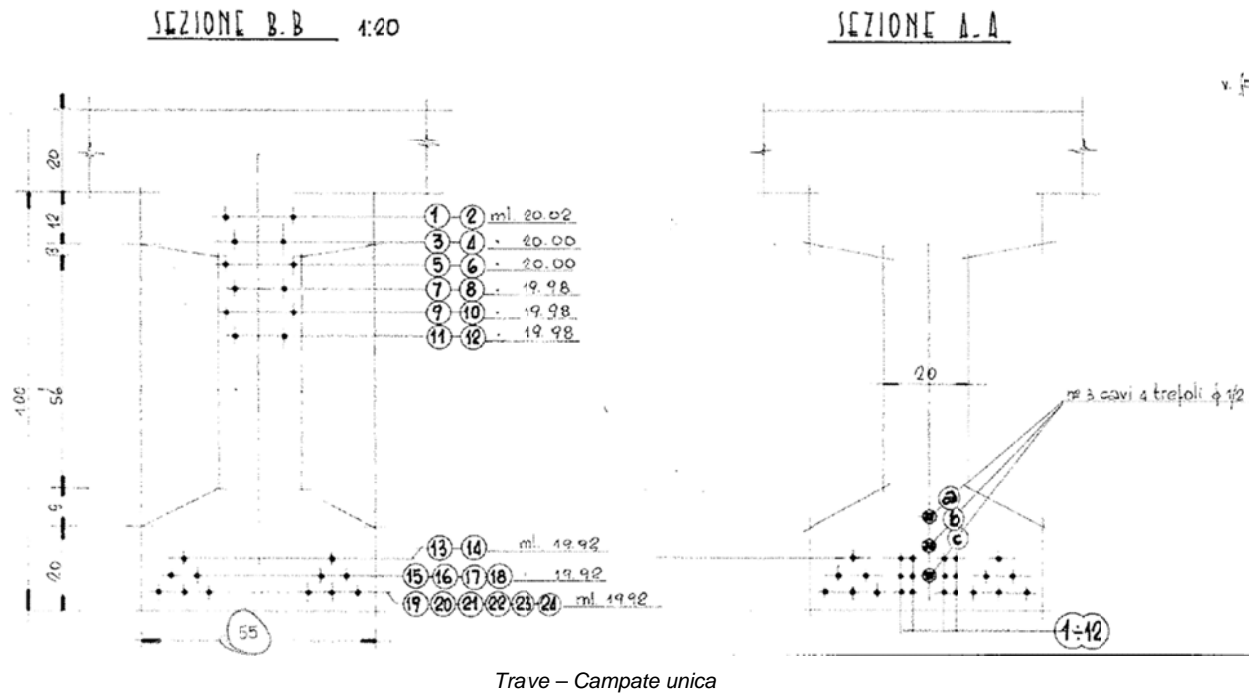
La reciproca connessione trasversale delle nuove travi è garantita, oltre che dalla soletta costituita da getto in opera su predalles prefabbricate, dalla presenza di traversi in asse appoggi.

La soletta in allargamento, di larghezza trasversale media pari a 5.10 m inclusi cordoli, ha spessore costante pari a complessivi 0.26 m, di cui 0.06 m di predalles.

Le nuove travi sono precomprese in stabilimento con trefoli aderenti.

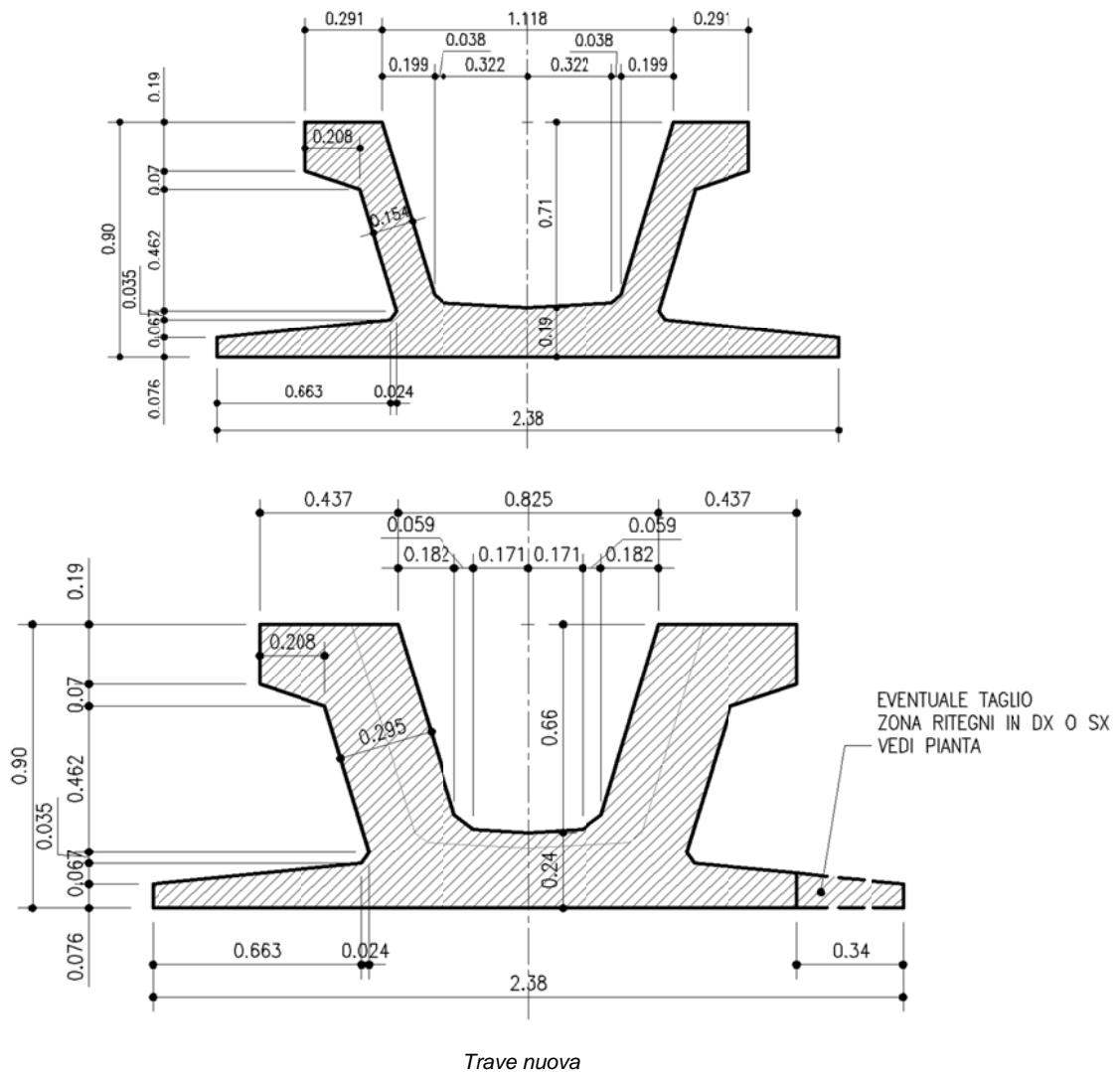


Geometria e armatura di precompressione delle travi esistenti:



La sezione BB rappresenta l'asse appoggi, la sezione AA la mezzeria. Le travi presentano tracciato dei cavi parabolico a tratti.

Geometria e delle travi aggiuntive per le due carreggiate:

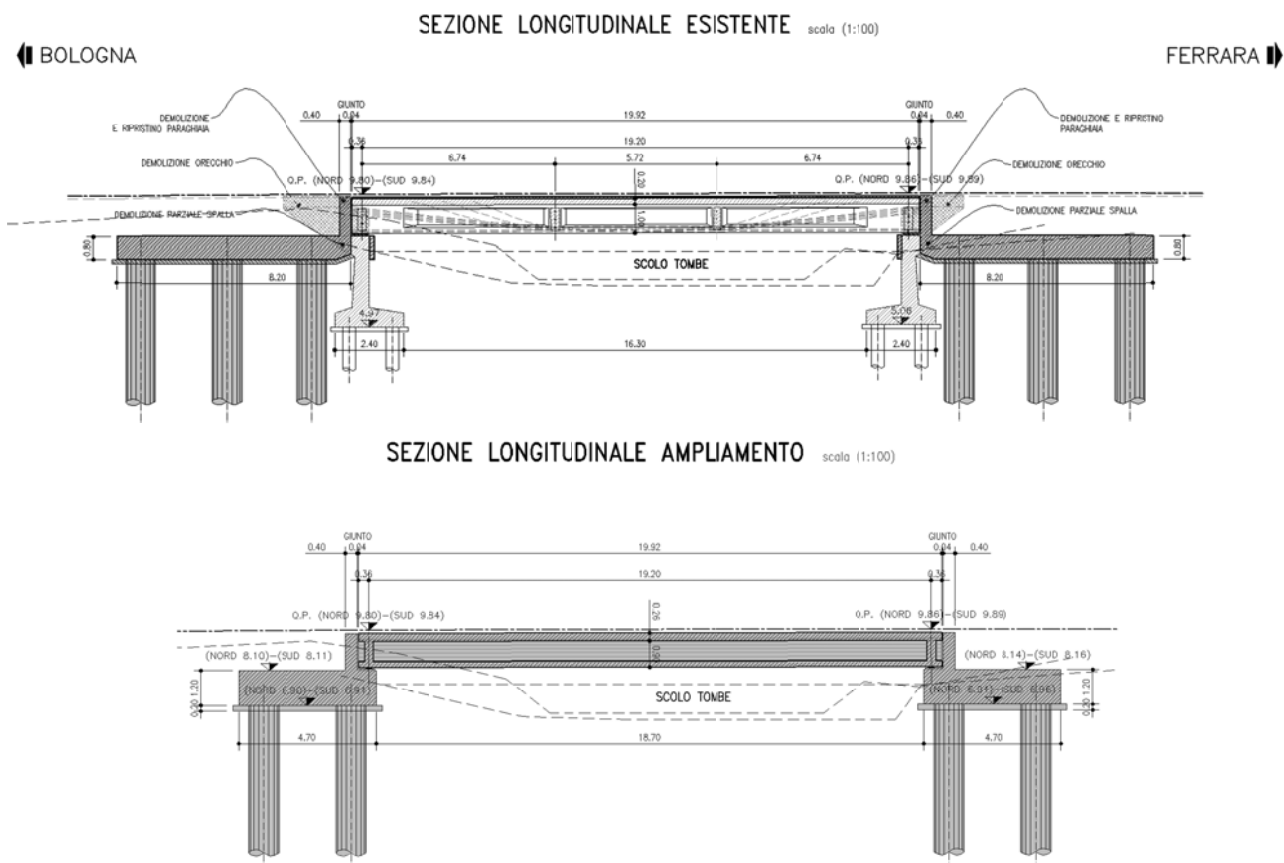


### 1.2.3 Spalle

Le spalle presentano struttura monolitica in c.a. con impianto di fondazione profondo su pali.

Nel seguito si riportano per completezza le sezioni longitudinali dell'opera sia relativamente alla struttura esistente, sia in corrispondenza all'allargamento.

Si rimanda alle relazioni dedicate per maggiori dettagli relativi alle caratteristiche delle sottostrutture, alle analisi e alle verifiche pertinenti.



*Sezioni longitudinali*

### 1.3 Normative di riferimento

Le analisi strutturali e le relative verifiche vengono eseguite secondo il metodo semi-probabilistico agli Stati Limite in accordo alle disposizioni normative previste dalla vigente normativa italiana e da quella europea (Eurocodici). In particolare, al fine di conseguire un approccio il più unitario possibile relativamente alle prescrizioni ed alle metodologie/criteri di verifica, si è fatto diretto riferimento alle varie parti degli Eurocodici, unitamente ai relativi National Application Documents, verificando puntualmente l'armonizzazione del livello di sicurezza conseguito con quello richiesto dalla vigente normativa nazionale.

In dettaglio si sono prese in esame i seguenti documenti:

D.M. 14 gennaio 2008: Nuove norme tecniche per le costruzioni (indicate nel prosieguo "NTC-08");

Istruzioni per l'applicazione delle Norme Tecniche per la Costruzioni di cui al D.M. 14/01/2008;

UNI EN 1990: Basi della progettazione strutturale

UNI EN 1991-1-5: Azioni sulle strutture – Azioni termiche

UNI EN 1991-2: Azioni sulle strutture – Carichi da traffico sui ponti

UNI EN 1992-1-1: Progettazione delle strutture di calcestruzzo - regole generali e regole per gli edifici

UNI EN 1992-2: Progettazione delle strutture di calcestruzzo – Ponti di calcestruzzo

## 1.4 Condizioni ambientali e classi di esposizione

Per quanto riguarda le classi di esposizione, si prevede l'alternarsi di cicli di gelo/disgelo, in presenza di agenti disgelanti, per cui, applicheranno le seguenti classi di esposizione:

Traversi, soletta e cordoli:	XF4
Lastre prefabbricate:	XF4
Travi prefabbricate:	XC4

Le caratteristiche del calcestruzzo dovranno pertanto rispettare, oltre i requisiti di resistenza indicati al punto seguente, anche i criteri previsti dalla vigente normativa (EN 11104 e EN 206) per quanto riguarda l'esposizione alle classi indicate.

## 1.5 Caratteristiche materiali

Vengono di seguito elencati i materiali impiegati per la realizzazione dell'opera, unitamente ai rispettivi parametri di riferimento

### 1.5.1 Tensioni limite e proprietà di riferimento - Allargamento

#### Calcestruzzo

Elemento	classe	$f_{ck}$	$R_{bk}$	$f_{cm}$	$f_{ctm}$	$E_{cm}$
Travi prefabbricate	C45/55	45	55	53	3.79	36000
Soletta e traversi	C35/45	35	45	43	3.21	34000
Coppelle	C35/45	35	45	43	3.21	34000

riferimenti:

EN 206  
EN 1992-1-1 3.1.2. tab. 3.1

#### Acciaio in barre per c.a.

tipo	B450C	
$f_{yk}$	450 MPa	Snervamento
$f_{tk}$	540 MPa	Rottura a trazione
$E_s$	210000 MPa	Modulo di Young

riferimenti:

EN 1992-1-1 cap. 3.2 + ann. C  
EN 1994-2 cap. 3.2(2)

### Acciaio da precompressione aderente

Tipo trefoli	0.6"		
$A_{\text{trefolo}}$	139	mm <sup>2</sup>	area
$f_{\text{ptk}}$	1860	MPa	Tensione caratteristica di rottura
$f_{\text{p}(1)\text{k}}$	1670	MPa	Tensione caratteristica all'1% di deformazione totale
$f_{\text{yd}}$	1452	MPa	Tensione massima per il calcolo a rottura
$\sigma_{\text{pi}}$	1488	MPa	Tensione iniziale all'atto della tesatura $\min(0.8f_{\text{ptk}}; 0.9f_{\text{p}(1)\text{k}})$
$E_{\text{s}}$	195000	MPa	Modulo di Young
$\rho_{1000}$	2.5	%	Cadute per rilassamento a 1000 ore dopo la messa in tensione
$\mu$	0.8	-	$\sigma_{\text{pi}} / f_{\text{ptk}}$
t			Tempo misurato in ore dalla messa in tensione

riferimenti:

EN 1992-1-1 cap. 3.2 + ann. C

EN 1994-2 cap. 3.2(2)

Cadute per rilassamento: in assenza di dati sperimentali afferenti al lotto considerato, caduta di tensione  $\Delta\sigma_{\text{pr}}$  per rilassamento al tempo t ad una temperatura di 20°C può assumersi pari al valore calcolato con la seguente formula:

$$\frac{\Delta\sigma_{\text{pr}}}{\Delta\sigma_{\text{pi}}} = 0.66 \cdot \rho_{1000} \cdot e^{9.1\mu} \cdot \left(\frac{t}{1000}\right)^{0.75(1-\mu)} \cdot 10^{-5}$$

#### 1.5.2 Tensioni limite e proprietà di riferimento – Impalcato esistente

Di seguito le informazioni tratte dai documenti progettuali di archivio e dalle indagini in situ.

Travi prefabbricate:

Nel tempo la resistenza cubica del calcestruzzo aumenterà fino a raggiungere il valore di almeno  $475 \text{ kg/cm}^2$  e pertanto la sollecitazione unitaria massima ammessa risulta

$$475 \times 0.32 = 152 \text{ kg/cm}^2$$

**b) Acciaio per la precompressione**

Si prevede l'impiego di trefolo a 7 fili  $\Phi 1/2''$  aventi carico di rottura ( $R_p$ ) non inferiore a  $180 \text{ kg/mm}^2$ , carico minimo all'1% di allungamento non inferiore a  $135 \text{ kg/mm}^2$ .

Esso viene impiegato a tensioni di esercizio non superiori a  $105 \text{ kg/mm}^2$ .

**c) Acciaio per le armature secondarie**

Si prevede l'impiego di tondo ad aderenza migliorata avente carico di snervamento di  $4400 \text{ kg/cm}^2$  e carico di rottura di  $6000 \text{ kg/cm}^2$ . Esso viene impiegato al carico di lavoro di  $2200 \text{ kg/cm}^2$ .

Le indagini hanno restituito i seguenti risultati:

**Lotto 1 Bologna Ferrara**

Opera 6: Ponte su scolo Tombe  
 Progr.: Km 24+448

**Prove su calcestruzzi**

Spalle						
Zona	Elemento	Carr.	$R_{po/scl}$ [MPa]	$R_{cm,lab}$ [MPa]	$K_{corr.}$	$R_{c,corr.}$ [MPa]
L1-OP6-5	Spalla B		48,00	37,72	0,79	37,72
L1-OP6-8	Spalla B		51,59			40,54
L1-OP6-9	Spalla B		49,88			39,20
Valori Medi			49,82	37,72	0,79	39,15

Travi						
Zona	Elemento	Carr.	$R_{son}$ [MPa]	$R_{cm,lab}$ [MPa]	$K_{corr.}$	$R_{c,corr.}$ [MPa]
L1-OP6-1	Trave 10	Nord		52,54		
L1-OP6-6	Trave 4	Sud		48,56		
Valori Medi				50,55		

Solette						
Zona	Elemento	Carr.	$R_{son}$ [MPa]	$R_{cm,lab}$ [MPa]	$K_{corr.}$	$R_{c,corr.}$ [MPa]
L1-OP6-7	Soletta	Sud		39,53		
Valori Medi				39,53		

**Legenda:**

- $R_{po/scl}$  Resistenza combinata pull-out/sclerometro
- $R_{cm,lab}$  Resistenza cubica media di laboratorio
- $K_{corr.}$  Fattore di correlazione tra prove distruttive e non distruttive
- $R_{c,corr.}$  Resistenza cubica PND correlata

Prove su barre d'armatura

Spalle											
Zona	Elemento	Carr.	Tipo (a.m./t.l.)	$\Phi$ [mm]	$f_y$ [MPa]	$f_t$ [MPa]	$HB_{med}$	$f_{t,HB}$ [MPa]	K	$f_{t,HB,k}$ [MPa]	
L1-OP6-2	Spalla B		t.l.	16	350	491	94,3	321,4	1,53	491,0	
L1-OP6-3	Spalla B		t.l.	16			101,3	344,4		526,0	
L1-OP6-4	Spalla B		t.l.	16			95,6	325,5		497,4	
Valori Medi							97,0	330,5	1,53	504,8	

Legenda:

- $HB_{med}$  Media valore di durezza Brinell
- $f_{t,HB}$  Resistenza acciaio stimata da prove di durezza
- K Fattore di correlazione tra prove distruttive e non distruttive
- $f_{t,HB,k}$  Valore di resistenza a trazione correlato

Con riferimento alla completezza dei dati a disposizione tratti dai documenti progettuali di archivio e visti gli esiti delle prove in situ, si procede nel seguito assumendo un fattore di confidenza FC sui risultati sperimentali pari all'unità e si riconducono le caratteristiche dei materiali stessi alle classi di resistenza da normativa più prossime.

Caratteristiche dei materiali assunte nelle verifiche:

**Travi esistenti**

$R_{c,corr}$ (MPa)	$f_{cm,corr}$ (MPa)	$\Delta(f_{cm}-f_{ck})$ (MPa)	$f_{ck}$ (MPa)	Classe equivalente (MPa)	$f_{cm}$ (MPa)
50.55	41.96	8	33.96	C35/45	43

**Soletta - traversi esistenti**

$R_{c,corr}$ (MPa)	$f_{cm,corr}$ (MPa)	$\Delta(f_{cm}-f_{ck})$ (MPa)	$f_{ck}$ (MPa)	Classe equivalente (MPa)	$f_{cm}$ (MPa)
39.53	32.81	8	24.81	C25/30	33

**Travi nuove**

Classe (-)	$f_{ck}$ (MPa)	$f_{cm}$ (MPa)
C45/55	45	53

**Soletta - traversi nuovi**

Classe (-)	$f_{ck}$ (MPa)	$f_{cm}$ (MPa)
C35/45	35	43

Relativamente all'armatura lenta si identificano le caratteristiche delle barre (negli elaborati progettuali originari) pari a  $\sigma_{AMM} = 2200 \text{ kg/cm}^2$ ,  $f_{yk} = 4400 \text{ kg/cm}^2$

### Acciaio in barre per c.a. (Travi CAP)

tipo	Feb 44 k	
$f_{yk}$	440 MPa	Snervamento
$f_{tk}$	- MPa	Rottura a trazione
$E_s$	210000 MPa	Modulo di Young

### Acciaio in barre per c.a. (soletta, traversi, spalle)

tipo	Feb 44 k	
$f_{yk}$	440 MPa	Snervamento
$f_{tk}$	- MPa	Rottura a trazione
$E_s$	210000 MPa	Modulo di Young

### Acciaio da precompressione (fili adetenti e scorrevoli)

Tipo trefoli	0.5"	
$A_{trefolo}$	92.9 mm <sup>2</sup>	area
$f_{ptk}$	1800 MPa	Tensione caratteristica di rottura
$f_{p(1)k}$	1350 MPa	Tensione caratteristica allo 1% di deformazione
$f_{yd}$	1372 MPa	Tensione massima per il calcolo a rottura
$E_s$	190000 MPa	Modulo di Young
Per la determinazione di $f_{yd}$ si è preso in conto l'incrudimento dei trefoli		

### 1.5.3 Coefficienti parziali di sicurezza

Relativamente ai coefficienti parziali dei materiali si fa riferimento, nell'ambito delle rispettive verifiche, a quanto contenuto in tabella.

#### Calcestruzzo

$\alpha_{cc}$	0.85	carichi di lunga durata (quando rilevante)
$\gamma_c$	1.50	S.L.U.

riferimenti:

EN 1992-1-1 2.4.2.4

#### Acciaio in barre

$\gamma_s$	1.15	resistenza S.L.U.
------------	------	-------------------

riferimenti: NTC 2008

### 1.6 Software di calcolo

Per l'analisi strutturale dell'impalcato e delle sottostrutture si adotta il metodo degli elementi finiti; si utilizza, a tale fine, il pacchetto software denominato "LUSAS (vers. 14.7)", fornito da F.E.A. (U.K.) su piattaforma windows NT. Il pacchetto software comprende pre-post processore grafico interattivo destinato all'input della geometria di base e all'interpretazione dei risultati di output, ed un risolutore ad elementi finiti.

Per le verifiche delle sezioni in calcestruzzo armato precompresso si adotta un foglio di calcolo sviluppato ad hoc in excel, mentre per le strutture in c.a. si utilizza il programma "RC-SEC" versione 2010.4 Rev 192 sviluppato da Geostru oltre al software VcaSLU ver. 7.7 del 30.08.2011, sviluppato dal Prof. Gelfi.



## 1.7 Convenzioni generali

Nel prosieguo del presente elaborato si adotteranno le notazioni contemplate dalle varie norme EN di riferimento. Le unità di misura sono quelle relative al sistema internazionale, ovvero:

lunghezze: m

forze - coppie: kN

tensioni: MPa

Per quanto riguarda le convenzioni di segno, si considerano, in generale, positive le trazioni.

Convenzioni specifiche verranno riportate nel prosieguo della presente relazione.

Si farà riferimento, di norma, a sistemi di tipo cartesiano ortogonale, in cui, in generale, si ha piano x-y orizzontale, con x posto tangente al tracciato nel punto in esame ed asse z verticale.

In generale, per quanto riguarda le azioni interne nell'impalcato, salvo dove diversamente specificato, si indicherà con:

$F_x$  azione assiale

$F_y$  azione tagliante agente nel piano orizzontale

$F_z$  azione tagliante agente nel piano verticale

$M_x$  momento torcente

$M_y$  momento flettente agente nel piano verticale

$M_z$  momento flettente agente nel piano orizzontale

Le verifiche dell'impalcato verranno eseguite esclusivamente con riferimento alle caratteristiche  $F_x$ ,  $F_z$ ,  $M_y$ , dal momento che risultano non significativi i contributi  $F_y$ ,  $M_x$  ed  $M_z$ .

In particolare, per le sollecitazioni verrà impiegata anche la seguente notazione alternativa:

$M (M_f)$  in luogo di  $M_y$

$V$  in luogo di  $F_z$

$T$  in luogo di  $M_x$

Nell'ambito dell'adozione del sistema di riferimento elementare, si precisa che le azioni flettenti di trave sono da intendersi:

- POSITIVE: se le fibre tese sono rivolte all'estradosso trave

- NEGATIVE: se le fibre tese sono rivolte all'intradosso trave

## **2. Impostazione delle analisi e delle verifiche**

### **2.1 Analisi della struttura**

Le fasi realizzative dell'impalcato prevedono, a valle della preliminare demolizione dei cordoli, della soletta esistente per le porzioni individuate in progetto e della realizzazione delle nuove spalle, il posizionamento delle travi in c.a.p. e la successiva realizzazione della soletta in c.a., gettata in opera con l'ausilio di lastre prefabbricate. Segue quindi la realizzazione della connessione tra la porzione di impalcato pre-esistente e quella di nuova costruzione e la messa in opera del pacchetto stradale definitivo e degli arredi.

Dal punto di vista dell'analisi strutturale globale, si procede in maniera semplificata a simulare le fasi ora descritte, studiando, per l'impalcato esistente e per quello in allargamento, le fasi di vita riassunte nella tabella riportata di seguito.

La variazione delle caratteristiche geometriche degli elementi strutturali e dei vincoli tra le porzioni costituenti gli impalcati è presa in conto attraverso cinque differenti modelli numerici.

I risultati di ciascuno dei cinque modelli, ognuno dei quali coglie una specifica configurazione della struttura coi relativi vincoli e carichi agenti, vengono sovrapposti linearmente nel modello denominato "base" e combinati secondo le indicazioni di normativa.

Con riferimento a quanto anticipato nei paragrafi precedenti, le strutture in studio sono costituite da impalcati a una campata. Lo schema statico è sempre di semplice appoggio e non vi sono impalcati in curva.

Per la realizzazione delle solette in allargamento e il rinforzo delle esistenti, qualora necessario, si prevede l'utilizzo di calcestruzzo a ritiro compensato.

In virtù di quanto sopra, nello studio degli impalcati si trascurano tutte le azioni agenti nel piano degli stessi, siano esse di origine statica o sismica.

Nei modelli agli E.F. si trascurano inoltre gli effetti di lungo termine, sia in termini di variazione delle caratteristiche dei materiali, sia in termini di coazioni, in quanto gli schemi statici degli impalcati sono tali da non indurre significativi effetti iperstatici.

Le sollecitazioni trasmesse alle sottostrutture e agli appoggi dagli impalcati, in termini di componenti orizzontali statiche e sismiche, si determinano "a parte" con analisi indipendente per i cui dettagli si rimanda alle relazioni relative alle spalle e alle pile, nelle quali sono anche esplicitate le valutazioni relative ai ritegni sismici.

Le caratteristiche geometriche ed inerziali delle travi principali e dei traversi sono determinate direttamente dal software di calcolo agli E.F. una volta inserita la geometria, ad eccezione della rigidità torsionale delle travi nuove ( $I_{xx}$ ) calcolata con file a latere per tenere conto dell'effetto irrigidente dato dalla solidarizzazione con la soletta, che genera una sezione a cassoncino chiuso (trave e soletta).

### MODELLAZIONE A PIASTRA NERVATA CON SOLETTA ISOTROPA:

L'impalcato viene modellato come piastra nervata composta da travi principali e traversi (elementi beam) aventi la sezione della sola trave in CAP e del traverso (per la parte intradossata) e la soletta è simulata con elementi shell.

La collaborazione tra le travi e la soletta è colta attraverso la connessione tra gli elementi beam (lungo il loro sviluppo longitudinale) e gli elementi shell soprastanti.

Detti elementi shell (soletta) hanno caratteristiche isotrope e sono in grado di agire, secondo la loro reale rigidezza, sia in direzione trasversale rispetto all'asse delle travi, ripartendo i carichi esterni e collegando tra loro le travi principali, sia a livello membranale, ricreando, assieme agli elementi "beam" sottostanti, il comportamento dell'insieme trave-soletta collaborante.

Le sollecitazioni flettenti, agenti sull'insieme "trave-soletta collaborante", si ottengono direttamente dal programma agli E.F. sulla base dell'ipotesi di sezione "trave-soletta" auto-equilibrata assialmente (valida in presenza di connessione lineare soletta-trave lungo l'intero sviluppo), quale somma della caratteristica flettente direttamente agente sull'elemento beam e dell'azione assiale moltiplicata per la distanza tra il baricentro della beam e il piano medio della soletta.

L'azione tagliante e torcente significativa è invece quella afferente all'elemento beam.

Con riferimento ai dettami normativi (NTC 2008) in merito alla verifica delle strutture esistenti, nel seguito si considereranno significative le sole combinazioni SLU agli stati limite ultimi.

Per semplicità si ometterà quindi di simulare le fasi realizzative dell'impalcato esistente in quanto, per quest'ultimo, risultano significative le sole caratteristiche di resistenza e sollecitazione relative allo stato limite ultimo citato.

Di seguito si riassumono in forma tabellare le principali assunzioni utilizzate nell'implementazione dei cinque modelli numerici:

Modello (-)	Azioni su impalcato <b>Esistente</b> (-)	Azioni su impalcato <b>Nuovo</b> (-)	Note (-)
Mod1	La struttura "nasce" intera nella configurazione attuale. Travi, traversi e solette hanno le caratteristiche di materiale e geometriche reali. Si considera forfettariamente presente un carico distribuito uniforme pari a 10 cm di pacchetto stradale.	La struttura ha le sole travi in CAP resistenti e sollecitate dal peso proprio e dal peso della soletta non collaborante di competenza (attribuito quale carico di linea determinato preliminarmente).	Per la struttura esistente si assume, per semplicità, la configurazione attuale come quella a demolizioni avvenute (demolizione parziale della soletta nella zona di interfeccia con l'allargamento)
Mod2	Inserisco il peso del getto in calcestruzzo relativo al sovrappessore strutturale, ove previsto. Applico sulla trave prossima alla struttura nuova il carico relativo a metà della larghezza della fascia di sutura.	Attivo la soletta nuova (ad esclusione della fascia di sutura di 50 cm di larghezza), attivo i traversi ed il loro peso. Applico sulla trave prossima alla struttura esistente il carico relativo a metà della larghezza della fascia di sutura.	
Mod3	Inserisco dei vincoli fittizi a terra "di cerniera lineare" in corrispondenza agli assi delle travi e dei traversi. Attivo interamente la soletta con lo spessore strutturale di fine intervento (eventuale sovrappessore strutturale, dove previsto). Applico il peso proprio sugli elementi shell. Per minimizzare l'azione sulle travi e traversi, attribuisco loro un materiale fittizio con modulo di elasticità basso.	Inserisco dei vincoli a terra "di cerniera lineare" in corrispondenza agli assi delle travi e dei traversi. Attivo interamente la soletta con lo spessore strutturale di fine intervento (inclusa la fascia di sutura). Applico il peso proprio sugli elementi shell. Per minimizzare l'azione sulle travi e traversi, attribuisco loro un materiale fittizio con modulo di elasticità basso.	Tale modello serve per cogliere l'azione del peso proprio della soletta su quest'ultima al fine di poter trattare l'intera analisi dell'impalcato (travi - traversi - soletta) con un unico modello "Base". Si assume quindi l'ipotesi che le coppelle non diano un contributo resistente nei confronti del peso proprio del getto durante la vita di servizio dell'opera.
Mod4	Applico sulla struttura il peso del "delta spessore del pacchetto", al fine di ottenere il valore pieno del carico di progetto. Applico tutti i carichi permanenti portati relativi alla vestizione dell'impalcato (cordoli, barriere...).	Applico sulla struttura lo spessore del pacchetto stradale in progetto. Applico tutti i carichi permanenti portati (cordoli, barriere...). Si attiva la connessione della zona di sutura che collega i due impalcati (esistente e nuovo).	
Mod5	Analisi sotto l'effetto dei carichi da traffico.	Analisi sotto l'effetto dei carichi da traffico.	Si trascurano le azioni orizzontali statiche e sismiche (frenatura, vento, sisma). Si trascurano gli effetti di temperatura, ritiro...
Base	Si sovrappongono le azioni proprie dei modelli precedenti e si implementano le combinazioni di verifica.		

Per chiarezza si esplicita quanto riassunto in tabella relativamente al modello n. 3 (Mod3) che, come anticipato, ha lo scopo di cogliere gli effetti sulla sola soletta del peso proprio della stessa. Per ottenere il risultato voluto senza gravare doppiamente le travi in CAP del peso proprio della soletta, in questo modello si inseriscono dei vincoli fittizi sui quali converge il peso del getto, consentendo di coglierne i soli effetti sulla soletta.

L'effetto globale del peso proprio della soletta sulle travi e appoggi è affidato al modello n. 02 (Mod.2) nel quale la soletta non è ancora efficace in quanto non "matura".

Si palesa inoltre che:

- Si è adottato, per semplicità e a favore di sicurezza, l'attuale spessore medio del pacchetto stradale sugli impalcati pari a 0.10 m. Lo spessore medio ad intervento effettuato è stato invece assunto di 0.20 m
- L'analisi dell'impalcato sotto l'effetto dei carichi mobili è stata eseguita "a strutture connesse". (schemi di carico 1 - TS ed UDL, folla)
- Le disposizioni di verifica dei carichi variabili sono state individuate attraverso l'ottimizzatore presente nel programma di calcolo agli E.F. (TLO). In particolare, dopo aver individuato le sezioni significative di verifica per ciascuna famiglia di elementi strutturali (le travi principali, i traversi, le solette esistenti e nuove, incluse le fasce di sutura tra le due), si sono associate a ciascuna le caratteristiche di sollecitazione significative da massimizzare/minimizzare. Attraverso il TLO e con procedura basata sulla determinazione delle linee/superfici di influenza, il software ha automaticamente disposto i carichi variabili in modo da ottenere l'effetto più severo di volta in volta ricercato sull'impalcato o sugli appoggi, nel rispetto dei vincoli di normativa.

In conclusione, la modellazione implementata consente di ripercorrere per fasi cronologiche lo sviluppo delle sollecitazioni gravanti sugli elementi strutturali dell'orditura principale e secondaria, oltre che sulla soletta, della porzione di impalcato in allargamento.

Tutti i carichi agenti sulla struttura sono stati attribuiti secondo una suddivisione in Loadcase elementari, valida per ciascun modello. (Mod 1-5).

Ogni singolo modello vede la presenza di due Loadcase, denominati "Mi-GK1", "Mi-GK2".

Al primo si attribuiscono tutti i carichi riconducibili ai pesi propri degli elementi strutturali, al secondo quelli indotti dalla presenza di carichi permanenti portati non strutturali. Nel modello Mod5 si implementa l'analisi dei carichi da folla (M5-Q5) e da traffico veicolare.

A posteriori è quindi ricostruibile l'azione indotta sulla struttura per effetto dei (soli e tutti) pesi propri di elementi strutturali (fase 1), dei (soli e tutti) carichi permanenti non strutturali (fase 2) e dei variabili da traffico (fase 3). Con questi dati è possibile ricostruire le sollecitazioni da attribuire a ciascuno step di costruzione dell'opera per le verifiche tensionali e fessurative nel CAP, nei traversi e in soletta.

Si evidenzia che i singoli modelli numerici (1-5) non sono immediatamente associabili alle tre fasi di vita della struttura (1 - soletta non collaborante, 2- struttura ultimata e azione dei carichi permanenti di lungo periodo, 3 - effetto dei carichi variabili) come sopra riassunte.

## 2.2 Studio interazione impalcato/sottostrutture

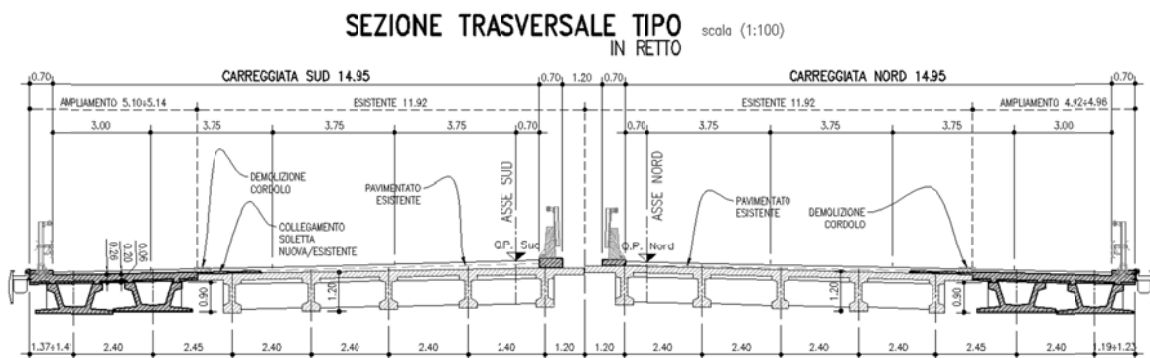
Come anticipato nei capitoli precedenti, lo schema statico caratterizzante la struttura consente di implementare analisi separate per i singoli impalcati e per le sottostrutture, a partire dalla quota dei baggioli verso le fondazioni. Il presente documento dettaglia quanto sviluppato in merito agli impalcati, fino all'individuazione delle sollecitazioni agenti sugli appoggi in termini di componenti verticali.

Per le valutazioni inerenti le strutture sottostanti, a partire dalle azioni orizzontali sugli appoggi (statiche e sismiche) e sui ritegni sismici, sulle spalle, le pile e le fondazioni si rimanda alle relazioni dedicate.

## 2.3 Caratteristiche delle sezioni dell'impalcato

L'opera presenta una campata di luce (interasse appoggi) pari a  $L_1 = 19.20$  m circa.

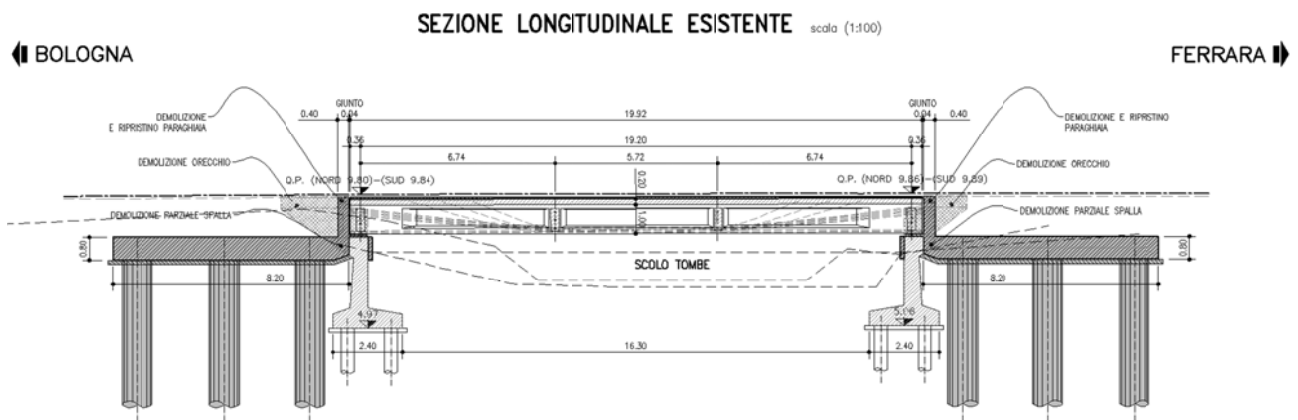
La travi principali presentano medesima altezza e sezione geometrica in entrambe le carreggiate.



Sezioni trasversali allargate

### 2.3.1 Impalcato esistente

Le informazioni geometriche e quelle relative alle armature che si utilizzano nelle analisi e nelle verifiche sono tratte dal progetto di archivio.



Profilo longitudinale impalcato esistente

Le carreggiate sono tra loro indipendenti e la continuità del piano viario a monte e a valle dell'opera è garantita dalla presenza di giunti trasversali.

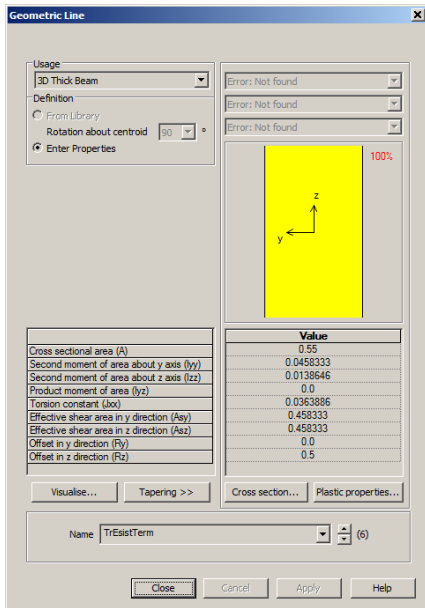
#### 2.3.1.1 Caratteristiche geometriche delle travi e dei traversi

Le analisi vengono implementate assumendo le sezioni lorde degli elementi strutturali principali e secondari al netto della soletta che, nelle fasi in cui risulta attiva, è simulata dall'effetto flessionale e membranale degli elementi tipo "shell".

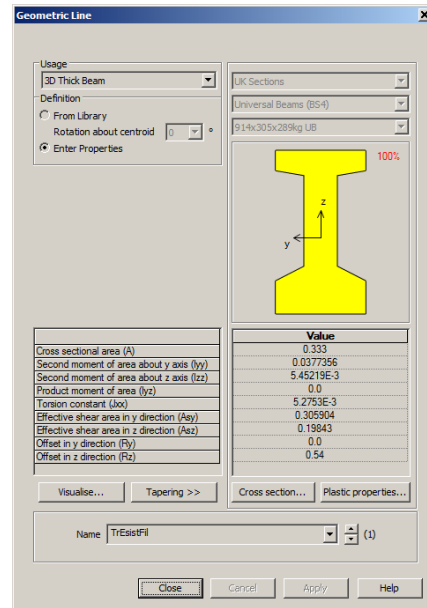
Nelle tabelle seguenti estratte dal database del software agli E.F. le unità di misura utilizzate sono il m, il m<sup>2</sup>, il m<sup>3</sup> e il m<sup>4</sup>.

#### **Trave principale:**

Le travi principali presentano sezione unica per l'intero sviluppo longitudinale e ringrossi nella parte terminale.



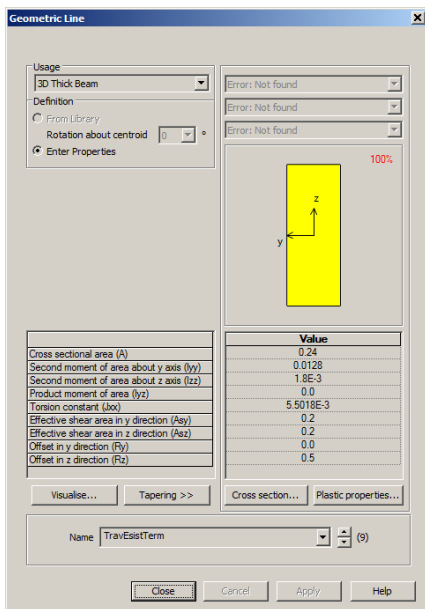
Sezione di estremità



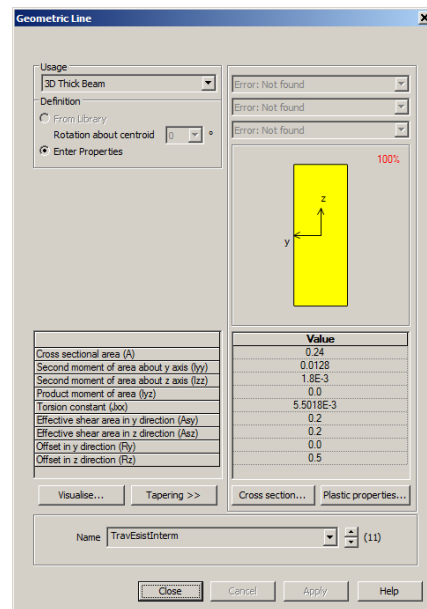
Sezione in campata

**Traversi:**

Sono presenti quattro traversi per ciascuna campata di cui due allineati con gli assi appoggi. Si ricorda che, con riferimento alla modellazione dettagliata nei paragrafi precedenti, gli elementi “beam” simulano la sola porzione di traverso a partire dalla quota di intradosso della soletta fino al filo inferiore della sezione resistente.



Traverso di estremità



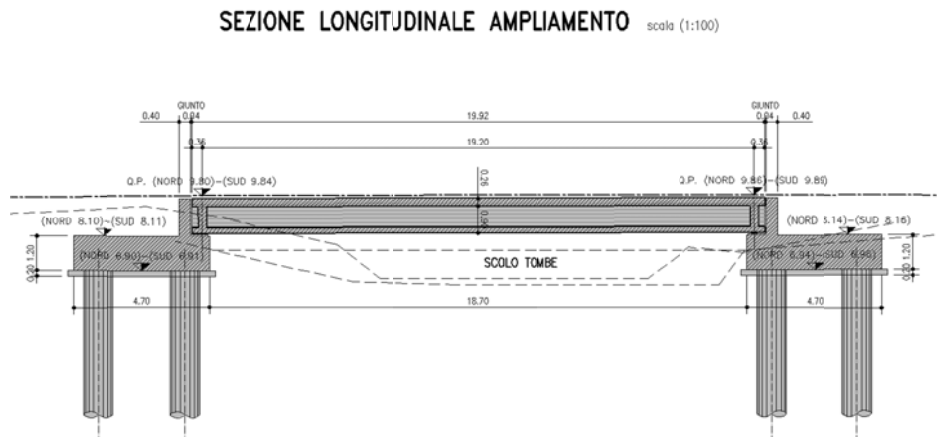
Traverso di campata

La sezione dei traversi è di 0.30 x 0.78 m in corrispondenza all'asse appoggi e 0.30 x 0.78 m in campata e non sono connessi alla soletta.



### 2.3.2 Impalcato nuovo in allargamento

Si rimanda agli elaborati progettuali per maggiori dettagli relativi alle caratteristiche geometriche che si utilizzano nelle analisi e nelle verifiche.



*Profilo longitudinale impalcato nuovo*

Le carreggiate sono tra loro indipendenti e la continuità del piano viario a monte e a valle dell'opera è garantita dalla presenza di giunti trasversali.

#### 2.3.2.1 Caratteristiche geometriche delle travi e dei traversi

Le analisi vengono implementate assumendo le sezioni lorde degli elementi strutturali principali e secondari al netto della soletta che, nelle fasi in cui risulta attiva, è simulata dall'effetto flessionale e membranale degli elementi tipo "shell".

Le caratteristiche inerziali delle sezioni resistenti sono calcolate in automatico dal programma agli EF ad eccezione della rigidità torsionale delle travi nuove che, una volta solidarizzate alla soletta, realizzano una sezione a cassoncino chiuso monocellulare con rigidità torsionale elaborata con apposito foglio di calcolo e inserita a posteriori nel software di calcolo.

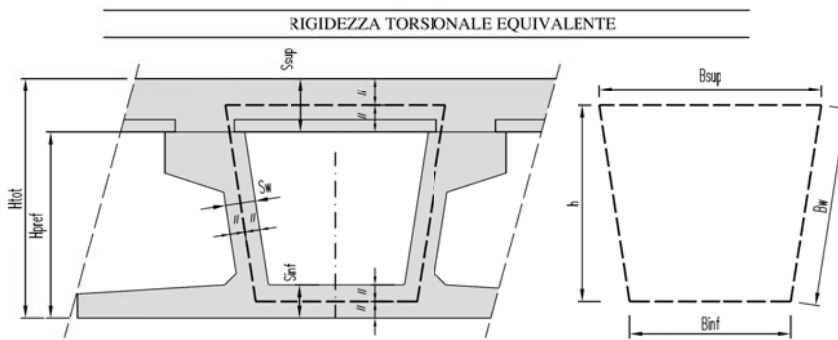
Nelle tabelle seguenti estratte dal database del software agli E.F. le unità di misura utilizzate sono il m, il m<sup>2</sup>, il m<sup>3</sup> e il m<sup>4</sup>.

#### **Trave principale:**

Le travi principali presentano sezione ringrossata nel tratto terminale.

La rigidità torsionale delle travi nuove con la soletta collaborante è calcolata secondo le formule di letteratura con riferimento a sezioni monocellulari chiuse, tenendo in conto le caratteristiche del calcestruzzo della soletta omogeneizzato a quello della trave in CAP.

**Rigidzza torsionale equivalente (cassoncini a parete sottile):**

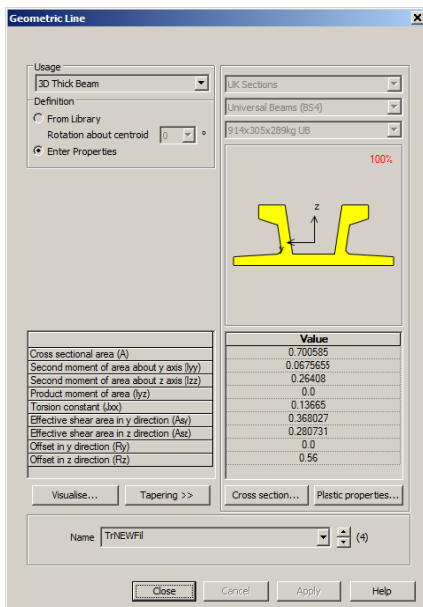


**Materiali:**

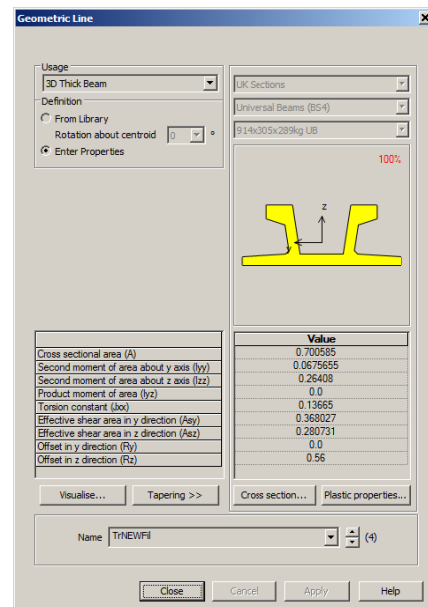
	fck (Mpa)	E (Mpa)	v (-)	G (Mpa)
Trave	45	36283	0.2	15118
Getto soletta-Traversi	35	34077	0.2	14199

**Geometria della sezione:**

	Soletta			Trave Pref.				Rigidzza torsionale	
	S <sub>SUP</sub> (m)	S* <sub>SUP</sub> (m)	E <sub>SUP</sub> (m)	S <sub>INF</sub> (m)	B <sub>INF</sub> (m)	S <sub>W</sub> (m)	H <sub>PREF</sub> (m)	K (m <sup>4</sup> )	K/2 (m <sup>4</sup> )
ALV90	0.26	0.24	1.07	0.16	0.78	0.144	0.9	0.13665	0.06832



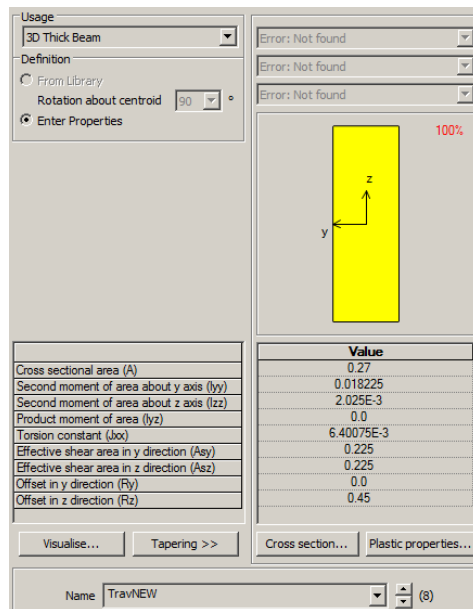
Sezione di estremità



Sezione in campata

**Traversi:**

Sono presenti due traversi per ciascuna campata allineati con gli assi appoggi. Si ricorda che, con riferimento alla modellazione dettagliata nei paragrafi precedenti, gli elementi “beam” simulano la sola porzione di traverso a partire dalla quota di intradosso della soletta fino al filo inferiore della sezione resistente.



Traverso di estremità

La sezione dei traversi è assunta pari a 0.30 x 0.90 m. Nel modello agli EF si considera l’interazione della porzione gettata in opera con l’ala delle travi prefabbricate che fungono da contenimento inferiore del getto. L’inerzia è quindi determinata assumendo l’altezza pari a quella della trave in CAP (H= 0.90 m). I traversi sono connessi alla soletta.

### 3. Analisi dei carichi

Di seguito si riporta la descrizione dei vari contributi di carico presi in esame ai fini dell'analisi della struttura principale dell'impalcato e della soletta.

Nel seguito si distinguono i singoli carichi agenti in ciascuna delle tre principali fasi che identificano cronologicamente la realizzazione e l'esercizio del manufatto.

Si ricorda che la variazione delle caratteristiche degli impalcati e dei carichi agenti, già descritta ed ottenuta attraverso l'implementazione dei cinque modelli numerici, non si relaziona direttamente con le fasi seguenti ma consente di simularne tutti gli effetti attraverso le combinazioni sviluppate nel modello "Base".

#### 3.1 Carichi agenti in fase 1

Questa fase identifica il momento successivo al varo delle travi prefabbricate, a valle del posizionamento delle predalles e dell'armatura della soletta e nell'istante immediatamente successivo al completamento del getto della soletta. Si ha quindi l'effetto di tutti i pesi propri degli elementi strutturali senza però che vi sia efficacia della soletta e dei traversi, il cui calcestruzzo deve ancora maturare.

##### 3.1.1 Pesi propri ( $G_{k1}$ )

Il peso dei vari elementi strutturali prefabbricati in c.a.p., della soletta, dei traversi e della coppella è stato conteggiato con riferimento ad un peso specifico convenzionale di  $25.00 \text{ kN/m}^3$  e con riferimento alla geometria dei singoli elementi.

Sono attivi in questa fase i seguenti carichi principali:

- PP Travi in CAP
- PP Traversi
- PP Soletta

#### 3.2 Carichi agenti in fase 2

##### 3.2.1 Sovraccarichi permanenti ( $G_{k2}$ )

Sono attivi in questa fase i seguenti carichi principali:

- Il sovrappessore strutturale applicato ad estradosso della soletta esistente (ove previsto)
- Il pacchetto di pavimentazione esistente e nuovo
- I cordoli corredati di barriere FOA e/o di sicurezza (ove presenti)
- Gli elementi di arredo dell'opera (velette, canali,...)

### 3.3 Carichi agenti in fase 3

Come anticipato nei paragrafi precedenti, la presente relazione mira alla verifica e al dimensionamento della sola porzione di struttura afferente agli impalcati. In virtù di questa assunzione e dello schema statico degli impalcati che risulta privo di significativi effetti iperstatici, è possibile trascurare le azioni indotte dalla temperatura e dai carichi agenti in generale con direzione complanare alla soletta (vento, forza centrifuga e frenatura). Queste azioni, necessarie per il corretto dimensionamento dei giunti, degli apparecchi di appoggio e delle sottostrutture, sono trattate con analisi indipendente nelle relazioni di calcolo dedicate alle spalle/pile ed alle fondazione, alle quali si rimanda per maggiori dettagli.

#### 3.3.1 Carichi mobili ( $Q_k$ )

Si seguono le disposizioni contenute in EN 1991-2. capp.4/5 + NAD (NTC-08 cap. 5.1.3.3.5) con riferimento a ponti di I categoria.

La presenza del carico da traffico viene disposta sull'impalcato in modo tale da massimizzare le linee/superfici di influenza del momento flettente e del taglio nelle travi, nei traversi e in soletta, compresa la porzione di sutura che funge da connessione tra la struttura esistente e quella in progetto. I sistemi di carico considerati sono quelli previsti dalla normativa e in particolare di tipo TS, UDL, folla concomitante.

In generale, sull'intera larghezza fisica della carreggiata delimitata dai cordoli in c.a., si disporrà il massimo numero di corsie di carico, di larghezza convenzionale pari a 3.00 m, che inducano un incremento dell'effetto agente sulla sezione strutturale in verifica. Si considera inoltre agente, quando penalizzante, un carico da folla di potenza =  $2.50 \text{ kN/m}^2$  – Schema 5 (folla compatta). (Ai fini del calcolo delle sollecitazioni nella statica globale si considera il Load Model 1).

#### Load model 1

Il Load Model 1 è formato da carichi concentrati (TS) e distribuiti (UDL), posizionati su corsie convenzionali di carico di ampiezza massima pari a 3.00 m, unitamente al carico  $q_{fk}$ , posizionato rispettivamente sui marciapiedi laterali con il valore proprio di combinazione.

Le corsie verranno denominate secondo le convenzioni di norma, partendo dalla più "pesante" detta "corsia 1".

Ai fini delle verifiche dell'impalcato si considera il carico TS e UDL, riferendo le rispettive intensità a quanto riportato in tabella.

Location	Tandem system <i>TS</i>	<i>UDL</i> system
	Axle loads $Q_{ik}$ (kN)	$q_{ik}$ (or $q_{fk}$ ) ( $\text{kN/m}^2$ )
Lane Number 1	300	9
Lane Number 2	200	2,5
Lane Number 3	100	2,5
Other lanes	0	2,5
Remaining area ( $q_{fk}$ )	0	2,5

Il posizionamento dei carichi TS e la segmentazione delle stese di carico UDL viene effettuato mediante una apposita procedura automatica (T.L.O.) prevista dal pacchetto ad elementi finiti, che procede a posizionare i carichi, data la posizione delle "kerbs" laterali, sulle superfici di influenza appositamente predisposte.

#### 3.3.1.1 Verifica delle travi e dei traversi

Per l'analisi delle strutture principali si effettua la massimizzazione/minimizzazione delle seguenti caratteristiche di sollecitazione:

- Momento flettente nella mezzera delle travi principali per l'impalcato esistente e per l'allargamento
- Azione tagliante nella sezione di estremità e in quella di fine ringrosso (ove presente) per le travi principali dell'impalcato esistente e dell'allargamento
- Momento flettente nelle sezioni in campata dei traversi dell'impalcato esistente
- Azione verticale sugli appoggi per le travi principali dell'impalcato esistente e dell'allargamento

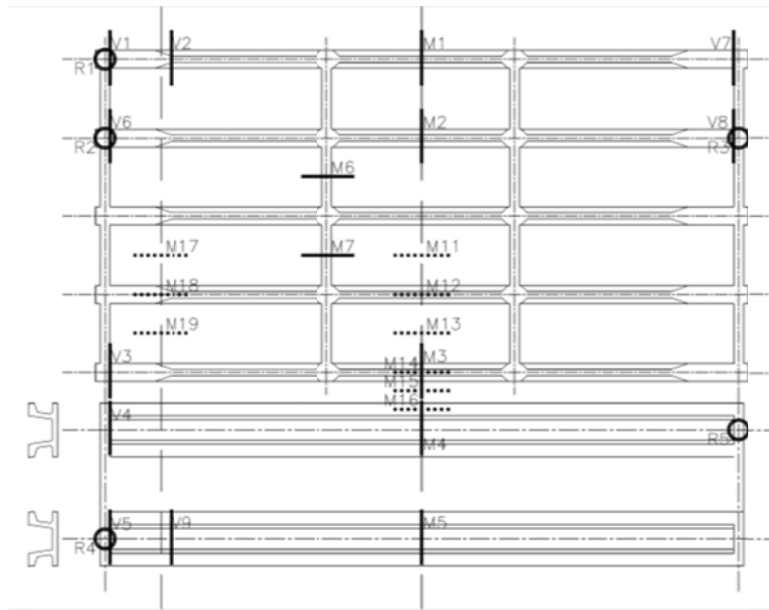
#### 3.3.1.2 Verifiche in soletta

Per l'analisi delle solette si effettua la massimizzazione/minimizzazione delle seguenti caratteristiche di sollecitazione:

- Momento flettente in campata in corrispondenza all'intersezione con le travi principali e a metà della loro distanza reciproca per l'impalcato esistente e nella zona di connessione con la struttura in allargamento
- Momento flettente a circa un ottavo della luce o lungo la sezione di fine ringrosso delle travi (ove presente) in corrispondenza all'intersezione con le travi principali e a metà della loro distanza reciproca, per l'impalcato esistente

Si sono previste sezioni di verifica mirate ad indagare le sollecitazioni agenti nella zona di sutura che risulta un punto di particolare criticità in quanto principale connessione tra l'impalcato esistente e quello in allargamento e di difficile realizzazione.

Di seguito lo schema qualitativo per l'individuazione della dislocazione e dell'orientamento delle sezioni di verifica e degli appoggi indagati.



Sezioni di verifica degli impalcati

Il significato della simbologia adottata è il seguente:

- Mi continua                      Campionamento della sollecitazione flettente in travi/traversi
- Vi continua                      Campionamento della sollecitazione tagliante in travi/traversi
- Ri                                      Campionamento della componente verticale negli appoggi
- Mi puntini                        Campionamento della sollecitazione flettente in soletta

### 3.4 Tabella esplicativa dei carichi agenti

Nel seguito si riassumono in forma tabellare i singoli carichi presi in conto in analisi, corredati di nomenclatura, tipologia di carico (pesi propri, permanenti portati e variabili) e modello sul quale sono stati applicati.

	<b>Carichi da Peso proprio:</b>	Nome Gruppo elementi	Tipologia di carico	Modello di implementazione	Nome carico (-)	Nome carico Lusas (-)	b (m)	h (m)	Area (mq)	Peso (kN/mq) (kN/m)
PP Esistente	Travi CAP esist_sez filante	TrEsistFil	GK1	M1	TrEsFil	M1_GK1_TrEsFil	-	-	0.3368	<b>8.42</b>
	Travi CAP esist_sez Terminale	TrEsistTerm	GK1	M1	TrEsTerm	M1_GK1_TrEsTerm	-	-	0.56	<b>14.00</b>
	Trave esistente esterna (getto soletta)	TrEsistEsterna	GK1	M1	SolEsTrEst	M1_GK1_SolEsTrEst	2.4	0.2	0.48	<b>12.00</b>
	Trave esistente interna (getto soletta)	TrEsistInterna	GK1	M1	SolEsTrInt	M1_GK1_SolEsTrInt	2.4	0.2	0.48	<b>12.00</b>
	Trave esistente sutura (getto soletta)	TrEsistSutura	GK1	M1	SolEsTrSut	M1_GK1_SolEsTrSut	2.3	0.2	0.46	<b>11.50</b>
	Traversi esistenti_estremità	TravEstrEsist	GK1	M2	TravEsEstr	M2_GK1_TravEsEstr	0.3	0.8	0.24	<b>6.00</b>
	Traversi esistenti_intermedi	TravIntermEsist	GK1	M2	TravEsInt	M2_GK1_TravEsInt	0.3	0.8	0.24	<b>6.00</b>
	Soletta esistente	SolEsist	GK1	M3	SolEs	M3_GK1_SolEs	-	0.2	0.2	<b>5.00</b>
PP Allargamento	Travi CAP nuova_sez filante	TrNEWFil	GK1	M1	TrNFil	M1_GK1_TrNFil	-	-	0.70065	<b>17.52</b>
	Travi CAP nuova_sez Terminale	TrNEWTerm	GK1	M1	TrNTerm	M1_GK1_TrNTerm	-	-	0.70065	<b>17.52</b>
	Trave nuova esterna (getto soletta)	TrNEWEsterna	GK1	M1	SolNEWTrEst	M1_GK1_SolNEWTrEst	2.6	0.26	0.676	<b>16.90</b>
	Trave nuova interna (getto soletta)	TrNEWInterna	GK1	M1	SolNEWTrInt	M1_GK1_SolNEWTrInt	2.4	0.26	0.624	<b>15.60</b>
	Trave nuova sutura (getto soletta)	TrNEWSutura	GK1	M1	SolNEWTrSut	M1_GK1_SolNEWTrSut	2.05	0.26	0.533	<b>13.33</b>
	Traversi nuovi_estremità	TravEstrNEW	GK1	M2	TravNEstr	M2_GK1_TravNEstr	0.3	0.9	0.27	<b>6.75</b>
	Traversi nuovi_intermedi	TravIntermNEW	GK1	M2	TravNInt	M2_GK1_TravNInt	-	-	0	<b>0.00</b>
	Soletta nuova	SolNEW	GK1	M3	SolN	M3_GK1_SolN	-	0.26	0.26	<b>6.50</b>
	PP Soletta sutura	SolSUTURA	GK1	M3	SolSut	M3_GK1_SolSut	-	0.26	0.26	<b>6.50</b>



	<u>Carichi da Permanenti Portati:</u>	Punto inserimento	Tipologia di	Modello di	Nome carico	b	h	Area	Peso		
		carico/Nome gruppo	carico	implementazione					(kN/mq)	(kN/m)	
		(-)	(-)		(-)	(m)	(m)	(mq)			
Perm. portati	Sovrasp. Strutturale soletta esistente*	PuntoPatch	GK1	M2	SovrStrutt	M2_GK1_SovrStrutt	-	0.06	0.06	1.50	
	Cordolo 1	PuntoPatch	GK2	M4	Cord1	M4_GK2_Cord1	-	0.25	0.25	6.25	
	Cordolo 2	PuntoPatch	GK2	M4	Cord2	M4_GK2_Cord2	-	0.25	0.25	6.25	
	Pacchetto pavimentazione attuale	PuntoPatch	GK2	M2	PavEsist	M2_GK2_PavEsist	-	0.1	0.1	2.20	
	Δs Pacchetto pavimentazione Esistente	PuntoPatch	GK2	M4	DeltaPavEsist	M4_GK2_DeltaPavEsist	-	0.1	0.1	2.20	
	Pacchetto pavimentazione definitivo NEW	PuntoPatch	GK2	M4	PavDef	M4_GK2_PavDef	-	0.2	0.2	4.40	
	Newjersey CLS	PuntoPatch	GK2	M4	NJ	M4_GK2_NJ	-	-	-	12.40	
	-	-	-	-	-	-	-	-	-		
	Velette	PuntoPatch	GK2	M4	Vel	M4_GK2_Vel	0.05	0.75	0.0375	0.94	
	Barriere metalliche	PuntoPatch	GK2	M4	Barr	M4_GK2_Barr	-	-	-	1.50	
FOA	PuntoPatch	GK2	M4	FOA	M4_GK2_FOA	-	-	-	0.00		
-	-	-	-	-	-	-	-	-			
PP Sutura	Trave esistente sutura (getto sutura)	TrEsistSutura	GK1	M2	SolSutTrSut	M2_GK1_SolSutTrSut	-	0.26	0.26	6.50	1.625
	Trave nuova sutura (getto sutura)	TrNEWSutura	GK1	M2	SolSutTrSut	M2_GK1_SolSutTrSut	-	0.26	0.26	6.50	1.625
	<u>Carico da Folla:</u>	Punto inserimento	Tipologia di carico	Modello di	Nome carico	Nomi del Loadcase		Peso			
		carico/Nome gruppo	(-)	implementazione	(-)	(-)	(-)	(kN/mq)	(kN/m)		
	Carico da folla sui marciapiedi	PuntoPatch	Q5	M5	Folla	M5_Q5_Folla	M5-Q5	2.50			

Il carico variabile indotto dal traffico veicolare viene generato e posizionato direttamente dal programma di calcolo secondo le modalità già descritte in precedenza.

#### 4. Combinazioni di carico

Per la formulazione generale delle combinazioni di carico si rimanda a EN 1990-annex.A2, cap. A2.3, A2.4/.NTC-08 cap. 2.5.3.+ N.A.D..

In particolare, per lo studio dell'impalcato vengono prese in esame le seguenti combinazioni:

- Stato Limite di Esercizio:
  - Combinazione caratteristica o rara
  - Combinazione frequente
  - Combinazione quasi-permanente
- Stato Limite Ultimo:
  - Combinazione STR

Le parti di nuova edificazione saranno sottoposte all'intero set di verifiche agli stati limite ultimi e in esercizio, le porzioni esistenti agli stati limite ultimi.

Più in dettaglio le combinazioni delle azioni da adottare ai fini delle verifiche sono quelle riportate nel prospetto seguente:

- Combinazione fondamentale utilizzata per gli stati limite ultimi (SLU)
 
$$\gamma_{G1} G_{k1} + \gamma_{G2} G_{k2} + \gamma_{ep} G_{kep} + \gamma_{sh} G_{sh} + \gamma_{q1} (Q_{kTS} + Q_{kUDL}) + \gamma_{q2} \psi_{02} Q_{kT}$$
- Combinazione caratteristica (rara) utilizzata per gli stati limite di esercizio (SLE) irreversibili
 
$$G_{k1} + G_{k2} + G_{kep} + G_{sh} + (Q_{kTS} + Q_{kUDL}) + \psi_{02} Q_{k,T}$$
- Combinazione frequente utilizzata per gli stati limite di esercizio (SLE) reversibili
 
$$G_{k1} + G_{k2} + G_{kep} + G_{sh} + (\psi_{11TS} Q_{kTS} + \psi_{11UDL} Q_{kUDL}) + \psi_{22} Q_{kT}$$
- Combinazione quasi permanente (SLE) utilizzata per gli effetti a lungo termine
 
$$G_{k1} + G_{k2} + G_{kep} + G_{ksett.} + G_{sh} + (\psi_{11TS} Q_{kTS} + \psi_{11UDL} Q_{kUDL}) + \psi_{22} Q_{kT}$$

Per la scelta dei coefficienti “ $\gamma$ ” e “ $\psi$ ” da adottare nelle suddette combinazioni ci si riferisce a quanto esposto nella stessa UNI EN 1990.

In tutti i casi, ai fini delle verifiche, sono stati elaborati gli involuppi delle sollecitazioni volti a massimizzare/minimizzare le caratteristiche di sollecitazione di interesse, che risultano complete dei rispettivi valori concomitanti.

#### 4.1 Combinazioni per gli S.L.U. – STR

I parametri di scelta nazionale indicati dal N.A.D. sono i seguenti:

$\gamma_{G1-2}$	1.00 ÷ 1.35	coefficiente moltiplicativo sovraccarichi di peso proprio/permanente
$\gamma_{sh}$	1.00 ÷ 1.35	coefficiente moltiplicativo per gli effetti del ritiro.
$\gamma_{q1}$	0.00 ÷ 1.35	coefficiente moltiplicativo per i carichi ad traffico.

La presenza del valore “0” relativa al  $\gamma_{fav}$  indica che l’azione viene considerata solo quando sfavorevole.

$\psi_{01,TS}$	0.75	coefficiente di combinazione per i carico mobili di tipo TS.
$\psi_{01,UDL}$	0.40	coefficiente di combinazione per i carico mobili di tipo UDL.

#### 4.2 Combinazioni per gli S.L.E. RARA

I parametri di scelta nazionale indicati dal N.A.D. sono i seguenti:

$\psi_{01TS}$	0.75	coefficiente di combinazione per i carico mobili di tipo TS.
$\psi_{01UDL}$	0.40	coefficiente di combinazione per i carico mobili di tipo UDL.

#### 4.3 Combinazioni per gli S.L.E. FREQUENTE

I parametri di scelta nazionale indicati dal N.A.D. sono i seguenti:

$\psi_{11TS}$	0.75	coefficiente di combinazione per i carico mobili di tipo TS.
$\psi_{11UDL}$	0.40	coefficiente di combinazione per i carico mobili di tipo UDL.

#### 4.4 Combinazioni per gli S.L.E. QUASI PERMANENTE

I parametri di scelta nazionale indicati dal N.A.D. sono i seguenti:

$\psi_{21TS}$	0.00	coefficiente di combinazione per i carico mobili di tipo TS.
$\psi_{21UDL}$	0.00	coefficiente di combinazione per i carico mobili di tipo UDL.

L’influenza sulle verifiche generata dalle caratteristiche reologiche del calcestruzzo, per la porzione di impalcato di nuova edificazione, è presa in conto direttamente in fase di verifica delle travi in CAP non scaturendone, come anticipato nei paragrafi precedenti, significativi effetti iperstatici.



273	274	275	276	277	278	279	280	281	282	283	284	285	286	287	288	289	290	291	292	293	294	295	296	297	298	299	300	301	302	303	304	305	306	307	308	309	310	311	312	313	314	315	316	317	318	319	320	321	322	323	324	325	326	327	328	329	330	331	332	333	334	335	336	337	338	339	340	341	342	343	344	345	346	347	348	349	350	351	352	353	354	355	356	357	358	359	360	361	362	363	364	365	366	367	368	369	370	371	372	373	374	375	376	377	378	379	380	381	382	383	384	385	386	387	388	389	390	391	392	393	394	395	396	397	398	399	400	401	402	403	404	405	406	407	408	409	410	411	412	413	414	415	416	417	418	419	420	421	422	423	424	425	426	427	428	429	430	431	432	433	434	435	436	437	438	439	440	441	442	443	444	445	446	447	448	449	450	451	452	453	454	455	456	457	458	459	460	461	462	463	464	465	466	467	468	469	470	471	472	473	474	475	476	477	478	479	480	481	482	483	484	485	486	487	488	489	490	491	492	493	494	495	496	497	498	499	500	501	502	503	504	505	506	507	508	509	510	511	512	513	514	515	516	517	518	519	520	521	522	523	524	525	526	527	528	529	530	531	532	533	534	535	536	537	538	539	540	541	542	543	544	545	546	547	548	549	550	551	552	553	554	555	556	557	558	559	560	561	562	563	564	565	566	567	568	569	570	571	572	573	574	575	576	577	578	579	580	581	582	583	584	585	586	587	588	589	590	591	592	593	594	595	596	597	598	599	600	601	602	603	604	605	606	607	608	609	610	611	612	613	614	615	616	617	618	619	620	621	622	623	624	625	626	627	628	629	630	631	632	633	634	635	636	637	638	639	640	641	642	643	644	645	646	647	648	649	650	651	652	653	654	655	656	657	658	659	660	661	662	663	664	665	666	667	668	669	670	671	672	673	674	675	676	677	678	679	680	681	682	683	684	685	686	687	688	689	690	691	692	693	694	695	696	697	698	699	700	701	702	703	704	705	706	707	708	709	710	711	712	713	714	715	716	717	718	719	720	721	722	723	724	725	726	727	728	729	730	731	732	733	734	735	736	737	738	739	740	741	742	743	744	745	746	747	748	749	750	751	752	753	754	755	756	757	758	759	760	761	762	763	764	765	766	767	768	769	770	771	772	773	774	775	776	777	778	779	780	781	782	783	784	785	786	787	788	789	790	791	792	793	794	795	796	797	798	799	800	801	802	803	804	805	806	807	808	809	810	811	812	813	814	815	816	817	818	819	820	821	822	823	824	825	826	827	828	829	830	831	832	833	834	835	836	837	838	839	840	841	842	843	844	845	846	847	848	849	850	851	852	853	854	855	856	857	858	859	860	861	862	863	864	865	866	867	868	869	870	871	872	873	874	875	876	877	878	879	880	881	882	883	884	885	886	887	888	889	890	891	892	893	894	895	896	897	898	899	900	901	902	903	904	905	906	907	908	909	910	911	912	913	914	915	916	917	918	919	920	921	922	923	924	925	926	927	928	929	930	931	932	933	934	935	936	937	938	939	940	941	942	943	944	945	946	947	948	949	950	951	952	953	954	955	956	957	958	959	960	961	962	963	964	965	966	967	968	969	970	971	972	973	974	975	976	977	978	979	980	981	982	983	984	985	986	987	988	989	990	991	992	993	994	995	996	997	998	999	1000
-----	-----	-----	-----	-----	-----	-----	-----	-----	-----	-----	-----	-----	-----	-----	-----	-----	-----	-----	-----	-----	-----	-----	-----	-----	-----	-----	-----	-----	-----	-----	-----	-----	-----	-----	-----	-----	-----	-----	-----	-----	-----	-----	-----	-----	-----	-----	-----	-----	-----	-----	-----	-----	-----	-----	-----	-----	-----	-----	-----	-----	-----	-----	-----	-----	-----	-----	-----	-----	-----	-----	-----	-----	-----	-----	-----	-----	-----	-----	-----	-----	-----	-----	-----	-----	-----	-----	-----	-----	-----	-----	-----	-----	-----	-----	-----	-----	-----	-----	-----	-----	-----	-----	-----	-----	-----	-----	-----	-----	-----	-----	-----	-----	-----	-----	-----	-----	-----	-----	-----	-----	-----	-----	-----	-----	-----	-----	-----	-----	-----	-----	-----	-----	-----	-----	-----	-----	-----	-----	-----	-----	-----	-----	-----	-----	-----	-----	-----	-----	-----	-----	-----	-----	-----	-----	-----	-----	-----	-----	-----	-----	-----	-----	-----	-----	-----	-----	-----	-----	-----	-----	-----	-----	-----	-----	-----	-----	-----	-----	-----	-----	-----	-----	-----	-----	-----	-----	-----	-----	-----	-----	-----	-----	-----	-----	-----	-----	-----	-----	-----	-----	-----	-----	-----	-----	-----	-----	-----	-----	-----	-----	-----	-----	-----	-----	-----	-----	-----	-----	-----	-----	-----	-----	-----	-----	-----	-----	-----	-----	-----	-----	-----	-----	-----	-----	-----	-----	-----	-----	-----	-----	-----	-----	-----	-----	-----	-----	-----	-----	-----	-----	-----	-----	-----	-----	-----	-----	-----	-----	-----	-----	-----	-----	-----	-----	-----	-----	-----	-----	-----	-----	-----	-----	-----	-----	-----	-----	-----	-----	-----	-----	-----	-----	-----	-----	-----	-----	-----	-----	-----	-----	-----	-----	-----	-----	-----	-----	-----	-----	-----	-----	-----	-----	-----	-----	-----	-----	-----	-----	-----	-----	-----	-----	-----	-----	-----	-----	-----	-----	-----	-----	-----	-----	-----	-----	-----	-----	-----	-----	-----	-----	-----	-----	-----	-----	-----	-----	-----	-----	-----	-----	-----	-----	-----	-----	-----	-----	-----	-----	-----	-----	-----	-----	-----	-----	-----	-----	-----	-----	-----	-----	-----	-----	-----	-----	-----	-----	-----	-----	-----	-----	-----	-----	-----	-----	-----	-----	-----	-----	-----	-----	-----	-----	-----	-----	-----	-----	-----	-----	-----	-----	-----	-----	-----	-----	-----	-----	-----	-----	-----	-----	-----	-----	-----	-----	-----	-----	-----	-----	-----	-----	-----	-----	-----	-----	-----	-----	-----	-----	-----	-----	-----	-----	-----	-----	-----	-----	-----	-----	-----	-----	-----	-----	-----	-----	-----	-----	-----	-----	-----	-----	-----	-----	-----	-----	-----	-----	-----	-----	-----	-----	-----	-----	-----	-----	-----	-----	-----	-----	-----	-----	-----	-----	-----	-----	-----	-----	-----	-----	-----	-----	-----	-----	-----	-----	-----	-----	-----	-----	-----	-----	-----	-----	-----	-----	-----	-----	-----	-----	-----	-----	-----	-----	-----	-----	-----	-----	-----	-----	-----	-----	-----	-----	-----	-----	-----	-----	-----	-----	-----	-----	-----	-----	-----	-----	-----	-----	-----	-----	-----	-----	-----	-----	-----	-----	-----	-----	-----	-----	-----	-----	-----	-----	-----	-----	-----	-----	-----	-----	-----	-----	-----	-----	-----	-----	-----	-----	-----	-----	-----	-----	-----	-----	-----	-----	-----	-----	-----	-----	-----	-----	-----	-----	-----	-----	-----	-----	-----	-----	-----	-----	-----	-----	-----	-----	-----	-----	-----	-----	-----	-----	-----	-----	-----	-----	-----	-----	-----	-----	-----	-----	-----	-----	-----	-----	-----	-----	-----	-----	-----	-----	-----	-----	-----	-----	-----	-----	-----	-----	-----	-----	-----	-----	-----	-----	-----	-----	-----	-----	-----	-----	-----	-----	-----	-----	-----	-----	-----	-----	-----	-----	-----	-----	-----	-----	-----	-----	-----	-----	-----	-----	-----	-----	-----	-----	-----	-----	-----	-----	-----	-----	-----	-----	-----	-----	-----	-----	-----	-----	-----	-----	-----	-----	-----	-----	-----	-----	-----	-----	-----	-----	-----	-----	-----	-----	-----	-----	-----	-----	-----	-----	-----	-----	-----	-----	-----	-----	-----	-----	-----	-----	-----	-----	-----	-----	-----	-----	-----	-----	-----	-----	-----	-----	-----	-----	-----	-----	-----	-----	-----	-----	-----	-----	-----	-----	-----	-----	-----	-----	-----	-----	-----	-----	-----	-----	-----	-----	------

Numerazione degli elementi shell della soletta

## 5.2 Sollecitazioni

A valle dell'analisi strutturale, effettuata per le singole azioni caratteristiche, vengono generati in automatico dal programma di calcolo gli involuipi e le combinazioni di carico pertinenti ai vari scopi, rispettivamente per  $V_{max}/V_{min}$  e  $M_{max}/M_{min}$ .

L'effetto delle azioni variabili viene quindi computato attraverso involuipi e combinazioni volti a massimizzare/minimizzare l'azione tagliante  $V$  ed il momento flettente  $M$ .

L'analisi strutturale dell'impalcato viene effettuata con riferimento alle rigidzze "uncracked".

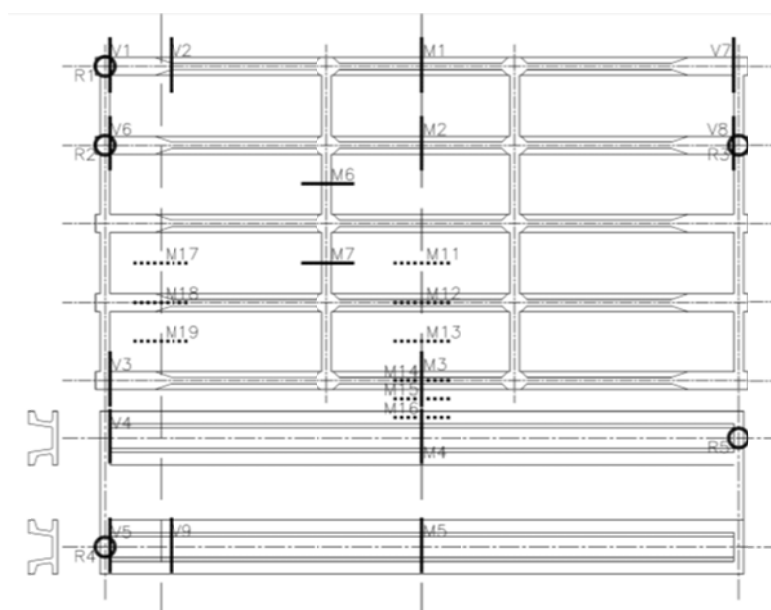
Nel seguito si riportano i diagrammi rappresentativi degli involuipi delle sollecitazioni, rilevati per le varie combinazioni di normativa, per ciascuna famiglia di elementi costituenti l'impalcato. Tutti i valori sono espressi in N e Nm.

Si evidenzia che, avendo individuato a monte dell'analisi gli elementi rappresentativi di ciascuna famiglia (travi principali, traversi, soletta, appoggi) e la localizzazione delle sezioni significative, le componenti di sollecitazione sono state massimizzate/minimizzate in specifiche posizioni; i risultati ottenuti risultano estendibili agli elementi afferenti alla medesima famiglia.

I grafici seguenti, quindi, non palesano le sollecitazioni massime ottenibili, in linea del tutto generale e analizzando tutte le possibili configurazioni di carico, sull'intero impalcato ma restituiscono le sollecitazioni di progetto/verifica in elementi e sezioni rappresentative i cui risultati vengono a posteriori estesi a tutti gli elementi assimilabili per geometria, grado di vincolo e schema di carico.

Vengono omessi i diagrammi non significativi.

A seguire si riporta lo schema grafico esplicativo delle sezioni indagate e relative alle travi principali, ai traversi, agli appoggi ed alla soletta, sia per la porzione di impalcato esistente, sia per l'allargamento. Lo schema è da intendersi come rappresentativo per tutti gli impalcati aventi caratteristiche assimilabili; le sezioni sono poi state individuate per ciascuna opera in relazione alla reale geometria. Si rimanda quindi alle immagini tratte dai singoli modelli di calcolo agli EF per la localizzazione specifica delle sezioni indagate.

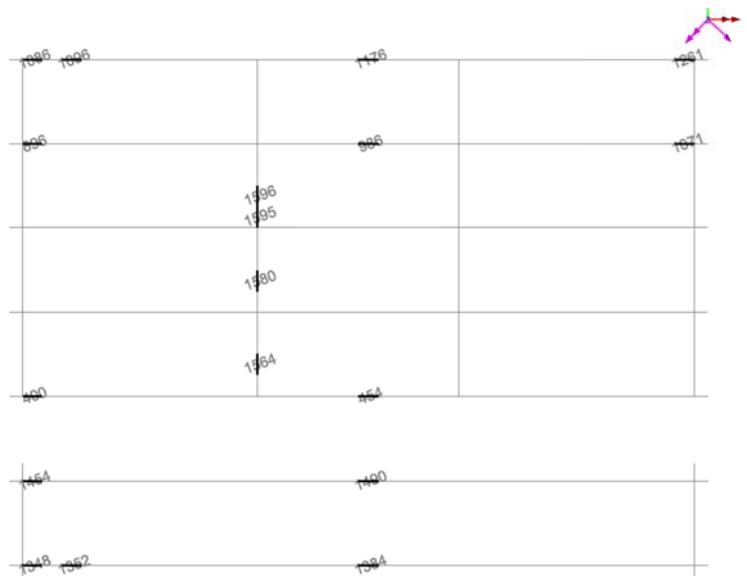


Sezioni di verifica degli impalcati

Le tabelle seguenti palesano la numerazione degli elementi “beam” e dei G.P. (Gauss point) utilizzati per l'estrazione delle sollecitazioni rappresentative sulle travi e sui traversi. Per completezza, oltre alle sezioni indicate nello schema, se ne sono individuate ulteriori due rappresentative delle sollecitazioni agenti sui traversi di campata dell'impalcato esistente in corrispondenza all'intersezione con le travi principali. (MTrCamp – MTrEstr).

Campata unica  $L_{CALCOLO} = 19.20 \text{ m}$

Verifica delle sezioni significative delle travi/traversi:						
	Nome (-)	Oggetto (-)	Nodo (-)	Elemento (-)	G.P (-)	Nome (-)
Travi e traversi	M1	Trave Esist	1238	1176	11	M1
	M2	Trave Esist	1044	986	11	M2
	M3	Trave Esist	502	454	11	M3
	M4	Trave Nuova	1608	1490	11	M4
	M5	Trave Nuova	1467	1384	11	M5
	M6	Traverso esist	1762	1596	11	M6
	M7	Traverso esist	1734	1580	11	M7
	MTrCamp	Traverso esist - Nodo trave	825	1595	1	MTrCamp
	MTrEstr	Traverso esist - Nodo trave sutura	1705	1564	1	MTrEstr
	V1	App Trave Esist	1153	1086	11	V1
	V2	Variaz. Sez. Trave Esist	1163	1096	11	V2
	V3	App Trave Esist	451	400	11	V3
	V4	App Trave Nuova	1557	1454	11	V4
	V5	App Trave Nuova	1416	1348	11	V5
	V6	App Trave Esist	959	896	11	V6
	V7	App Trave Esist	1323	1261	1	V7
	V8	App Trave Esist	1129	1071	1	V8
	V9	Variaz. Sez. Trave Nuova	1422	1352	11	V9



Elementi di verifica – Travi principali e traversi

Di seguito, a titolo esemplificativo, si riportano i grafici con gli involuipi delle max/min sollecitazioni nelle travi e nei traversi.

La sollecitazione flettente viene determinata utilizzando l'ipotesi di sezione trave-soletta autoequilibrata assialmente e, quindi, il valore viene determinato a valle dell'analisi agli E.F. combinando opportunamente la componente flettente (agente sull'elemento "beam") con l'azione assiale moltiplicata per il braccio della coppia interna della sezione composta trave-soletta. I relativi grafici restituiscono l'andamento della sollecitazione lungo lo sviluppo delle travi e dei traversi; per il loro valore puntuale si rimanda alle tabelle di dettaglio nei successivi paragrafi.



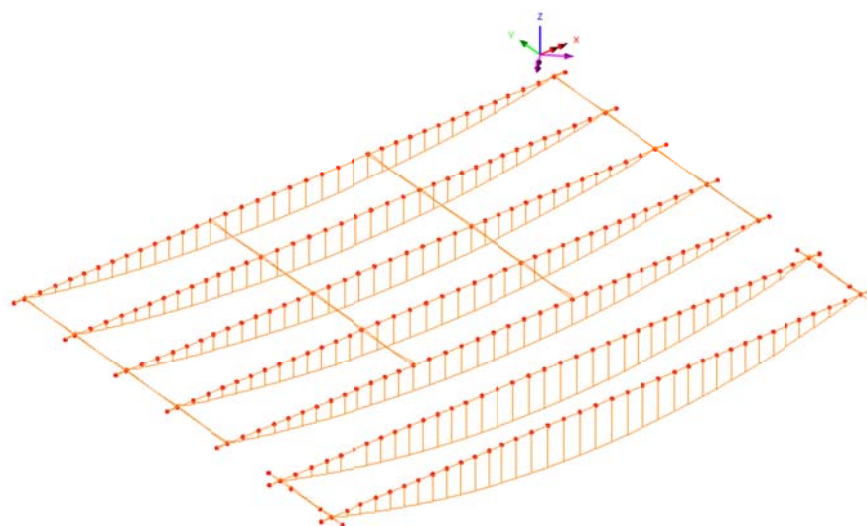




### 5.2.2 Involuppo S.L.E. (Rara – Frequente - Q. Permanente)

Di seguito, a titolo esemplificativo, si riportano i grafici con gli involuppi delle max/min sollecitazioni flettenti nelle travi e nei traversi.

Per il dettaglio delle sollecitazioni agenti sulle singole sezioni si rimanda alle tabelle riassuntive nel prosieguo nelle quali, oltre al valore complessivo di combinazione, si dettagliano gli addendi attribuibili alle tre principali fasi descritte in precedenza (Fase 1, Fase 2, Fase3).



*Max/Min Momento flettente - Travi principali e traversi*

Nelle tabelle seguenti si riassumono le massime/minime sollecitazioni flettenti e taglianti, corredate delle concomitanti, che caratterizzano le sezioni di estremità, di fine ringrosso (qualora presente) e di mezzeria delle travi longitudinali, oltre alle sollecitazioni flettenti nei traversi.

5.2.3 Tabella riassuntiva delle sollecitazioni

Sollecitazioni di verifica - Impalcato esistente:										
Sezione	Posizione	Combo	Caratteristica max/min	Sollecitazioni Totali						
				V (kN)	My (kNm)	N (kN)	V (kN)	My (kNm)	N (kN)	
(-)	(-)	(-)	(-)							
Travi principali Esistenti	M1	Campata	SLUFase1	Mmax	-6	-1006	-			
	M1	Campata	SLUFase2	Mmax	-3	-595	-	-9	-1468	-
	M1	Campata	SLUFase3	Mmax	0	133	-			
	M1	Campata	SLUFase1	Mmin	-8	-1359	-			
	M1	Campata	SLUFase2	Mmin	-4	-803	-	-57	-4797	-
	M1	Campata	SLUFase3	Mmin	-45	-2635	-			
	M2	Campata	SLUFase1	Vmax	-6	-1056	-			
	M2	Campata	SLUFase2	Vmax	-2	-542	-	41	-3050	-
	M2	Campata	SLUFase3	Vmax	49	-1453	-			
	M3	Campata	SLUFase1	Vmin	-9	-1470	-			
	M3	Campata	SLUFase2	Vmin	-3	-666	-	-106	-3759	-
	M3	Campata	SLUFase3	Vmin	-94	-1623	-			
	V3	Estremità	SLUFase1	Vmin	222	3	-			
	V3	Estremità	SLUFase2	Vmin	87	-5	-	308	-1	-
	V3	Estremità	SLUFase3	Vmin	0	0	-			
	V3	Estremità	SLUFase1	Mmin	222	3	-			
	V3	Estremità	SLUFase2	Mmin	87	-5	-	367	-46	-
	V3	Estremità	SLUFase3	Mmin	59	-44	-			
	V6	Estremità	SLUFase1	Vmax	282	1	-			
	V6	Estremità	SLUFase2	Vmax	127	-9	-	973	-22	-
	V6	Estremità	SLUFase3	Vmax	565	-15	-			
	V8	Estremità	SLUFase1	Vmin	-282	2	-			
	V8	Estremità	SLUFase2	Vmin	-126	-9	-	-972	-21	-
	V8	Estremità	SLUFase3	Vmin	-564	-13	-			
V2	Fine Ringrosso	SLUFase1	Vmin	177	-225	-				
V2	Fine Ringrosso	SLUFase2	Vmin	95	-142	-	255	-367	-	
V2	Fine Ringrosso	SLUFase3	Vmin	-17	0	-				
V2	Fine Ringrosso	SLUFase1	Mmin	239	-304	-				
V2	Fine Ringrosso	SLUFase2	Mmin	128	-191	-	743	-1082	-	
V2	Fine Ringrosso	SLUFase3	Mmin	376	-587	-				
V2	Fine Ringrosso	SLUFase1	Vmax	239	-304	-				
V2	Fine Ringrosso	SLUFase2	Vmax	128	-191	-	774	-1051	-	
V2	Fine Ringrosso	SLUFase3	Vmax	408	-555	-				
V2	Fine Ringrosso	SLUFase1	Vmin	177	-225	-				
V2	Fine Ringrosso	SLUFase2	Vmin	95	-142	-	255	-367	-	
V2	Fine Ringrosso	SLUFase3	Vmin	-17	0	-				
Traversi Esistenti	MTrCamp	Campata	SLUFase1	Mmax	-10	12	-1			
	MTrCamp	Campata	SLUFase2	Mmax	-3	23	-23	-37	120	-120
	MTrCamp	Campata	SLUFase3	Mmax	-24	84	-96			
	MTrCamp	Campata	SLUFase1	Vmax	-7	6	-2			
	MTrCamp	Campata	SLUFase2	Vmax	-2	10	-18	155	-279	935
	MTrCamp	Campata	SLUFase3	Vmax	164	-294	955			
	M6	Campata	SLUFase1	Vmax	-3	-1	-2			
	M6	Campata	SLUFase2	Vmax	-2	7	-18	158	-91	935
	M6	Campata	SLUFase3	Vmax	164	-97	955			
	MTrEstr	Campata	SLUFase1	Vmin	1	-1	-5			
MTrEstr	Campata	SLUFase2	Vmin	3	5	-20	-174	54	631	
MTrEstr	Campata	SLUFase3	Vmin	-178	50	655				

5.2.4 Tabella riassuntiva delle sollecitazioni – Impalcato in allargamento

SCOLO TOMBE - Campata - Travi nuove - H 90 interasse 2.40 m										
	Sezione (-)	Posizione (-)	Combo (-)	Caratteristica			Note: (-)	M/V/T Tot (kN-m)		
				max/min (-)	V <sub>(TAGLIO)</sub> (kN)	M <sub>Y(M_FLETT)</sub> (kNm)			M <sub>X(M_TORC)</sub> (kNm)	
Sezioni di Campata	SLE Freq	M4	Campata	SLEFase1	Mmax	-9	-1457	0		
		M4	Campata	SLEFase2	Mmax	-3	-543	1		
		M4	Campata	SLEFase3-Freq	Mmax	0	0	0		
		M5	Campata	SLEFase1	Mmin	-10	-1619	0	M. flettente mezzeria	-3785
		M5	Campata	SLEFase2	Mmin	-3	-594	1		
		M5	Campata	SLEFase3-Freq	Mmin	-36	-1571	-1		
	SLE Caratt	M4	Campata	SLEFase1	Mmax	-9	-1457	0		
		M4	Campata	SLEFase2	Mmax	-3	-543	1		
		M4	Campata	SLEFase3-Caratt	Mmax	0	0	0		
		M5	Campata	SLEFase1	Mmin	-10	-1619	0	M. flettente mezzeria	-4645
		M5	Campata	SLEFase2	Mmin	-3	-594	1		
		M5	Campata	SLEFase3-Caratt	Mmin	-50	-2432	-1		
	SLU	M4	Campata	SLUFase1	Mmax	-9	-1457	0		
		M4	Campata	SLUFase2	Mmax	-3	-543	1		
		M4	Campata	SLUFase3	Mmax	0	0	0		
		M5	Campata	SLUFase1	Mmin	-14	-2185	0	M. flettente mezzeria	-6271
		M5	Campata	SLUFase2	Mmin	-4	-802	2		
		M5	Campata	SLUFase3	Mmin	-67	-3283	-1		
		M4	Campata	SLUFase1	Vmax	-9	-1457	0		
		M4	Campata	SLUFase2	Vmax	-3	-543	1		
		M4	Campata	SLUFase3	Vmax	24	-917	30		
		M4	Campata	SLUFase1	Vmin	-12	-1967	0		
		M4	Campata	SLUFase2	Vmin	-4	-732	1		
		M4	Campata	SLUFase3	Vmin	-221	-3038	24		
M4	Campata	SLUFase1	Mxmin	-12	-1967	0	M. torcente mezzeria	-48		
M4	Campata	SLUFase2	Mxmin	-3	-543	1				
M4	Campata	SLUFase3	Mxmin	-91	-2150	-49				
Sezioni di Estremità	SLE Freq	V5	Estremità	SLEFase1	Mmax	325	2	3		
		V5	Estremità	SLEFase2	Mmax	104	-7	-26		
		V5	Estremità	SLEFase3-Freq	Mmax	138	29	-12		
		V4	Estremità	SLEFase1	Mmax	296	2	3		
		V4	Estremità	SLEFase2	Mmax	77	-12	-10		
		V4	Estremità	SLEFase3-Freq	Mmax	291	-25	54		
	SLE Caratt	V5	Estremità	SLEFase1	Mmax	325	2	3		
		V5	Estremità	SLEFase2	Mmax	104	-7	-26		
		V5	Estremità	SLEFase3-Caratt	Mmax	236	37	-31		
		V4	Estremità	SLEFase1	Mmax	296	2	3		
		V4	Estremità	SLEFase2	Mmax	77	-12	-10		
		V4	Estremità	SLEFase3-Caratt	Mmax	442	-36	95		
	SLU	V5	Estremità	SLUFase1	Mmax	439	2	4		
		V5	Estremità	SLUFase2	Mmax	140	-10	-35		
		V5	Estremità	SLUFase3	Mmax	318	50	-41		
		V5	Estremità	SLUFase1	Vmax	439	2	4		
		V5	Estremità	SLUFase2	Vmax	140	-10	-35		
		V5	Estremità	SLUFase3	Vmax	521	-63	2		
		V4	Estremità	SLUFase1	Vmax	400	3	5	Taglio estremità	1103
		V4	Estremità	SLUFase2	Vmax	104	-16	-13		
		V4	Estremità	SLUFase3	Vmax	598	-50	123		
		V4	Estremità	SLUFase1	Vmin	296	2	3		
		V4	Estremità	SLUFase2	Vmin	77	-12	-10		
		V4	Estremità	SLUFase3	Vmin	0	0	0		
V4	Estremità	SLUFase1	Mxmax	400	3	5	M. torcente estremità	251		
V4	Estremità	SLUFase2	Mxmax	77	-12	-10				
V4	Estremità	SLUFase3	Mxmax	292	0	256				

Sezioni di Fine Ringrosso	SLE Freq	V9	Fine Ringrosso	SLEFase1	Mmax	287	-353	3		
		V9	Fine Ringrosso	SLEFase2	Mmax	94	-139	-31		
		V9	Fine Ringrosso	SLEFase3-Freq	Mmax	0	0	0		
		V9	<b>Fine Ringrosso</b>	<b>SLEFase1</b>	<b>Mmin</b>	<b>287</b>	<b>-353</b>	<b>3</b>	<b>M. flettente ringrosso</b>	<b>-867</b>
		V9	<b>Fine Ringrosso</b>	<b>SLEFase2</b>	<b>Mmin</b>	<b>94</b>	<b>-139</b>	<b>-31</b>		
		V9	<b>Fine Ringrosso</b>	<b>SLEFase3-Freq</b>	<b>Mmin</b>	<b>250</b>	<b>-375</b>	<b>9</b>		
	SLE Caratt	V9	Fine Ringrosso	SLEFase1	Mmax	287	-353	3		
		V9	Fine Ringrosso	SLEFase2	Mmax	94	-139	-31		
		V9	Fine Ringrosso	SLEFase3-Caratt	Mmax	0	0	0		
		V9	<b>Fine Ringrosso</b>	<b>SLEFase1</b>	<b>Mmin</b>	<b>287</b>	<b>-353</b>	<b>3</b>	<b>M. flettente ringrosso</b>	<b>-1071</b>
		V9	<b>Fine Ringrosso</b>	<b>SLEFase2</b>	<b>Mmin</b>	<b>94</b>	<b>-139</b>	<b>-31</b>		
		V9	<b>Fine Ringrosso</b>	<b>SLEFase3-Caratt</b>	<b>Mmin</b>	<b>387</b>	<b>-579</b>	<b>5</b>		
	SLU	V9	Fine Ringrosso	SLUFase1	Mmax	287	-353	3		
		V9	Fine Ringrosso	SLUFase2	Mmax	94	-139	-31		
		V9	Fine Ringrosso	SLUFase3	Mmax	0	0	0		
		V9	<b>Fine Ringrosso</b>	<b>SLUFase1</b>	<b>Mmin</b>	<b>388</b>	<b>-476</b>	<b>4</b>	<b>M. flettente ringrosso</b>	<b>-1445</b>
		V9	<b>Fine Ringrosso</b>	<b>SLUFase2</b>	<b>Mmin</b>	<b>127</b>	<b>-188</b>	<b>-41</b>		
		V9	<b>Fine Ringrosso</b>	<b>SLUFase3</b>	<b>Mmin</b>	<b>523</b>	<b>-781</b>	<b>6</b>		
		V9	<b>Fine Ringrosso</b>	<b>SLUFase1</b>	<b>Vmax</b>	<b>388</b>	<b>-476</b>	<b>4</b>	<b>Taglio ringrosso</b>	<b>1056</b>
		V9	<b>Fine Ringrosso</b>	<b>SLUFase2</b>	<b>Vmax</b>	<b>127</b>	<b>-188</b>	<b>-41</b>		
		V9	<b>Fine Ringrosso</b>	<b>SLUFase3</b>	<b>Vmax</b>	<b>541</b>	<b>-724</b>	<b>2</b>		
V9		Fine Ringrosso	SLUFase1	Vmin	287	-353	3			
V9		Fine Ringrosso	SLUFase2	Vmin	94	-139	-31			
V9		Fine Ringrosso	SLUFase3	Vmin	0	0	0			
V9	<b>Fine Ringrosso</b>	<b>SLUFase1</b>	<b>Mxmax</b>	<b>289</b>	<b>-355</b>	<b>4</b>	<b>M. torcente ringrosso</b>	<b>155</b>		
V9	<b>Fine Ringrosso</b>	<b>SLUFase2</b>	<b>Mxmax</b>	<b>94</b>	<b>-139</b>	<b>-31</b>				
V9	<b>Fine Ringrosso</b>	<b>SLUFase3</b>	<b>Mxmax</b>	<b>203</b>	<b>-268</b>	<b>182</b>				

Note:

- Fase 1: PP della trave e del getto non collaborante della soletta
- Fase 2: Carichi permanenti portati
- Fase 3: Carichi da traffico

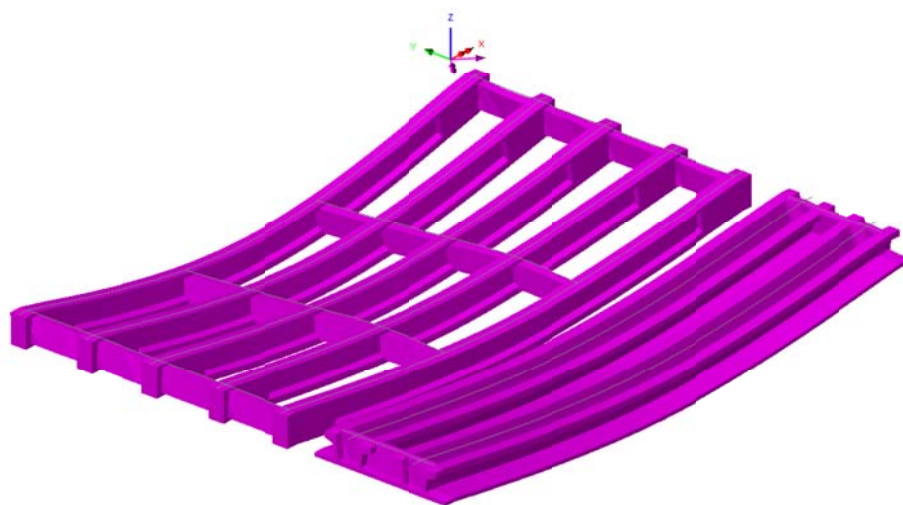
## 6. Deformazioni verticali

### 6.1 Deformazioni massime

Si riporta di seguito l'involuppo delle configurazioni deformate delle travi principali sotto l'effetto dei carichi da traffico (fase 3)

#### Carichi variabili da traffico

Scale: 1: 98.2102  
 Zoom: 100.0  
 Eye: (-0.681179, -0.580211, 0.446639)  
 Linear/dynamic analysis  
 Combining on: DZ  
 SLE Fase3- Caratt (Min)  
 Maximum displacement 0.0180146 at node 1238  
 Deformation exaggeration: 01.7755



*Deformata verticale massima di Fase 3 - Travi principali e trasversi*

Combinazione	Impalcato	$\delta$ (mm)	L/ $\delta$
SLE Caratteristica Fase 3	L = 19.20 m	18.01	1066

Le deformazioni indotte dal traffico veicolare sono modeste.

## 7. Verifiche delle travi in c.a.p. e dei traversi

### 7.1 Generalità

Le verifiche di resistenza vengono effettuate allo S.L.U. con riferimento alle massime/minime sollecitazioni flettenti in mezzera e taglianti in corrispondenza alle sezioni di estremità, secondo i criteri contenuti in EN 1992-1-1/1992.2 e in NTC 2008.

Nel primo caso, la verifica di resistenza in condizioni ultime di una sezione presso-inflessa consiste nel soddisfacimento della seguente disuguaglianza:

$$M_{Ed} \leq M_{Rd} (N_{Ed})$$

dove:

$M_{Ed}$  = momento flettente sollecitante di calcolo, valutata sotto la combinazione;

$M_{Rd}$  = momento flettente resistente associato all'azione assiale concomitante  $N_{Ed}$ .

In fase di verifica viene definito coefficiente di sicurezza  $\gamma$  il rapporto tra  $M_{Rd}$  e  $M_{Ed}$ . La verifica di resistenza può quindi ritenersi soddisfatta se risulta  $\gamma \geq 1$ .

La verifica S.L.U. per azioni taglianti consiste nel soddisfacimento della seguente disuguaglianza:

$$V_{Ed} \leq V_{Rd}$$

dove:

$V_{Ed}$  = azione tagliente sollecitante di calcolo, valutata sotto la combinazione;

$V_{Rd}$  = taglio resistente.

Il contributo resistente al taglio sarà il minimo valore tra quello dato dalla resistenza di calcolo a "taglio trazione", riferita all'armatura trasversale, e quello dato dalla resistenza a "taglio compressione", associata al nucleo in calcestruzzo (EN 1992-1-1 §6.2.3).

$$V_{Rd} = \min\{V_{Rsd}; V_{Rd,max}\}$$

con

$$V_{Rsd} = \frac{A_{sw}}{s} \cdot z \cdot f_{ywd} \cdot \cot \theta$$

$$V_{Rd,max} = \frac{\alpha_{cw} \cdot b_w \cdot z \cdot v_1 \cdot f_{cd}}{\cot \theta + \tan \theta}$$

dove:

$A_{sw}$  = area dell'armatura trasversale a taglio

$s$  = passo delle staffe

$z$  = braccio della coppia interna assunto pari a  $z = 0.9 \cdot d$

$\alpha$  = angolo di inclinazione dell'armatura trasversale rispetto all'asse della trave

$\theta$  = inclinazione del puntone compresso di calcestruzzo (con  $1 \leq \cot \theta \leq 2.5$ )

$f_{ywd}$  = tensione di snervamento di progetto dell'armatura a taglio

$v_1$  = coefficiente di riduzione della resistenza del calcestruzzo fessurato per taglio



$\alpha_{cw}$  = coefficiente che considera l'interazione tra la tensione nel corrente compresso e qualsiasi tensione di compressione assiale

Le verifiche sono condotte considerando le azioni agenti sulla trave più sollecitata come palesato attraverso la modellazione tridimensionale agli E.F.

Per le verifiche a flessione delle travi in CAP viene presa in conto l'armatura di precompressione come desunto dagli elaborati di archivio - per l'impalcato esistente - e viene invece effettuata la progettazione per le travi nuove. A favore di sicurezza si trascura la presenza dell'armatura lenta longitudinale ad intradosso trave.

Per la verifica dei traversi esistenti e per quella a taglio delle travi ci si avvale delle informazioni palesate dagli elaborati di archivio.

Come anticipato nei paragrafi precedenti, è prevista la realizzazione di un sovrappessore strutturale armato sulle solette esistenti che presentano ora uno spessore estremamente modesto ( $s_{SOL} = 0.18$  m coppella inclusa). Tale sovrappessore vede la presenza di armature integrative sia longitudinali, sia trasversali e, attraverso la connessione meccanica con la soletta esistente realizzata tramite inghisaggio di spilli a maglia regolare, risulta efficace nei confronti delle sollecitazioni flettenti e taglianti agenti sulle travi e sui traversi.

Nelle verifiche seguenti si prende quindi in conto la configurazione post-intervento e, quindi, si considerano l'effetto benefico del sovrappessore strutturale.

In accordo con le NTC'08 (§4.1.2.2.5.1), per la porzione di impalcato di nuova realizzazione (travi in CAP, traversi e solette) si implementa anche la verifica tensionale agli stati limite di esercizio che verificherà il rispetto delle tensioni limite nel calcestruzzo e nell'acciaio, sia esso ordinario, sia da precompressione.

Per il calcestruzzo di trave

- $\sigma_c < 0.60 \cdot f_{ck} = 0.60 \cdot 45 = 27.0MPa$  per la combinazione caratteristica (SLE rara)
- $\sigma_c < 0.45 \cdot f_{ck} = 0.45 \cdot 45 = 20.2MPa$  per la combinazione SLE quasi permanente

Per l'armatura da precompressione

- $\sigma_{sp} < \begin{cases} 0.90 \cdot f_{p(0.1)k} = 0.90 \cdot 1604 = 1444MPa \\ 0.80 \cdot f_{ptk} = 0.80 \cdot 1860 = 1488MPa \end{cases}$  al tiro
- $\sigma_{sp} < 0.80 \cdot f_{p(1)k} = 0.80 \cdot 1670 = 1336MPa$  per la combinazione caratteristica (SLE rara)

Per il calcestruzzo di soletta

- $\sigma_c < 0.60 \cdot f_{ck} = 0.60 \cdot 35 = 21.0MPa$  per la combinazione caratteristica (SLE rara)
- $\sigma_c < 0.45 \cdot f_{ck} = 0.45 \cdot 35 = 15.8MPa$  per la combinazione SLE quasi permanente

Per l'armatura lenta

- $\sigma_s < 0.80 \cdot f_{yk} = 0.80 \cdot 450 = 360MPa$  per la combinazione caratteristica (SLE rara)

Inoltre per la verifica a fessurazione si considerano le condizioni ambientali aggressive che, in accordo con le NTC'08 §4.1.2.2.4.5, per le armature sensibili prevedono un'apertura di fessura inferiore a  $w_1 = 0.2$  mm agli stati limite di esercizio frequenti e uno stato limite di decompressione con l'assenza di fessure dovuta a tensioni normali di compressione o al più nulle agli S.L.E. quasi permanente. Per gli S.L.E. frequente il

calcolo dell'apertura di fessura viene effettuato nel caso in cui la tensione massima di trazione nella fibra più sollecitata risulti essere superiore a  $f_{ctm}/1.2$  (NTC'08 §4.1.2.2.4.1) essendo:

$$f_{ctm} = 0.30 \cdot \sqrt[3]{f_{ck}^2} = 0.30 \cdot \sqrt[3]{45^2} = 3.79 MPa \quad \text{per C45/55} \quad (\text{NTC'08 §11.2.10.2})$$

$$f_{ctm} = 0.30 \cdot \sqrt[3]{f_{ck}^2} = 0.30 \cdot \sqrt[3]{35^2} = 3.21 MPa \quad \text{per C35/45} \quad (\text{NTC'08 §11.2.10.2})$$

Per la verifica degli stati limite di fessurazione si fa riferimento a quanto previsto dalle NTC'08 §4.1.2.2.4.5. In funzione della classe di esposizione delle travi e della soletta (XF4) si considereranno le condizioni ambientali molto aggressive che non prevedono alcuna apertura di fessura agli S.L.E. frequenti e il rispetto della decompressione agli S.L.E. quasi permanenti:

Condizioni ambientali	Combinazione di azioni	Armatura			
		Sensibile		Poco sensibile	
		Stato limite	$w_d$	Stato limite	$w_d$
Ordinarie	Frequente	Ap. fessure	$\leq w_2$	Ap. fessure	$\leq w_3$
	Quasi permanente	Ap. fessure	$\leq w_1$	Ap. fessure	$\leq w_2$
Aggressive	Frequente	Ap. fessure	$\leq w_1$	Ap. fessure	$\leq w_2$
	Quasi permanente	Decompressione	-	Ap. fessure	$\leq w_1$
Molto aggressive	Frequente	Formazione fessure	-	Ap. fessure	$\leq w_1$
	Quasi permanente	Decompressione	-	Ap. fessure	$\leq w_1$

## 7.2 Verifiche di resistenza S.L.U. per azioni flettenti

La verifica di resistenza in condizioni ultime di una sezione presso-inflessa consiste nel soddisfacimento della seguente disuguaglianza:

$$\gamma = \frac{M_{Rd}}{M_{Ed}(N_{Ed})} \leq 1$$

Nei risultati riassunti di seguito verranno considerati i set di sollecitazioni derivanti dalla massimizzazione/minimizzazione delle sollecitazioni flettenti ( $M_{y,max}$  e  $M_{y,min}$ ) e per ciascuna di esse verranno calcolati i momenti resistenti ( $M_{Rd}$ ) associati all'azione assiale agente e alle caratteristiche geometriche e meccaniche specificate per la sezione in esame. La verifica si considera soddisfatta quando il coefficiente di sicurezza (C.S.) risulta superiore all'unità.

Di seguito si riportano le verifiche condotte in cui si indica con:

$N_{Ed}$  = azione assiale sollecitante espressa in kN

$M_{Ed}$  = azione flettente sollecitante espressa in kNm

$M_{Rd}$  = azione flettente resistente, funzione dell'azione assiale sollecitante, espressa in kNm

C.S. = coefficiente di sicurezza paria al rapporto fra l'azione flettente resistente e quella sollecitante

### 7.2.1 Impalcato esistente

#### Campata unica L= 19.20 m – Travi principali

Si è tenuto conto dell'incrudimento dell'acciaio armonico semplificandone il legame elastico-incrudente con una curva equivalente in energia di tipo elastico-perfettamente plastico.

**Curva reale caratteristica ( $\sigma$ - $\epsilon$ )**

$E_{1\_CAVO}$ (MPa)	$f_{yk}$ (MPa)	$f_{tk}$ (MPa)	$\epsilon_{uk}$ (-)	$\gamma_s$ (-)	$1/\gamma_\epsilon$ (-)
195000	1350	1800	0.06	1.15	0.9

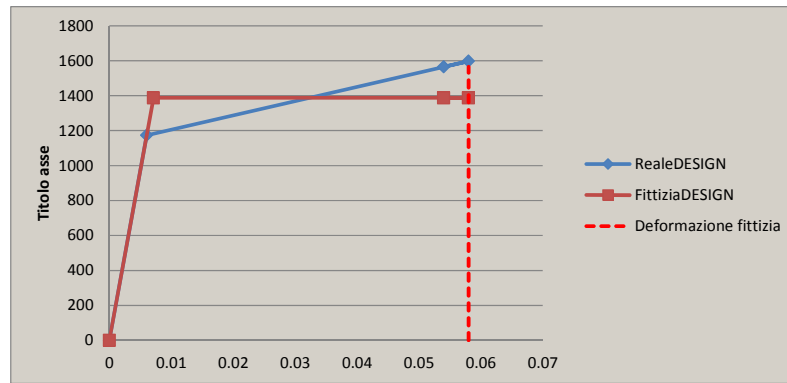
**Curva reale di calcolo ( $\sigma$ - $\epsilon$ )**

$E_{1\_CAVO}$ (MPa)	$E_{2\_CAVO}$ (MPa)	k (-)	$f_{yd}$ (MPa)	$\epsilon_{yd}$ (-)	$k \cdot f_{yd}$ (MPa)	$\epsilon_{ud}$ (-)
195000	8156	1.33	1174	0.0060	1565	0.054

Curva modificata con equivalenza in energia (alla deformata dell'acciaio nella configurazione ultima della sezione):

**Curva  $\sigma$ - $\epsilon$  fittizia (Modificata - Elastico-perfettam. plastico)**

$\epsilon_{SLU\_CALCOLO}$ (-)	$E_{1\_CAVO}$ (MPa)	$\epsilon_{yd}$ (-)	$f_{yd}$ (MPa)
0.058	195000	0.0071	1388



**Verifica C.A. S.L.U. - File: TrEistCamp**

File Materiali Opzioni Visualizza Progetto Sez. Rett. Sismica Normativa: NTC 2008

**Titolo:** Trave esistente campata

N° Vertici: 16 Zoom N° barre: 1 Zoom

N°	x [cm]	y [cm]
12	-10	29
13	-10	85
14	-27.5	88
15	-27.5	100
16	-120	100

**Armatura Precompressione**

N° cavi: 5 Zoom

N°	As [cm²]	x [cm]	y [cm]	$\sigma_{sp}$ [MPa]
1	9.29	0	6	1080
2	11.148	0	10	1080
3	5.574	0	14	1080
4	3.716	0	18	1080
5	3.716	0	22	1080

**Sollecitazioni S.L.U.**

Metodo n

$N_{Ed}$  0 kN  
 $M_{xEd}$  4797 kNm  
 $M_{yEd}$  0 kNm

**P.to applicazione N**

Centro  Baricentro cls  
 Coord.[cm] xN 0 yN 0

**Metodo di calcolo**

S.L.U. +  S.L.U. -  Metodo n

**Tipo flessione**

Retta  Deviata

**Materiali**

**FeB44k** **C32/40**

$E_{su}$  67.5 %  $E_{c2}$  2 %  
 $f_{yd}$  373.9 N/mm²  $E_{cu}$  3.5  
 $E_s$  200,000 N/mm²  $f_{cd}$  18.13  
 $E_s/E_c$  15  $f_{cc}/f_{cd}$  0.8  
 $E_{syd}$  1.87 %  $\sigma_{c,adm}$  12.25  
 $\sigma_{s,adm}$  255 N/mm²  $f_{co}$  0.7333  
 $f_{ct}$  2.114

**M**  $M_{xRd}$  4,788 kNm  
 $\sigma_c$  -18.13 N/mm²  
 $\sigma_s$  -373.9 N/mm²  
 $\epsilon_c$  3.5 ‰  
 $\epsilon_s$  -2.06 ‰  
 $d$  114 cm  
 $x$  12.16  $x/d$  0.1066  
 $\delta$  0.7

**Calcola MRd** **Dominio M-N**  
 $L_0$  0 cm **Col. modello**

Precompresso

**Tipo cavo**

**TrefEist**

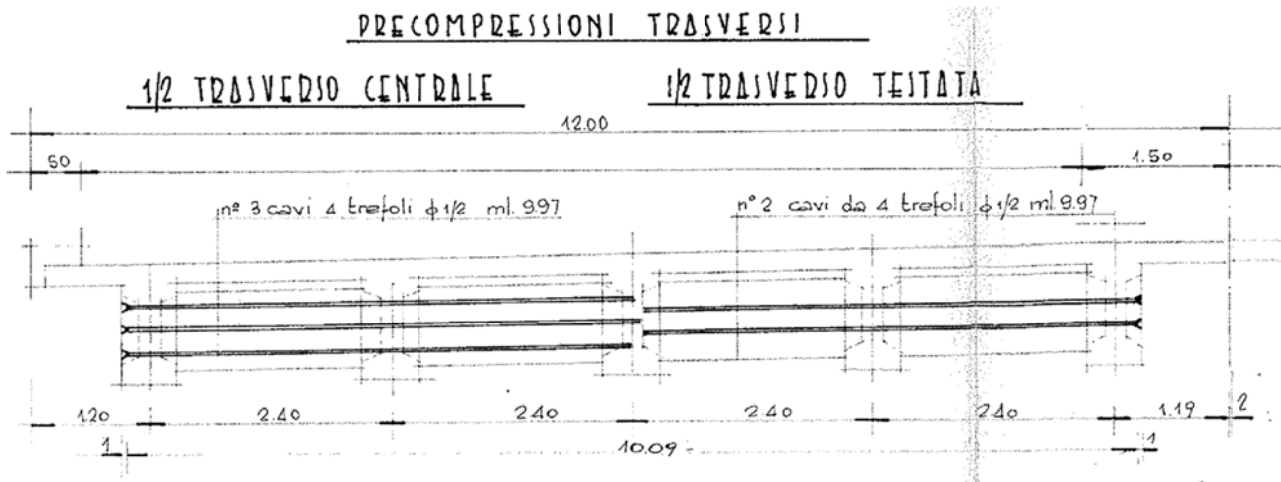
$\epsilon_{su}$  67.5 %  
 $f_{yd}$  1388 N/mm²  
 $E_s/E_c$  6  
 $E_{syd}$  6.94 %  
 $\sigma_{s,adm}$  1280 N/mm²

$\sigma_{sp}$  1,388 N/mm²  
 $\epsilon_{sp}$  34.72 ‰ compressa predef.

$M_{ed_{SLU}} = 4797 \text{ kNm}$      $M_{rd_{SLU}} = 4790 \text{ kNm}$     c.s. = 1.00 circa

Si sono assunte le caratteristiche resistenti del calcestruzzo meno performanti tra la soletta e le travi in CAP. Si evidenzia che, con riferimento alle caratteristiche del calcestruzzo riportate nella relazione di calcolo originaria e quelle emerse dalle prove sui materiali, per la verifica della trave esistente e al fine di evitare inutili interventi di rinforzo, si è assunta come resistenza del calcestruzzo quella della classe C32/40. Questo in virtù del livello di conoscenza LC3 a cui si potrà tendere estendendo la campagna di indagini preliminarmente allo sviluppo del progetto esecutivo e, quindi, utilizzando in luogo della resistenza caratteristica la resistenza media emersa dalle prove di laboratorio. Si è comunque mantenuto il coefficiente di sicurezza  $\gamma_c = 1.50$  per cautela, pur essendo la crisi a flessione una crisi di tipo duttile.

Traversi di campata



Traversi di campata

L'armatura dedicata al traverso, tratta dal progetto di archivio e costituita da cavi di post-tensione, è pari a:

$A_{SPREC} = 3$  cavi da 4 trefoli da 0.5" ciascuno

Per quanto al traverso di campata che risulta il più sollecitato. I traversi non sono connessi alla soletta.

Sezione traverso precompresso:

$A_{STREFOLO}$ (mmq)	$n_{TREFOLI\_TOT}$ (-)	$A_{STREFOLO\_TOT}$ (mmq)
93	12	1116

Momento massimo positivo:

**Verifica C.A. S.L.U. - File: TraversoEsist**

File Materiali Opzioni Visualizza Progetto Sez. Rett. Sismica Normativa: NTC 2008 2

**Titolo:** Traverso Esistente - Ponte scolo Tombe

N° figure elementari  Zoom N° strati barre  Zoom

N°	b [cm]	h [cm]
1	30	78

**Tipo Sezione**  
 Rettan.re  Trapezi  
 a T  Circolare  
 Rettangoli  Coord.

**Armatura Precompressione**  
 N° strati cavi  Zoom

N°	As [cm²]	d [cm]	$\sigma_{sp}$ [N/mm²]
1	3.72	13	1050
2	3.72	41	1050
3	3.72	69	1050

**Sollecitazioni**  
 S.L.U. Metodo n

N<sub>Ed</sub>  kN  
 M<sub>xEd</sub>  kNm  
 M<sub>yEd</sub>  kNm

**P.to applicazione N**  
 Centro  Baricentro cls  
 Coord. [cm] xN  yN

**Tipo rottura**  
 Lato calcestruzzo - Cavo snervato

**Metodo di calcolo**  
 S.L.U.+  S.L.U.-  
 Metodo n

**Tipo flessione**  
 Retta  Deviata

**Materiali**  
**FeB44k** **C25/30**  
 $\epsilon_{su}$   ‰  $\epsilon_{c2}$   ‰  
 $f_{yd}$   N/mm²  $\epsilon_{cu}$   ‰  
 $E_s$   N/mm²  $f_{cd}$   N/mm²  
 $E_s/E_c$    $f_{cc}/f_{cd}$   ?  
 $\epsilon_{syd}$   ‰  $\sigma_{c,adm}$   N/mm²  
 $\sigma_{s,adm}$   N/mm²  $\tau_{co}$   N/mm²  
 $\tau_{c1}$   N/mm²

**M**  $M_{xRd}$   kNm  
 $\sigma_c$   N/mm²  
 $\sigma_s$   N/mm²  
 $\epsilon_c$   ‰  
 $\epsilon_s$   ‰  
 d  cm  
 x  x/d   
 $\delta$

**Calcola MRd** **Dominio M-N**  
 L<sub>0</sub>  cm Col. modello

**Tipo cavo**  
 TrEsistEqu  
 $\epsilon_{su}$   ‰  
 $f_{yd}$   N/mm²  
 $E_s/E_c$   ‰  
 $\epsilon_{syd}$   ‰  
 $\sigma_{s,adm}$   N/mm²

$\sigma_{sp}$   N/mm²  
 $\epsilon_{sp}$   ‰ compressa predef.

Precompresso

Med<sub>SLU</sub> = 279 kNm, Ned<sub>SLU</sub> = -935 kN (Trazione) Mrd<sub>SLU</sub> = 180 kNm c.s. = 0.64

La verifica non è soddisfatta, occorre rinforzare i traversi. Si prevedono 2 barre integrative  $\Phi 26$  ad intradosso.

**Verifica C.A. S.L.U. - File: TraversoEsistRinforzato**

File Materiali Opzioni Visualizza Progetto Sez. Rett. Sismica Normativa: NTC 2008 ?

**Titolo:** Traverso Esistente - Ponte scolo Tombe

N° figure elementari **2** Zoom N° strati barre **1** Zoom

N°	b [cm]	h [cm]
1	30	58
2	60	20

N°	As [cm²]	d [cm]
1	10.62	68

**Tipo Sezione**  
 Rettan.re  Trapezi  
 a T  Circolare  
 Rettangoli  Coord.

**Armatura Precompressione**  
 N° strati cavi **3** Zoom

N°	As [cm²]	d [cm]	$\sigma_{sp}$ [N/mm²]
1	3.72	13	1050
2	3.72	41	1050
3	3.72	69	1050

**Sollecitazioni**  
 S.L.U. Metodo n

N<sub>Ed</sub> -935 0 kN  
 M<sub>xEd</sub> 279 0 kNm  
 M<sub>yEd</sub> 0 0

**P.to applicazione N**  
 Centro  Baricentro cls  
 Coord.[cm] xN 0 yN 2

**Tipo rottura**  
 Lato calcestruzzo - Cavo snervato

**Materiali**  
**B450C** **C25/30**  
 $\epsilon_{su}$  67.5 ‰  $\epsilon_{c2}$  2 ‰  
 $f_{yd}$  391.3 N/mm²  $\epsilon_{cu}$  3.5 ‰  
 $E_s$  200,000 N/mm²  $f_{cd}$  14.17  
 $E_s/E_c$  15  $f_{cc}/f_{cd}$  0.8  
 $\epsilon_{syd}$  1.957 ‰  $\sigma_{c,adm}$  9.75  
 $\sigma_{s,adm}$  255 N/mm²  $t_{co}$  0.6  
 $t_{cl}$  1.829

**M**  $M_{xRd}$  413.5 kN m  
 $\sigma_c$  -14.17 N/mm²  
 $\sigma_s$  391.3 N/mm²  
 $\epsilon_c$  3.5 ‰  
 $\epsilon_s$  8.556 ‰  
 d 69 cm  
 x 19.74 x/d 0.2861  
 $\delta$  0.7976

**Metodo di calcolo**  
 S.L.U.+  S.L.U.-  
 Metodo n

**Tipo flessione**  
 Retta  Deviata

N° rett. 100  
 Calcola MRd Dominio M-N  
 L<sub>0</sub> 0 cm Col. modello

Precompresso

**Tipo cavo**  
 TrEquivlte  
 $\epsilon_{su}$  67.5 ‰  
 $f_{yd}$  1,206 N/mm²  
 $E_s/E_c$  6  
 $\epsilon_{syd}$  6.03 ‰  
 $\sigma_{s,adm}$  1050 N/mm²

$\sigma_{sp}$  1,206 N/mm²  
 $\epsilon_{sp}$  13.98 ‰ compresa predef.

Med<sub>SLU</sub> = 279 kNm, Ned<sub>SLU</sub> = -935 kN (Trazione)

Mrd<sub>SLU</sub> = 414 kNm

c.s. = 1.48

Momento minimo negativo:

**Verifica C.A. S.L.U. - File: TraversoEsist**

File Materiali Opzioni Visualizza Progetto Sez. Rett. Sismica Normativa: NTC 2008 ?

**Titolo:** Traverso Esistente - Ponte scolo Tombe

N° figure elementari: 1 Zoom N° strati barre: 0 Zoom

N°	b [cm]	h [cm]
1	30	78

**Tipo Sezione:**  
 Rettan.re  Trapezi  
 a T  Circolare  
 Rettangoli  Coord.

**Armatura Precompressione**  
 N° strati cavi: 3 Zoom

N°	As [cm²]	d [cm]	$\sigma_{sp}$ [N/mm²]
1	3.72	13	1050
2	3.72	41	1050
3	3.72	69	1050

**Sollecitazioni S.L.U. Metodo n**

N <sub>Ed</sub>	120	0	kN
M <sub>xEd</sub>	-120	0	kNm
M <sub>yEd</sub>	0	0	

**P.to applicazione N**  
 Centro  Baricentro cls  
 Coord.[cm] xN 0 yN 0

**Tipo rottura**  
 Lato calcestruzzo - Cavo snervato

**Metodo di calcolo**  
 S.L.U.+  S.L.U.-  
 Metodo n

**Tipo flessione**  
 Retta  Deviata

**Materiali**  
 FeB44k C25/30

$\epsilon_{su}$	67.5	$\epsilon_{c2}$	2
$f_{yd}$	373.9	$\epsilon_{cu}$	3.5
$E_s$	200,000	$f_{cd}$	14.17
$E_s/E_c$	15	$f_{cc}/f_{cd}$	0.8
$\epsilon_{syd}$	1.87	$\sigma_{c,adm}$	9.75
$\sigma_{s,adm}$	255	$\tau_{cd}$	0.6
		$\tau_{c1}$	1.829

**M<sub>xRd</sub>** -346.3 kN m

$\sigma_c$  -14.17 N/mm<sup>2</sup>  
 $\sigma_s$  N/mm<sup>2</sup>  
 $\epsilon_c$  3.5 ‰  
 $\epsilon_s$  ‰  
 d 65 cm  
 x 34.61 x/d 0.5325  
 $\delta$  1

**Tipo cavo**  
 TrEsistEqu  
 $\epsilon_{su}$  67.5 ‰  
 $f_{yd}$  1,249 N/mm<sup>2</sup>  
 $E_s/E_c$  6  
 $\epsilon_{syd}$  6.245 ‰  
 $\sigma_{s,adm}$  1050 N/mm<sup>2</sup>

$\sigma_{sp}$  1,249 N/mm<sup>2</sup>  
 $\epsilon_{sp}$  8.323 ‰ compressa predef.

**Calcola MRd** **Dominio M-N**  
 L<sub>0</sub> 0 cm Col. modello

Precompresso

Med<sub>SLU</sub> = -120 kNm, Ned<sub>SLU</sub> = -935 kN (Compressione) Mrd<sub>SLU</sub> = -346 kNm c.s. = 2.88

La verifica è soddisfatta.



### 7.2.2 Impalcato nuovo in allargamento

Campata unica  $L_{CALC} = 19.20$  m – Travi principali

Trefoli in acciaio in travi nuove - H90 cm

$\Phi$	$A_{TR}$	$f_{yk}$	$f_{yd}$	$f_{uk}$	$n_{TOT-TREFOLI}$	$\sigma_{SPI}$
(")	(mm <sup>2</sup> )	(MPa)	(MPa)	(MPa)	(-)	(MPa)
0.6	139	1670	1452	1860	50	1488

**Verifica C.A. S.L.U. - File: CanNavileALV90\_Mezzeria**

File Materiali Opzioni Visualizza Progetto Sez. Rett. Sismica Normativa: NTC 2008

**Titolo:** SezMezzeria Travi nuove - Diversivo Navile

**N\* Vertici:** 26 Zoom

N*	x [cm]	y [cm]
1	0	16
2	0	0
3	120	0
4	120	12
5	54	16
6	48	21

**N\* barre:** 24 Zoom

N*	As [cm <sup>2</sup> ]	x [cm]	y [cm]
1	1.130973	-110	111
2	1.130973	-90	111
3	1.130973	-70	111
4	1.130973	-50	111
5	1.130973	-30	111
6	1.130973	-10	111

**Armatura Precompressione**

**N\* cavi:** 4 Zoom

N*	As [cm <sup>2</sup> ]	x [cm]	$\sigma_y$ [MPa]	$\sigma_{sp}$ [MPa]
1	36.14	0	5	1080
2	22.24	0	10	1080
3	5.56	0	15	1080
4	5.56	0	80	1080

**Sollecitazioni S.L.U. Metodo n**

$N_{Ed}$  0 kN  
 $M_{xEd}$  6271 kNm  
 $M_{yEd}$  0 kNm

**P.to applicazione N**

Centro  Baricentro cls  
 Coord.[cm] xN 0 yN 0

**Materiali**

**B450C**  $\epsilon_{su}$  67.5%  $f_{yd}$  391.3 N/mm<sup>2</sup>  $E_s$  200,000 N/mm<sup>2</sup>  $\epsilon_{syd}$  1.957%  $\sigma_{s,adm}$  255 N/mm<sup>2</sup>

**C35/45**  $\epsilon_{c2}$  2%  $\epsilon_{cu}$  3.5%  $f_{cd}$  19.83  $f_{cc}/f_{cd}$  0.8  $\sigma_{c,adm}$  13.5  $\tau_{co}$  0.8  $\tau_{ci}$  2.257

**Metodo di calcolo**

S.L.U.+  S.L.U.-  Metodo n

**Tipo flessione**

Retta  Deviata

**Tipo rottura**

Lato calcestruzzo - Cavo snervato

$M_{xRd}$  9,101 kNm  
 $\sigma_c$  -19.83 N/mm<sup>2</sup>  
 $\sigma_s$  -190.5 N/mm<sup>2</sup>  
 $\epsilon_s$  -0.9527%  
 $d$  111 cm  
 $x$  23.36  $x/d$  0.2104  $\delta$  0.703

**Tipo cavo**

Trefolo  $\epsilon_{su}$  67.5%  $f_{yd}$  1,409 N/mm<sup>2</sup>  $E_s/E_c$  6  $\epsilon_{syd}$  7.045%  $\sigma_{s,adm}$  1080 N/mm<sup>2</sup>

$\sigma_{sp}$  1,409 N/mm<sup>2</sup>  
 $\epsilon_{sp}$  18.53% compressa predef.

**Calcola MRd**  **Dominio M-N**

$L_0$  0 cm  **Col. modello**

Precompresso

$Med_{SLU} = 6271$  kNm     $Mrd_{SLU} = 9101$  kNm    c.s.= 1.45

Si sono assunte le caratteristiche resistenti del calcestruzzo della soletta in quanto la porzione soggetta a compressione è appartenente a ques'ultima.

### 7.3 Verifiche S.L.U. per azioni taglianti

La verifica di resistenza a taglio in condizioni ultime (SLU-STR) di una sezione in c.a. consiste nel soddisfacimento della seguente disuguaglianza:

$$V_{Ed} \leq V_{Rd}$$

dove:

$V_{Ed}$  = azione tagliante sollecitante di calcolo, valutata sotto la combinazione SLU-STR;

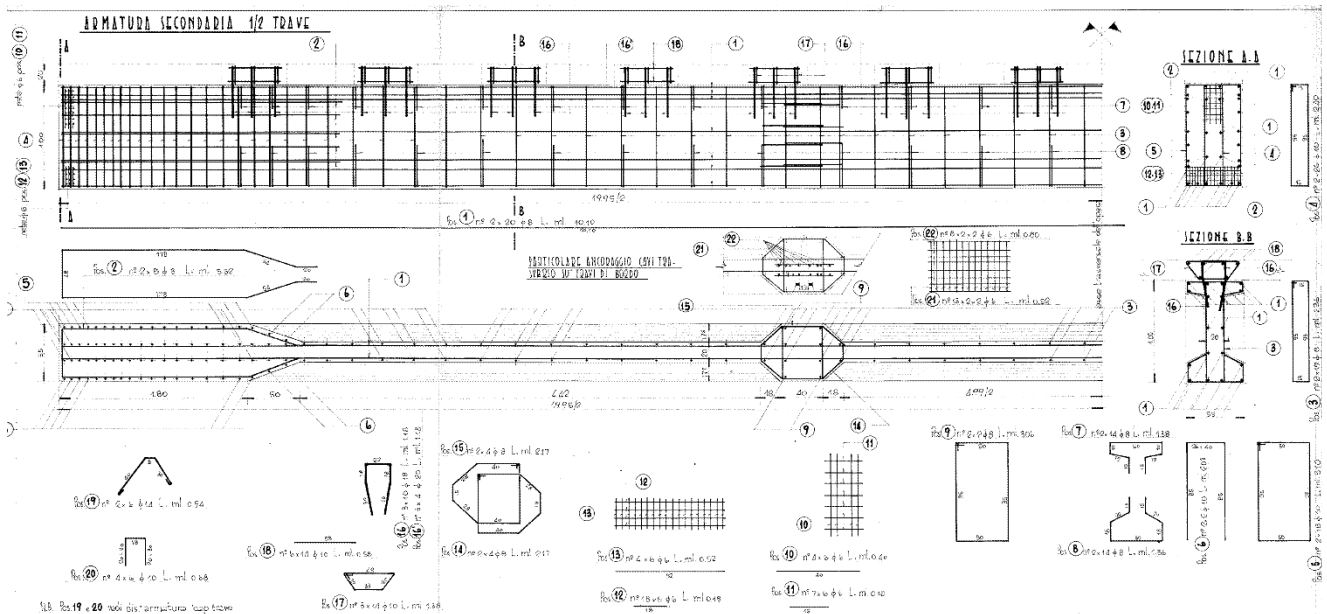
$V_{Rd}$  = azione tagliante resistente.

La resistenza a taglio  $V_{Rd}$  viene calcolata con riferimento all'elemento dotato di un'armatura resistente a taglio. La resistenza a taglio è la minima fra la resistenza di calcolo a "taglio trazione", riferita all'armatura dedicata, e quella a "taglio compressione", associata al nucleo in calcestruzzo.

Le caratteristiche dei materiali assunte nelle verifiche a taglio sono quelle proprie delle travi in quanto a queste compete la quasi totalità delle azioni di compressione del traliccio ideale di "Morsh".

### 7.3.1 Impalcato esistente

Campata unica  $L_{CALC} = 19.20$  m



Si identificano tre sezioni significative di verifica al taglio:

- Sezione di appoggio Φ10/15 4 braccia
- Sezione di fine ringrosso (se presente) o a circa 1.00 m da appoggio Φ10/25 (Φ8/40) 2 braccia
- Sezione in campata Φ8/40 2 braccia

La sezione di fine ringrosso si verifica cautelativamente con le staffe identificabili in sezioni appena adiacenti e pari a Φ8/40 2 braccia.

Sezione di appoggio:

**Verifica a taglio-Torsione di elementi in calcestruzzo**

(NTC 2008; 4.1.2.1.3, 4.1.2.1.4)

Caratteristiche materiali:

$f_{ck}$	$f_{yk}$	$\gamma_s$	$\gamma_c$	$\alpha_{cc}$	$f_{ctk}$	$f_{ctd}$	$f_{cd}$	$f_{yd}$
(Mpa)	(Mpa)	(-)	(-)	(-)	(Mpa)	(Mpa)	(Mpa)	(Mpa)
32	440	1.15	1.5	0.85	2.12	1.41	18.13	383

Geometria della sezione resistente:

h	bw	c	d
(mm)	(mm)	(mm)	(mm)
1200	550	83	1005

$A_{SLong}$ (TESA)				$A_{S\_Taglio}$				
$\Phi_i$	n	$A_{Si}$	$A_{S\_TOT}$	$\Phi_i$	$n_{BRACCIA}$	$A_{Si}$	passo	$\alpha$
(mm)	(-)	(mm <sup>2</sup> )	(mm <sup>2</sup> )	(mm)	(-)	(mm <sup>2</sup> )	(mm)	(grad)
11	12	1140	1140	10	4	314	150	90
		0	1140	0	2	0	0	0
		0		0		0	0	0

Verifica a Taglio:

Sezione priva di armature resistenti a taglio:

$N_{Ed}$	Ac	$\sigma_{cp}$	$\rho_i$	k	$V_{MIN}$	$V_{Rd}$
(kN)	(mm <sup>2</sup> )	(MPa)	(-)	(-)	(-)	(kN)
0	660000	0.00	0.0021	1.4460	0.3443	190.36

Sezione con armature trasversali resistenti a taglio:

$\theta$	$N_{Ed}$	$\sigma_{cp}$	$\alpha_c$	$f_{cd}$	$V_{Rsd}$	$V_{Rcd}$	$V_{Rd}$
(grad)	(kN)	(MPa)	(-)	(Mpa)	(kN)	(kN)	(kN)
35	0	0	1.0000	9.07	1035.44	2119.85	1035.44

$V_{edSLU} = 973 \text{ kN}$        $V_{rdSLU} = 1035 \text{ kN}$       c.s. = 1.06

Si è assunta la biella compressa con inclinazione  $\theta = 35^\circ$ . In progetto non si hanno informazioni relative all'armatura posta al lembo inferiore della trave in prossimità della sezione di appoggio; si sono assunti presenti quindi i trefoli aderenti, necessari per assorbire la componente orizzontale dell'azione tagliante, ottenendo  $n_{TREF} = 12$ . Si rimanda allo sviluppo del progetto esecutivo la verifica in situ della presenza di tale minima armatura efficace e, qualora non risultasse soddisfatta tale ipotesi, sarebbe necessario prevedere una integrazione ad intradosso trave in prossimità degli appoggi.

Il valore assunto per "c" identifica, cautelativamente, la distanza dal lembo inferiore della trave in CAP del baricentro dei cavi di precompressione.

**Sezione di fine ringrosso:**

**Verifica a taglio-Torsione di elementi in calcestruzzo**

(NTC 2008; 4.1.2.1.3, 4.1.2.1.4)

Caratteristiche materiali:

$f_{ck}$	$f_{yk}$	$\gamma_s$	$\gamma_c$	$\alpha_{cc}$	$f_{ctk}$	$f_{ctd}$	$f_{cd}$	$f_{yd}$
(Mpa)	(Mpa)	(-)	(-)	(-)	(Mpa)	(Mpa)	(Mpa)	(Mpa)
32	440	1.15	1.5	0.85	2.12	1.41	18.13	383

Geometria della sezione resistente:

h	bw	c	d
(mm)	(mm)	(mm)	(mm)
1200	200	83	1005

$A_{SLong}$ (TESA)				$A_{S\_Taglio}$				
$\Phi_i$	n	$A_{Si}$	$A_{S\_TOT}$	$\Phi_i$	$n_{BRACCIA}$	$A_{Si}$	passo	$\alpha$
(mm)	(-)	(mm <sup>2</sup> )	(mm <sup>2</sup> )	(mm)	(-)	(mm <sup>2</sup> )	(mm)	(grad)
11	12	1140	1140	8	2	101	400	90
		0	1140	0	2	0	0	0
		0				0	0	

Verifica a Taglio:

Sezione prive di armature resistenti a taglio:

$N_{Ed}$	$A_c$	$\sigma_{cp}$	$\rho_i$	k	$V_{MIN}$	$V_{Rd}$
(kN)	(mm <sup>2</sup> )	(MPa)	(-)	(-)	(-)	(kN)
2126	240000	3.63	0.0057	1.4460	0.3443	201.06

Sezione con armature trasversali resistenti a taglio:

$\theta$	$N_{Ed}$	$\sigma_{cp}$	$\alpha_c$	$f_{cd}$	$V_{Rsd}$	$V_{Rcd}$	$V_{Rd}$
(grad)	(kN)	(MPa)	(-)	(Mpa)	(kN)	(kN)	(kN)
22	2126	3.626667	1.2000	9.07	215.34	683.81	215.34

$V_{edSLU} = (774-256) = 518$  kN     $V_{rdSLU} = 215$  kNm    c.s.= 0.42 – Necessita rinforzo.

Si è assunta la biella compressa con inclinazione  $\theta = 22^\circ$ . Il valore assunto per “c” identifica, cautelativamente, la distanza dal lembo inferiore della trave in CAP del baricentro dei cavi di precompressione.

Per la determinazione del taglio agente di competenza delle staffe, si è depurato dal valore di calcolo la componente assorbita dai cavi di precompressione, in virtù della loro inclinazione.

Si sono distinti i fasci i cavi appartenenti al gruppo degli “aderenti” (A) da quelli degli “scorrevoli” (B).

Sezione di fine ringrosso:

Inclinazione trefoli collaboranti al taglio dall'orizzontale:

Trefoli A			Trefoli B				
$Tg(\alpha)$	$\alpha$	$\alpha$	$\alpha$	$\alpha$			
(-)	(rad)	(grad)	(rad)	(grad)			
0.1011	0.1007	5.7707	0.611	35			
$\sigma_{AMM\_TREFOLI}$	$\Phi_{CAVI}$	$\sigma_{CALCOLO\_TREFOLI}$	$A_{STREFOLO}$	$n_{A-TR\_INCLINATI}$	$n_{B-TR\_INCLINATI}$	$n_{TR\_ORIZZONTALI}$	
(Mpa)	(-)	(Mpa)	(mmq)	(-)	(-)	(-)	
1050	0.75	787.5	93	12	4	12	
$V_{CAVI}$	$N_{CAVI}$						
(kN)	(kN)						
256	1993						

Si è ottenuto  $V_{Rd\_CAVI} = 256$  kN

Occorre prevedere rinforzo a taglio per l'intera estensione delle travi esistenti, al netto dei ringrossi di estremità.

Si ipotizzano rinforzi con barre verticali integrative e inghisaggio alle estremità nel bulbo inferiore e in soletta; tale soluzione dovrà essere meglio definita in fase di progetto esecutivo con particolare riferimento alle interferenze con i cavi di precompressione esistenti..

**Sezione in campata:**

**Verifica a taglio-Torsione di elementi in calcestruzzo**

(NTC 2008; 4.1.2.1.3, 4.1.2.1.4)

Caratteristiche materiali:

$f_{ck}$	$f_{yk}$	$\gamma_s$	$\gamma_c$	$\alpha_{cc}$	$f_{ctk}$	$f_{ctd}$	$f_{cd}$	$f_{yd}$
(Mpa)	(Mpa)	(-)	(-)	(-)	(Mpa)	(Mpa)	(Mpa)	(Mpa)
32	440	1.15	1.5	0.85	2.12	1.41	18.13	383

Geometria della sezione resistente:

h	bw	c	d
(mm)	(mm)	(mm)	(mm)
1200	200	83	1005

$A_{SLong}$ (TESA)				$A_{S\_Taglio}$				
$\Phi_i$	n	$A_{Si}$	$A_{S\_TOT}$	$\Phi_i$	$n_{BRACCIA}$	$A_{Si}$	passo	$\alpha$
(mm)	(-)	(mm <sup>2</sup> )	(mm <sup>2</sup> )	(mm)	(-)	(mm <sup>2</sup> )	(mm)	(grad)
11	12	1140	1140	8	2	101	400	90
		0	1140	0	2	0	0	0
		0				0	0	

Verifica a Taglio:

Sezione prive di armature resistenti a taglio:

$N_{Ed}$	$A_c$	$\sigma_{cp}$	$\rho_i$	k	$v_{MIN}$	$V_{Rd}$
(kN)	(mm <sup>2</sup> )	(MPa)	(-)	(-)	(-)	(kN)
0	240000	0.00	0.0057	1.4460	0.3443	91.69

Sezione con armature trasversali resistenti a taglio:

$\theta$	$N_{Ed}$	$\sigma_{cp}$	$\alpha_c$	$f_{cd}$	$V_{Rsd}$	$V_{Rcd}$	$V_{Rd}$
(grad)	(kN)	(MPa)	(-)	(Mpa)	(kN)	(kN)	(kN)
30	0	0	1.0000	9.07	150.69	710.42	150.69

$V_{edSLU} = 106 \text{ kN}$        $V_{rdSLU} = 151 \text{ kN}$       c.s. = 1.42

Si è assunta la biella compressa con inclinazione  $\theta = 30^\circ$ . Il valore assunto per "c" identifica, cautelativamente, la distanza dal lembo inferiore della trave in CAP del baricentro dei cavi di precompressione.

Traversi in campata:

**Verifica a taglio-Torsione di elementi in calcestruzzo**

(NTC 2008; 4.1.2.1.3, 4.1.2.1.4)

Caratteristiche materiali:

$f_{ck}$	$f_{yk}$	$\gamma_s$	$\gamma_c$	$\alpha_{cc}$	$f_{ctk}$	$f_{ctd}$	$f_{cd}$	$f_{yd}$
(Mpa)	(Mpa)	(-)	(-)	(-)	(Mpa)	(Mpa)	(Mpa)	(Mpa)
35	440	1.15	1.5	0.85	2.25	1.50	19.83	383

Geometria della sezione resistente:

h	bw	c	d
(mm)	(mm)	(mm)	(mm)
780	300	170	549

$A_{SLong}$ (TESA)				$A_{S\_Taglio}$				
$\Phi_i$	n	$A_{Si}$	$A_{S\_TOT}$	$\Phi_i$	$n_{BRACCIA}$	$A_{Si}$	passo	$\alpha$
(mm)	(-)	(mm <sup>2</sup> )	(mm <sup>2</sup> )	(mm)	(-)	(mm <sup>2</sup> )	(mm)	(grad)
10	4	314	314	8	2	101	200	90
		0	314	0	2	0	0	0
		0		0		0	0	

Verifica a Taglio:

Sezione prive di armature resistenti a taglio:

$N_{Ed}$	$A_c$	$\sigma_{cp}$	$\rho_i$	k	$v_{MIN}$	$V_{Rd}$
(kN)	(mm <sup>2</sup> )	(MPa)	(-)	(-)	(-)	(kN)
0	234000	0.00	0.0019	1.6036	0.4205	69.25

Sezione con armature trasversali resistenti a taglio:

$\theta$	$N_{Ed}$	$\sigma_{cp}$	$\alpha_c$	$f_{cd}$	$V_{Rsd}$	$V_{Rcd}$	$V_{Rd}$
(grad)	(kN)	(MPa)	(-)	(Mpa)	(kN)	(kN)	(kN)
27	0	0	1.0000	9.92	186.50	594.61	186.50

$V_{edSLU} = 174 \text{ kN}$

$V_{rdSLU} = 187 \text{ kN}$

c.s. = 1.07

Si è assunta la biella compressa con inclinazione  $\theta = 27^\circ$ .



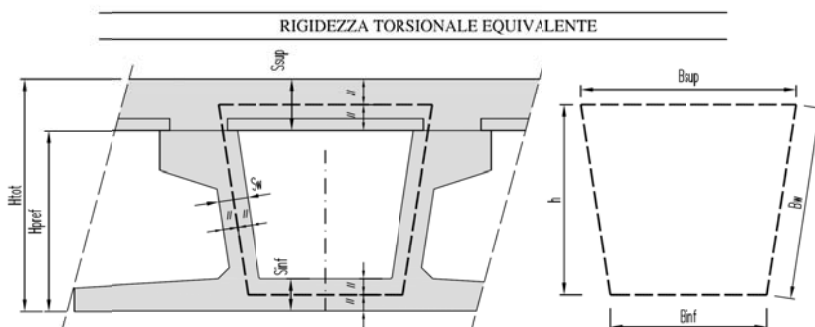
### 7.3.2 Impalcato nuovo in allargamento

Per la valutazione dell'effetto indotto sulle anime delle travi a cassoncino dal momento torcente e dal taglio, si procede assumendo la resistenza al taglio data dalla larghezza complessiva delle due anime con le relative staffe e si considera, secondo le indicazioni normative, la sezione mono-cellulare cava resistente a torsione con riferimento allo spessore della crosta resistente pari a quella minore tra i quattro lati del cassoncino.

Si combinano poi gli effetti.

In dettaglio, con riferimento allo schema seguente

**Rigidità torsionale equivalente (cassoncini a parete sottile):**



Materiali:

	fck (Mpa)	E (Mpa)	v (-)	G (Mpa)
Trave	45	36283	0.2	15118
Getto soletta-Traversi	35	34077	0.2	14199

Geometria della sezione:

	Soletta			Trave Pref.				Rigidità torsionale	
	S <sub>SUP</sub> (m)	S* <sub>SUP</sub> (m)	B <sub>SUP</sub> (m)	S <sub>INF</sub> (m)	B <sub>INF</sub> (m)	S <sub>W</sub> (m)	H <sub>PIEF</sub> (m)	K (m <sup>4</sup> )	K/2 (m <sup>4</sup> )
H=90	0.26	0.24	1.07	0.16	0.78	0.144	0.9	0.13665	0.06832

Campata unica  $L_{CALC} = 19.20m$

Si identificano due sezioni rappresentative di verifica al taglio per la stima dell'armatura necessaria:

- Sezione di appoggio
- Sezione di fine ringrosso (se presente) a circa 1.00 m da appoggio

**Sezione di appoggio:**

**Verifica a taglio-Torsione di elementi in calcestruzzo**

(NTC 2008; 4.1.2.1.3, 4.1.2.1.4)

Caratteristiche materiali:

$f_{ck}$	$f_{yk}$	$\gamma_s$	$\gamma_c$	$\alpha_{cc}$	$f_{ctk}$	$f_{ctd}$	$f_{cd}$	$f_{yd}$
(Mpa)	(Mpa)	(-)	(-)	(-)	(Mpa)	(Mpa)	(Mpa)	(Mpa)
45	450	1.15	1.5	0.85	2.66	1.77	25.50	391

Geometria della sezione resistente:

h	bw	c	d
(mm)	(mm)	(mm)	(mm)
1130	288	50	972

$A_{SLong}$ (TESA)				$A_{S\_Taglio}$				
$\Phi_i$	n	$A_{Si}$	$A_{S\_TOT}$	$\Phi_i$	$n_{BRACCIA}$	$A_{Si}$	passo	$\alpha$
(mm)	(-)	(mm <sup>2</sup> )	(mm <sup>2</sup> )	(mm)	(-)	(mm <sup>2</sup> )	(mm)	(grad)
20	10	3142	3142	14	2	308	200	90
		0		14	2	308	200	90
		0				0	0	

Verifica a Taglio:

Sezione prive di armature resistenti a taglio:

$N_{Ed}$	$A_c$	$\sigma_{cp}$	$\rho_i$	k	$V_{MIN}$	$V_{Rd}$
(kN)	(mm <sup>2</sup> )	(MPa)	(-)	(-)	(-)	(kN)
0	325440	0.00	0.0112	1.4536	0.4115	180.49

Sezione con armature trasversali resistenti a taglio:

$\theta$	$N_{Ed}$	$\sigma_{cp}$	$\alpha_c$	$f_{cd}$	$V_{Rsd}$	$V_{Rcd}$	$V_{Rd}$
(grad)	(kN)	(MPa)	(-)	(Mpa)	(kN)	(kN)	(kN)
40	0	0	1.0000	12.75	1255.99	1581.73	1255.99

Verifica ad azioni torcenti (SEZIONE LORDA DEL CASSONCINO TORSIORESISTENTE):

$A_{SLong}$ (TORSIONE)				$A_{S\_Torsione}$			
$\Phi_i$	n	$A_{Si}$	$A_{SLong\_TOT}$	$\Phi_i$	$n_{BRACCIA}$	$A_{Si}$	passo
(mm)	(-)	(mm <sup>2</sup> )	(mm <sup>2</sup> )	(mm)	(-)	(mm <sup>2</sup> )	(mm)
14	14	2155	2155	10	2	79	200
		0				0	0
		0				0	0

$u_m$	$A_c$	u	t	A
(mm)	(mm <sup>2</sup> )	(mm)	(mm)	(mm <sup>2</sup> )
3822	1207970	4398	144	912050

$T_{Rcd}$	$T_{Rsd}$	$T_{Rld}$	$T_{Rd}$	$N_{Rld-TRAZIONE}$
(kNm)	(kNm)	(kNm)	(kNm)	(kN)
1649.08	334.05	337.72	334.05	626.76

Verifica per sollecitazioni composte (taglio-torsione):

$V_{Ed}$	$T_{Ed}$	$V_{Rdc}$	$T_{Rdc}$	<b>C.S. VERIF. COMPOSTA</b>
(kN)	(kNm)	(kN)	(kNm)	
1103.00	251.00	1581.73	1649.08	
(-)				
<b>0.85</b>				Ver. CLS soddisfatta

$V_{edSLU} = 1103$  kN       $V_{rdSLU} = 1255$  kN       $T_{edSLU} = 251$  kNm       $T_{rdSLU} = 334$  kNm

c.s. (coefficiente di sfruttamento del CLS) = 0.85

Si è assunta la biella compressa con inclinazione  $\theta = 40^\circ$ ; il massimo valore del taglio e del momento torcente (cautelativamente).

**Sezione di fine ringrosso:**

**Verifica a taglio-Torsione di elementi in calcestruzzo**

(NTC 2008; 4.1.2.1.3, 4.1.2.1.4)

Caratteristiche materiali:

$f_{ck}$	$f_{yk}$	$\gamma_s$	$\gamma_c$	$\alpha_{cc}$	$f_{ctk}$	$f_{ctd}$	$f_{cd}$	$f_{yd}$
(Mpa)	(Mpa)	(-)	(-)	(-)	(Mpa)	(Mpa)	(Mpa)	(Mpa)
45	450	1.15	1.5	0.85	2.66	1.77	25.50	391

Geometria della sezione resistente:

h	bw	c	d
(mm)	(mm)	(mm)	(mm)
1130	288	50	972

$A_{SLong}$ (TESA)				$A_{S\_Taglio}$				
$\Phi_i$	n	$A_{Si}$	$A_{S\_TOT}$	$\Phi_i$	$n_{BRACCIA}$	$A_{Si}$	passo	$\alpha$
(mm)	(-)	(mm <sup>2</sup> )	(mm <sup>2</sup> )	(mm)	(-)	(mm <sup>2</sup> )	(mm)	(grad)
20	10	3142	3142	14	2	308	200	90
		0		12	2	226	200	90
		0				0	0	

Verifica a Taglio:

Sezione prive di armature resistenti a taglio:

$N_{Ed}$	$A_c$	$\sigma_{cp}$	$\rho_i$	k	$V_{MIN}$	$V_{Rd}$
(kN)	(mm <sup>2</sup> )	(MPa)	(-)	(-)	(-)	(kN)
0	325440	0.00	0.0112	1.4536	0.4115	180.49

Sezione con armature trasversali resistenti a taglio:

$\theta$	$N_{Ed}$	$\sigma_{cp}$	$\alpha_c$	$f_{cd}$	$V_{Rsd}$	$V_{Rcd}$	$V_{Rd}$
(grad)	(kN)	(MPa)	(-)	(Mpa)	(kN)	(kN)	(kN)
40	0	0	1.0000	12.75	1089.38	1581.73	1089.38

Verifica ad azioni torcenti (SEZIONE LORDA DEL CASSONCINO TORSIORESISTENTE):

$A_{SLong}$ (TORSIONE)				$A_{S\_Torsione}$			
$\Phi_i$	n	$A_{Si}$	$A_{SLong\_TOT}$	$\Phi_i$	$n_{BRACCIA}$	$A_{Si}$	passo
(mm)	(-)	(mm <sup>2</sup> )	(mm <sup>2</sup> )	(mm)	(-)	(mm <sup>2</sup> )	(mm)
14	10	1539	1539	10	2	79	250
		0		0	0		
		0		0			

$u_m$	$A_c$	u	t	A
(mm)	(mm <sup>2</sup> )	(mm)	(mm)	(mm <sup>2</sup> )
3822	1207970	4398	144	912050

$T_{Rcd}$	$T_{Rsd}$	$T_{Rld}$	$T_{Rd}$	$N_{Rld-TRAZIONE}$
(kNm)	(kNm)	(kNm)	(kNm)	(kN)
1649.08	267.24	241.23	241.23	387.04

Verifica per sollecitazioni composte (taglio-torsione):

$V_{Ed}$	$T_{Ed}$	$V_{Rdc}$	$T_{Rdc}$	<b>C.S. VERIF. COMPOSTA</b>
(kN)	(kNm)	(kN)	(kNm)	
1056.00	155.00	1581.73	1649.08	
				(-)
				0.76
				Ver. CLS soddisfatta

$V_{edSLU} = 1056$  kN       $V_{rdSLU} = 1089$  kN       $T_{edSLU} = 155$  kNm       $T_{rdSLU} = 241$  kNm

c.s. (coefficiente di sfruttamento del CLS) = 0.76

Si è assunta la biella compressa con inclinazione  $\theta = 40^\circ$ ; il massimo valore del taglio col concomitante del momento torcente.

### 7.4 Verifiche tensionali S.L.E.

Per le verifiche si considerano le seguenti caratteristiche dei materiali

**Caratteristiche materiali**

cls trave		cls soletta		acciaio	
$R_{ck}$	54.22 MPa	$R_{ck}$	42.17 MPa	$E_s$	210000 MPa      armatura lenta
$f_{ck}$	45.00 MPa	$f_{ck}$	35.00 MPa	$E_p$	195000 MPa      trefoli
$\gamma_c$	1.5	$\gamma_c$	1.5	ns	5.83 armatura lenta soletta
$\alpha_{cc}$	0.85	$\alpha_{cc}$	0.85	np	5.42 acciaio precompresso
$f_{cd}$	25.50 MPa	$f_{cd}$	19.83 MPa	nc	0.94 calcestruzzo soletta
$E_{cm}$	36000.00 MPa	$E_{cm}$	34000.00 MPa		

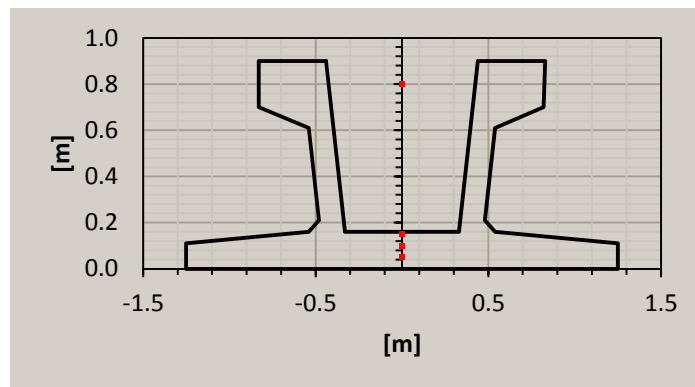
**Calcolo forze equivalenti precompressione aderente**

$A_{trefolo}$	139 mm <sup>2</sup>	Area del trefolo
$f_{ptk}$	1860 MPa	Tensione caratteristica di rottura
$f_{p(1)k}$	1670 MPa	Tensione caratteristica di snervamento all'1% di deformazione
$\sigma_{spi}$	1488 MPa	tensione iniziale
$E_p$	195000.00 MPa	Modulo elastico dell'acciaio da precompressione
t	72 ore	taglio trefoli
$\rho_{1000}$	2.500 %	caduta di tensione per rilassamento
$\mu$	0.800	$f_{ptk}/\sigma_{spi}$
$\Delta\sigma_{pr}$	24 MPa	1.61%

#### 7.4.1 Caratteristiche sezioni di mezzzeria della trave

Campata unica  $L_{CALC} = 19.20$  m

Per la verifica si considerano le seguenti caratteristiche:



Le caratteristiche della soletta presente in fase 2 e 3 sono riportate di seguito:

**Dati soletta**

b	2.40 m	Larghezza soletta
h	0.26 m	spessore soletta
$\phi_{sup}$	12.00 mm	$\phi 12/20$
passo <sub>sup</sub>	200.00 mm	
$n_{b, sup}$	12.00	
$C_{sup}$	35.00 mm	
$\phi_{inf}$	12.00 mm	$\phi 12/20$
passo <sub>inf</sub>	200.00 mm	
$n_{b, inf}$	12.00	
$C_{inf}$	55.00 mm	
$A_{s\ sup}$	0.001357 m <sup>2</sup>	
$A_{s\ inf}$	0.001357 m <sup>2</sup>	

**Caratteristiche geometriche sezione cls**

Ac	0.7076	m <sup>2</sup>
ycg	0.3376	m
lxcg	0.0687	m <sup>4</sup>

**Trefoli**

Ap	0.0056	m <sup>2</sup>
ypg	0.1500	m
lpxg	0.0003	m <sup>4</sup>

**Caratteristiche geometriche sezione cls+trefoli**

A	0.7382	m <sup>2</sup>	
yg	0.3291	m	
lxg	0.0712	m <sup>4</sup>	
Wcinf	-0.2162	m <sup>3</sup>	modulo di resistenza fibra inferiore trave
Wcsup	0.1246	m <sup>3</sup>	modulo di resistenza fibra superiore trave
Wc pg	-0.3647	m <sup>3</sup>	modulo di resistenza fibra in corrispondenza del baricentro trefoli
Wpg	-0.3647	m <sup>3</sup>	modulo di resistenza del baricentro trefoli
Wp inf	-0.2162	m <sup>3</sup>	modulo di resistenza trefoli a quota minima

**Caratteristiche geometriche sezione cls+trefoli+soletta**

A	1.3434	m <sup>2</sup>	
yg	0.6450	m	
lxg	0.2381	m <sup>4</sup>	
Wcinf	-0.3691	m <sup>3</sup>	modulo di resistenza fibra inferiore trave
Wcsup	0.9335	m <sup>3</sup>	modulo di resistenza fibra superiore trave
Wc pg	-0.4659	m <sup>3</sup>	modulo di resistenza fibra in corrispondenza del baricentro trefoli
Wpg	-0.4659	m <sup>3</sup>	modulo di resistenza del baricentro trefoli
Wc sol	0.4622	m <sup>3</sup>	modulo di resistenza fibra superiore soletta
Ws sol	0.4960	m <sup>3</sup>	modulo di resistenza armatura lenta superiore soletta
Wp inf	-0.3691	m <sup>3</sup>	modulo di resistenza trefoli a quota minima

**Sezione trefoli**

A	0.0069500 m <sup>2</sup>
yg	0.1340000 m
lxg	0.0002748 m <sup>4</sup>

**Sezione omogeneizzata**

A	0.73825 m <sup>2</sup>
yg	0.32911 m
lxg	0.07115 m <sup>4</sup>
e	0.19511 m

N <sub>p0</sub>	10341600 N	tiro iniziale	
σ <sub>p,elastica</sub>	106 Mpa		7.1%
σ <sub>p,rilassamento</sub>	24 Mpa		1.6%
ΔN <sub>el</sub>	735653 N	perdita elastica	7.1%
ΔN <sub>pr</sub>	166854 N	perdita da rilassamento	1.6%
ΔN <sub>ist</sub>	902506 N	perdita istantanee	8.7%
N <sub>p</sub>	9439094 N	tiro al netto delle perdite istantanee	
M <sub>p</sub>	1841691 Nm	momento da prec al netto delle perdite istantanee	

**Azioni da precompressione**

N <sub>p</sub>	-9439.09 kN	tiro al netto delle perdite istantanee
M <sub>p</sub>	1841.69 kNm	momento da prec al netto delle perdite istantanee

Per il calcolo delle perdite differite legate a ritiro, viscosità e rilassamento si considerano i parametri:

**Ritiro - calcolo deformazioni da ritiro**

R <sub>bk</sub>	54.22
f <sub>ck</sub> (MPa)	45
f <sub>cm</sub> (MPa)	53
f <sub>cm0</sub> (MPa)	10
RH (%)	80
cls tipo	R
α <sub>ds1</sub>	6
α <sub>ds2</sub>	0.11
RH <sub>0</sub> (%)	100.00
β <sub>RH</sub>	0.76
ε <sub>cd,0</sub>	0.00032
k <sub>h</sub>	0.92
ε <sub>ca(00)</sub>	0.00009
h <sub>0</sub> (mm)	154.00
t <sub>s</sub>	30
t (gg)	25550
β <sub>ds(t-t<sub>s</sub>)</sub>	0.997
ε <sub>cd(t)</sub>	0.00029
β <sub>as(t)</sub>	1.00000
ε <sub>ca(t)</sub>	0.000087
ε <sub>s(t-t<sub>s</sub>)</sub>	3.77E-04

**Calcolo coefficienti di viscosità**

R <sub>bk</sub>	54.22
f <sub>ck</sub> (MPa)	45
f <sub>cm</sub> (MPa)	53
RH (%)	80
cls tipo	R
h <sub>0</sub> (mm)	229.00
α <sub>1</sub>	0.75
α <sub>2</sub>	0.92
α <sub>3</sub>	0.81
β <sub>H</sub>	711.40
Φ <sub>RH</sub>	1.15
β(fcm)	2.31
t <sub>0</sub>	2
t (gg)	25550
β(t <sub>0</sub> )	0.801
β <sub>c(t,t<sub>0</sub>)</sub>	0.992
Φ <sub>0</sub>	2.117
Φ(t,t <sub>0</sub> )	2.099

**Calcolo perdite di precompressione a tempo  $t=\infty$**

Dati general	trave	soletta
<b>Rck</b>	54.22	42.17
<b>fck</b>	45	35
<b>fc m</b>	53	43
<b>Ecm</b>	36283.19	34077.15
<b>Ec</b>	38097.35	
<b>Esp</b>	195000.00	
<b>nc</b>	0.94	
<b>np</b>	5.42	
<b>ns t00</b>	17.94	
<b>Es</b>	210000.00	
<b><math>\Phi(t-t_0)</math></b>	2.10	Coeff. Viscosità
<b><math>\epsilon_{sh}(t-t_s)</math></b>	-0.00038	Coeff. Ritiro
<b><math>\chi</math></b>	0.8	

Le perdite di precompressione differite risultano come di seguito:

	trefoli
$\sigma_{spi}$	1488.000
$\epsilon_{sh}$	-0.00038
$\alpha$	5.374
$\Phi(t-t_0)$	2.099
$\sigma_{c,Qp}$	-12.122
$\sigma_p$	1389.096
$A_p$	6.950E-03
$A_c$	1.343E+00
$I_c$	2.381E-01
$Z_{cp}$	0.511
$f_{ptk}$	1860
<b>A Tinf</b>	<b>500000 ore</b>
$\rho_{1000}$	2.500
$\mu$	0.800
$\Delta\sigma_{pr}$	-84.474
$\Delta\sigma_{p,c+s+r}$	-234.610
$\% \Delta\sigma_{p,c+s+r}$	15.767
<b>Sollecitazioni Equivalenti alle perdite di precompressione</b>	
$\Delta N$	1630.54
$\Delta M$	-833.14

**7.4.2 Tensioni al tiro**

Per il calcolo delle tensioni si considerano le seguenti caratteristiche geometriche:

**Sez. Mezzeria S.L.E. Rara**

Calcolo caratteristiche geometrico-statiche della sezione

	A	yg	Jxx	Wcinf	Wcsup	Wcsup sol	Wc pg	Ws sol	Wpg
sezione cas	0.70755	0.33758	0.06872						
sezione cas	1.34341	0.64496	0.23808						
Trefoli	0.00695	0.13400	0.00027						
cassoncino	0.73825	0.32911	0.07115	-0.21620	0.12464		-0.36468		-0.21620
cassoncino	1.34341	0.64496	0.23808	-0.36914	0.93349	0.46225	-0.46594	0.49595	-0.36914

<b>Sez. Mezz S.L.E. Rara</b>			<b>Step A</b>
	F1 prec.	F1 p.p.	<b>PPtr+Prec.</b>
			<b>Fine fase 1</b>
N	-9439	0	-9439
M <sub>y</sub>	1842	-815	1027
σ <sub>c</sub> inf	-21.3	3.8	<b>-17.5</b>
σ <sub>c</sub> sup	2.0	-6.5	<b>-4.5</b>
σ <sub>c</sub> sup soletta			
σ <sub>s</sub> soletta			
σ <sub>c</sub> pg	-17.8	2.2	<b>-15.6</b>
σ <sub>s</sub> pg	1358.1	12.1	<b>1370.2</b>
σ <sub>s</sub> pinf	1242.7	20.4	<b>1263.2</b>

La sezione risulta interamente compressa.



7.4.3 Tensioni agli S.L.E. (Rara)

Verifica sezione prec. : Sez. Mezz S.L.E. Rara

Riepilogo sollecitazioni di verifica per fasi

Fase	Azione di	sezione	N (kN)	My (kNm)	$\gamma_i$
Fase 1	Precompressione	cassoncino	-9439	1842	1.00
Fase 1	Peso proprio trave	cassoncino	0	-815	1.00
Fase 2	Peso soletta	cassoncino	0	-804	1.00
Fase 3	Permanenti	trave+sol	0	-594	1.00
Fase 4	Mobili TS	trave+sol	0	-2432	1.00
Fase 4	Mobili UDL	trave+sol	0	0	1.00
Fase 5	Perdite differite	trave+sol	1631	-833	

Sez. Mezz S.L.E. Rara		Step A PPtr+Prec.		Step B Step A + P.P.		Step C Step B + Perm.		Step C* Step C + Perdite $t_{inf}$		Mobili	Step D Step C* + Mobili
	F1 prec.	F1 p.p.	Fine fase 1	F2	Fine F2	F3	Fine F3	Perdite differite	Fine F4		Totale finali
N	-9439	0	-9439	0	-9439	0	-9439	1631	-7809	0	-7809
My	1842	-815	1027	-804	223	-594	-371	-833	-1204	-2432	-3636
$\sigma_{c,inf}$	-21.3	3.8	-17.5	3.7	-13.8	1.6	-12.2	3.5	-8.7	6.6	-2.1
$\sigma_{c,sup}$	2.0	-6.5	-4.5	-6.4	-11.0	-0.6	-11.6	0.3	-11.3	-2.6	-13.9
$\sigma_{c,sup,soletta}$						-1.2	-1.2	-0.6	-1.8	-5.0	-6.7
$\sigma_{s,soletta}$						-21.5	-21.5	-8.4	-29.8	-88.0	-117.8
$\sigma_{c,pg}$	-17.8	2.2	-15.6	2.2	-13.4	1.3	-12.1	3.0	-9.1	5.2	-3.9
$\sigma_{s,pg}$	1358.1	12.1	1370.2	11.9	1382.2	6.9	1389.1	-218.4	1170.7	28.3	1199.0
$\sigma_{s,pinf}$	1242.7	20.4	1263.2	20.1	1283.3	8.7	1292.0	-215.8	1076.2	35.7	1111.9

La sezione di calcestruzzo della trave risulta lievemente compressa anche al lembo inferiore, con una massima tensione ( $\sigma_{c,inf} = -13.90$  MPa) inferiore a  $0.60 \cdot f_{ck} = -27$  MPa. La tensione agente nei cavi di precompressione ( $\sigma_{s,pinf} = 1112$  MPa) risulta inferiore allo  $0.80 \cdot f_{p(1)k} = 1336$  MPa e quella massima registrata nell'armatura lenta di soletta ( $\sigma_{s,soletta} = 118$  MPa) è inferiore a  $0.8 \cdot f_{yk} = 360$  MPa.

## 8. Verifica della soletta

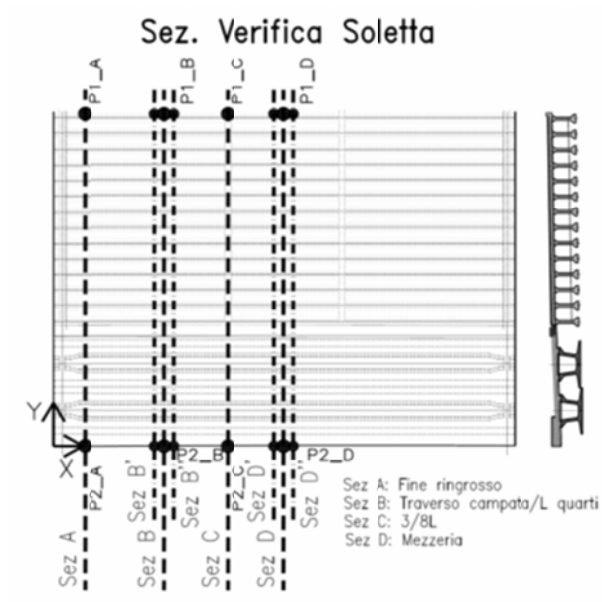
### 8.1 Generalità

Si analizza il comportamento della soletta lungo l'intero sviluppo longitudinale e trasversale, prendendo in conto sia la porzione esistente, sia quella di nuova edificazione sia la "zona di sutura" che garantisce il collegamento tra la porzione attuale e quella in progetto.

Come anticipato nei paragrafi precedenti, la soletta è modellata attraverso elementi tipo "shell" facenti parte del modello numerico complessivo dell'impalcato. In questo modo è possibile cogliere correttamente le sollecitazioni e le deformazioni indotte dall'azione locale dei carichi e/o dal comportamento globale del sistema travi/soletta.

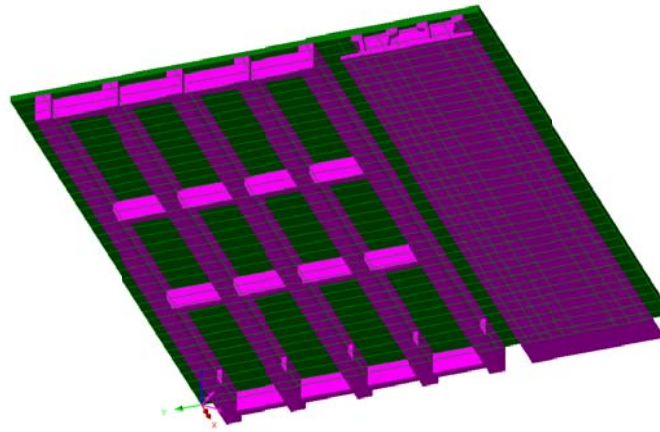
Si evidenzia che, a differenza di quanto avviene nella porzione di impalcato esistente, dove sono presenti traversi in campata ai quali compete la ripartizione dei carichi e la collaborazione tra le travi principali, nella struttura in progetto si prevedono traversi solo in asse appoggi e la ripartizione trasversale è quindi demandata, in toto, alla soletta. La soletta è pure l'unico elemento di cucitura tra l'impalcato esistente e l'allargamento.

In virtù di quanto sopra, si sono individuate sei sezioni di verifica delle sollecitazioni posizionate in metà impalcato in corrispondenza alle aree più sollecitate e in modo da cogliere le sollecitazioni sia in prossimità degli appoggi, sia in campata. La simmetria delle strutture consente di estendere i risultati all'intero impalcato.



*Sezioni di verifica*

Le figure seguenti riportano le configurazioni dei modelli agli elementi finiti.



Modello agli E.F. – Campata unica L<sub>calc</sub>= 19.20 m

## 8.2 Carichi e combinazioni di carico

I carichi considerati, le disposizioni sull'impronta delle solette e le combinazioni SLE e SLU sono le medesime descritte nei paragrafi precedenti.

Nel dimensionamento delle armature relative alla porzione di soletta dello sbalzo, a partire dalla connessione con la nuova trave a cassoncino più esterna, si prende in conto anche la sollecitazione flettente indotta dalla eventuale presenza delle barriere FOA.

Tale sollecitazione è stimata secondo quanto di seguito riassunto e viene considerata come addendo aggiuntivo rispetto a quanto determinato attraverso le analisi agli E.F. per la verifica a flessione della sezione di incastro dello sbalzo.

Azione del vento sulle barriere FOA:							
(DM 14.01.2008_3.3; circolare esplicativa C3.3.10)							
P <sub>VENTO</sub>	H <sub>FOA</sub>	H <sub>CALCOLO</sub>	i <sub>FOA</sub>	M <sub>BASE</sub>	L <sub>SBALZO</sub>	L <sub>DIFF</sub>	M <sub>VENTO</sub>
(kN/mq)	(m)	(m)	(m)	(kNm)	(m)	(m)	(kNm)
2.20	4	0	3	0.00	0.91	1.82	0.00

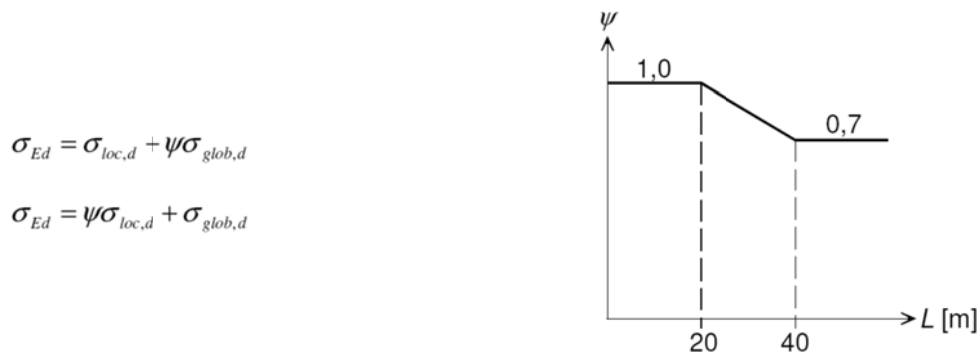
  

Si assume il vento concomitante alla massima azione da traffico:				
γ <sub>VENTO</sub>	Ψ <sub>0</sub>	Ψ <sub>1,2</sub>	M <sub>SLU_VENTO-LE-CARATT_VENTO</sub>	M <sub>SLU_VENTO-LE-CARATT_VENTO</sub>
(-)	(-)	(-)	(kNm)	(kNm)
1.5	0.6	0	0.00	0.00

### 8.2.1 Effetti locali e globali

Le sollecitazioni considerate derivano dalla combinazione di quelle dedotte mediante lo studio della statica locale e globale (EN 1993-2 Annex E). Si fa riferimento all'eurocodice 3 nel quale si prevede il calcolo di un coefficiente di combinazione  $\psi$  funzione della luce del ponte da applicare alle sollecitazioni locali o globali che andranno così a sommarsi alle restanti.

La relazione che definisce il coefficiente  $\psi$  in funzione della luce della campata è riassunta nella figura seguente.

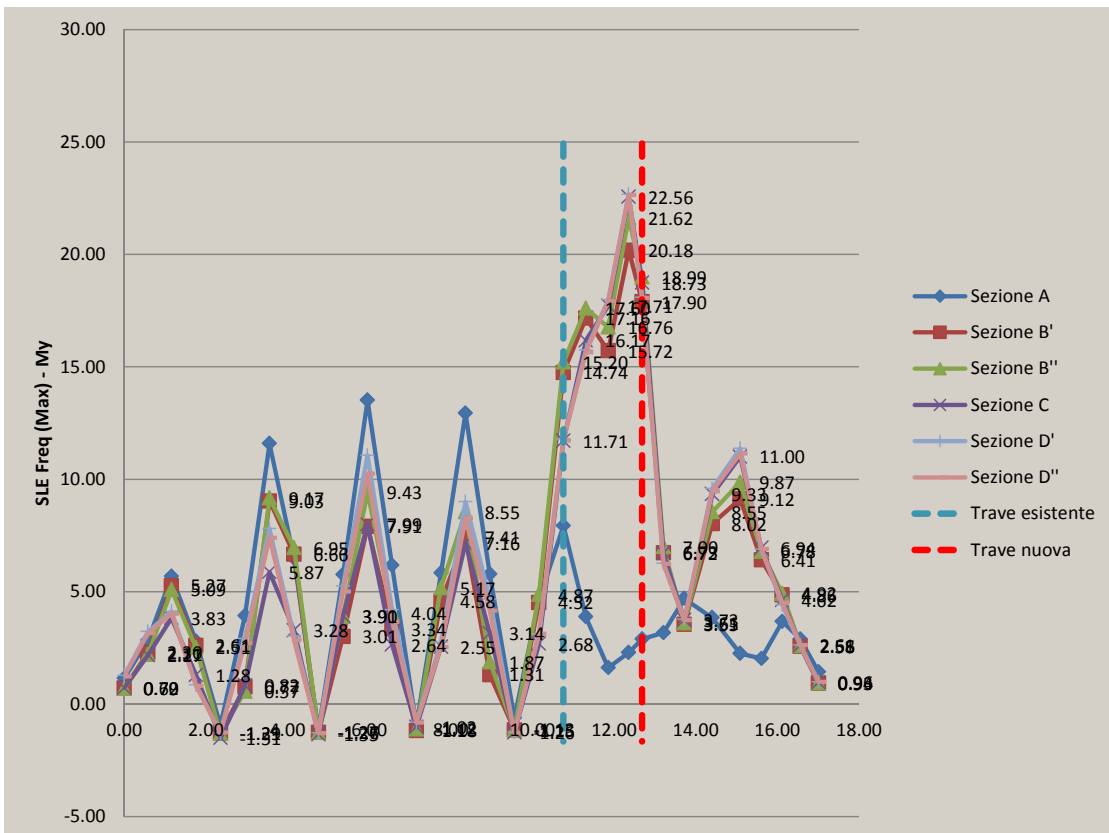
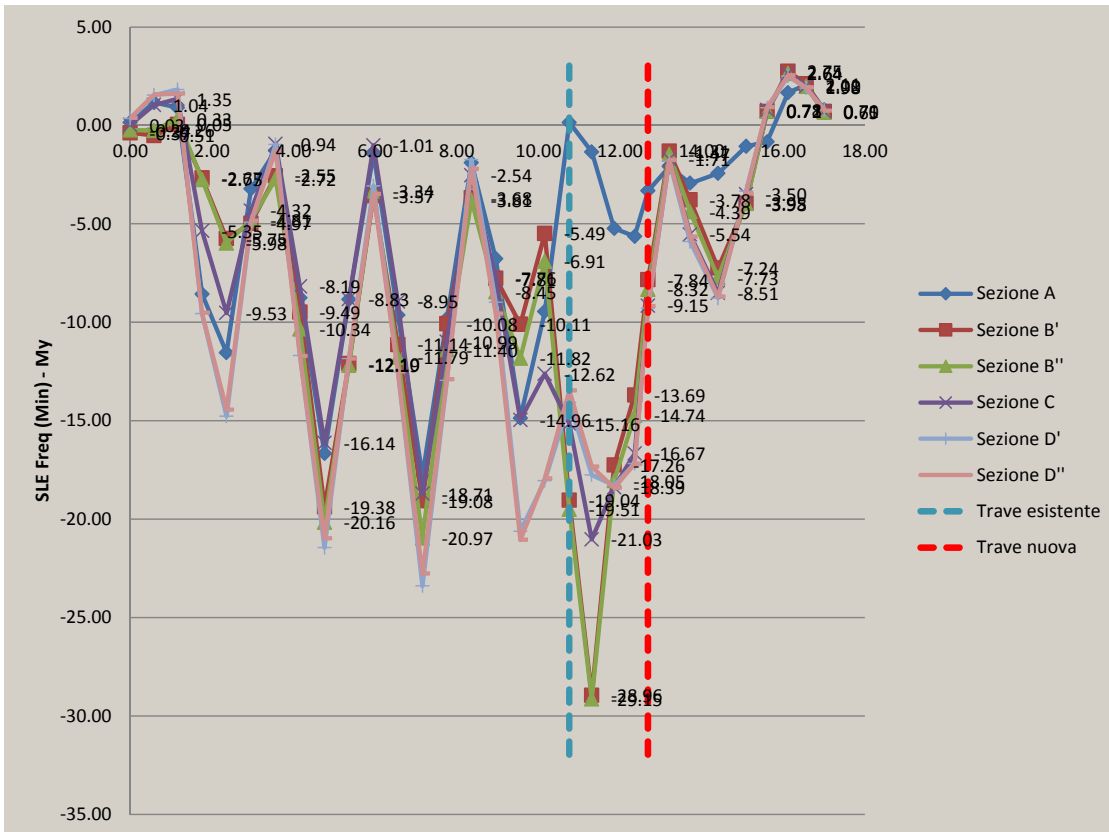


Date le luci in gioco si assume un coefficiente  $\psi$  di combinazione degli effetti unitario.

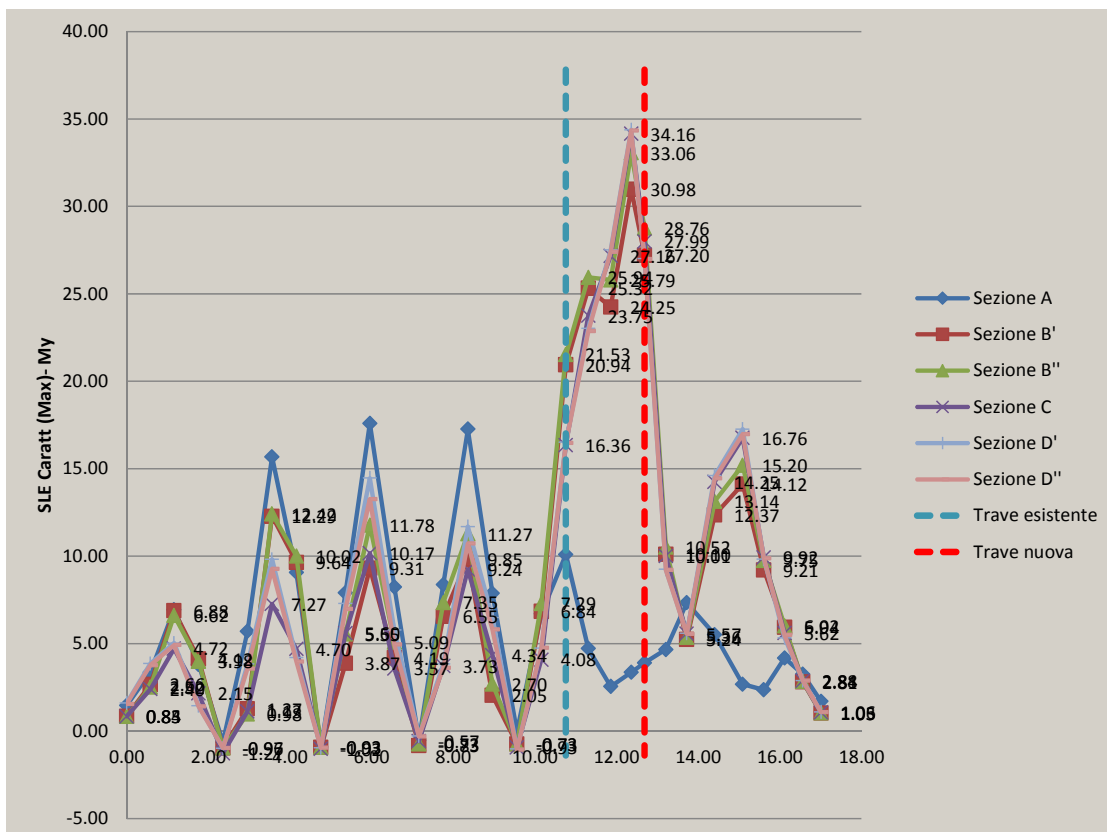
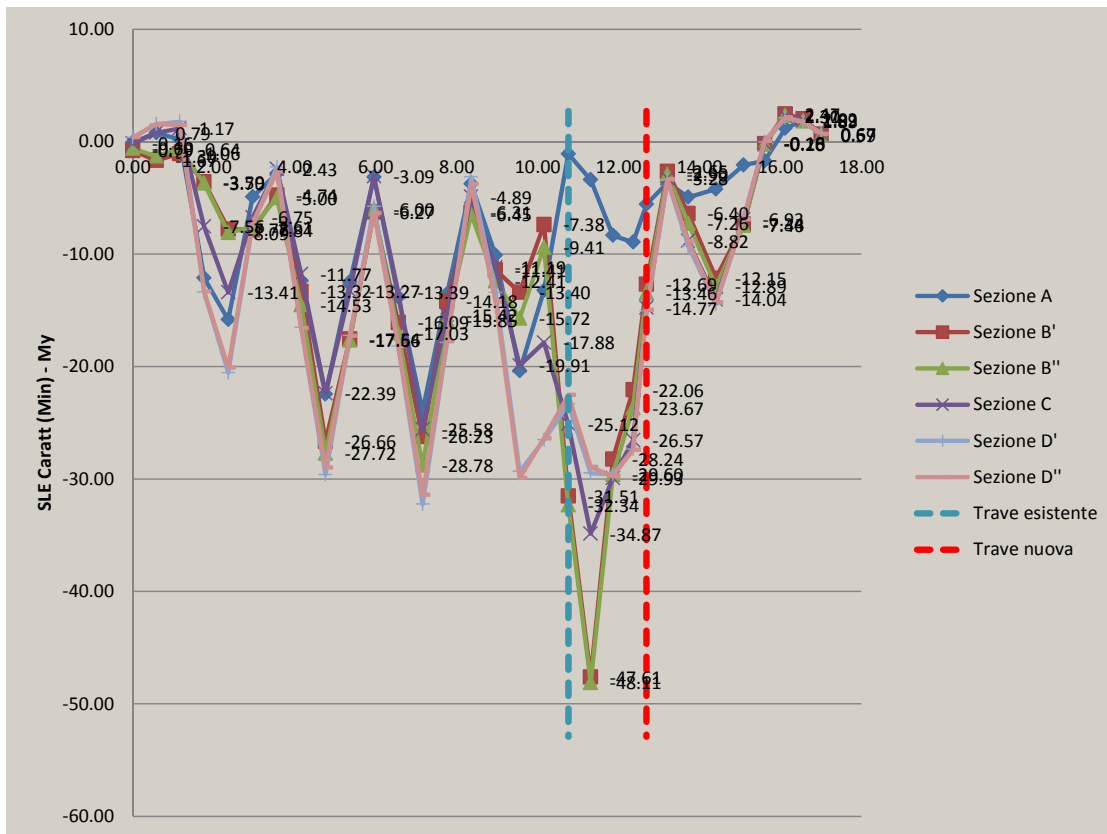
### 8.3 Sollecitazioni

Di seguito si riportano gli involuipi per  $M_{y,max/min}$  (trasversale), e  $S_{y,max/min}$  (trasversale) per i tre S.L. considerati. Le analisi prendono in conto il diverso orientamento delle barre di armatura rispetto all'asse di riferimento dell'azione flettente calcolata con l'analisi numerica.

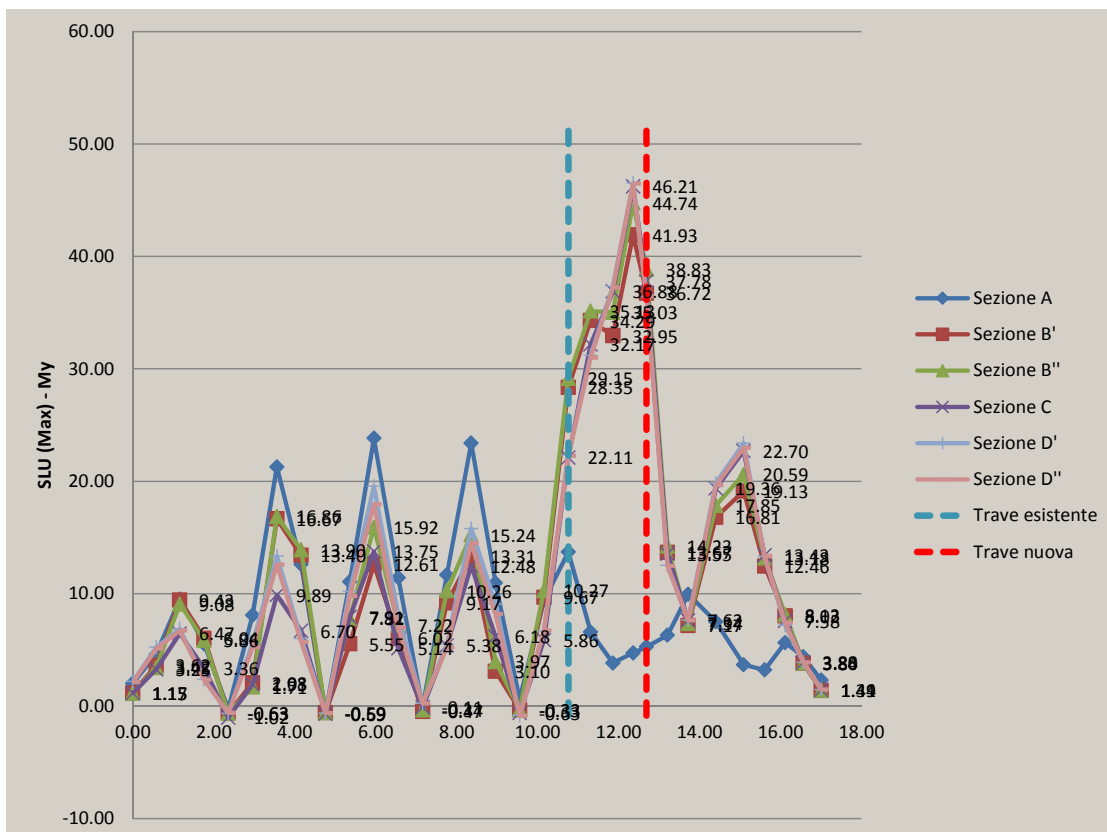
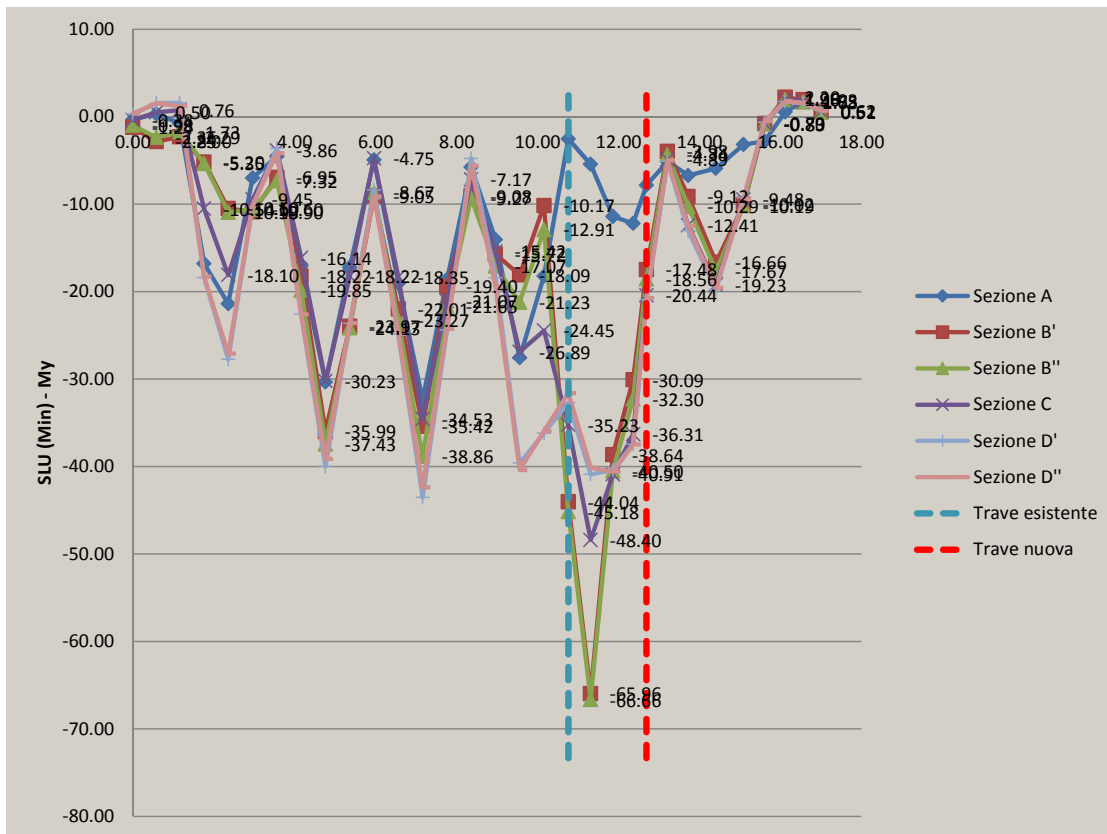
S.L.E. frequente – momenti trasversali



S.L.E. caratteristica – momenti trasversali



S.L.U. caratteristica – momenti trasversali







## 8.4 Risultati di verifica della soletta

Di seguito si riassumono in forma sintetica i risultati delle verifiche effettuate.

### 8.4.1 Armature trasversali

Soletta Esistente				
Armatura lenta		Trefoli precompressi		
Armatura esistente		Armatura esistente		Aggiuntiva sup.
Sup	Inf	Sup	Inf	Sup
(mm)	(mm)	(mm)	(mm)	(mm)
2.81Φ8/m	2.81Φ8/m	3.21Φ0.5"/m	3.21Φ0.5"/m	–

Soletta nuova - sutura							
Armatura							
Sez. Sutura		Soletta Connessione		Soletta Nuova		Soletta Sbalzo	
Sup	Inf	Sup	Inf	Sup	Inf	Sup	Inf
(mm)	(mm)	(mm)	(mm)	(mm)	(mm)	(mm)	(mm)
Φ 26/40	Φ 26/40	Φ 16/20	Φ 16/20	Φ 14/20	Φ 14/20	Φ 14/20	Φ 14/20

8.4.2 Risultati

Sollecitazione Max/Min - SLEFreq (Min) - My					
Minimo					
	Sol. Esistente (kNm/m)	Sez. Sutura (kNm/m)	Soletta di connessione (kNm/m)	Sol.Nuova (kNm/m)	Sol. Sbalzo (kNm/m)
	-29.15	-18.42	-18.42	-9.28	0.65
$\sigma_s$ (Mpa)	-	-	116	75	-
$\sigma_c$ (Mpa)	-	-	3.5	2	-
$w_k$ (mm)	-	-	0	0	-

Sollecitazione Max/Min - SLEFreq (Max) - My					
Massimo					
	Sol. Esistente (kNm/m)	Sez. Sutura (kNm/m)	Soletta di connessione (kNm/m)	Sol.Nuova (kNm/m)	Sol. Sbalzo (kNm/m)
	17.60	17.97	22.66	18.99	4.92
$\sigma_s$ (Mpa)	-	-	110	118	-
$\sigma_c$ (Mpa)	-	-	3.4	3.1	-
$w_k$ (mm)	-	-	0	0	-

Sollecitazione Max/Min - SLECaratt (Min) - My					
Minimo					
	Sol. Esistente (kNm/m)	Sez. Sutura (kNm/m)	Soletta di connessione (kNm/m)	Sol.Nuova (kNm/m)	Sol. Sbalzo (kNm/m)
	-48.11	-29.93	-29.93	-15.07	0.59
$\sigma_s$ (Mpa)	-	-	188	122	-
$\sigma_c$ (Mpa)	-	-	5.6	3.2	-
$w_k$ (mm)	-	-	-	-	-

Sollecitazione Max/Min - SLECaratt (Max) - My					
Massimo					
	Sol. Esistente (kNm/m)	Sez. Sutura (kNm/m)	Soletta di connessione (kNm/m)	Sol.Nuova (kNm/m)	Sol. Sbalzo (kNm/m)
	25.94	27.51	34.37	28.76	6.02
$\sigma_s$ (Mpa)	-	-	167	178	37
$\sigma_c$ (Mpa)	-	-	5.1	4.7	1
$w_k$ (mm)	-	-	-	-	-

Sollecitazione Max/Min - SLU (Min) - My					
Minimo					
	Sol. Esistente (kNm/m)	Sez. Sutura (kNm/m)	Soletta di connessione (kNm/m)	Sol.Nuova (kNm/m)	Sol. Sbalzo (kNm/m)
	-66.66	-40.91	-40.91	-20.92	0.51
c.s. (-)	1.67	1.71	1.6	2.49	-

Si prolunga fino a 2.00 m la sovrapposizione coi 3  $\Phi$  26/m superiori:  $M_r=112$  kNm/m; c.s.= 1.67

Verificando la soletta esistente al filo trave esistente si ottiene  $M_{sLU}=-43.75$  kNm/m; c.s. = 1.44

Sollecitazione Max/Min - SLU (Max) - My					
Massimo					
	Sol. Esistente (kNm/m)	Sez. Sutura (kNm/m)	Soletta di connessione (kNm/m)	Sol.Nuova (kNm/m)	Sol. Sbalzo (kNm/m)
	35.13	37.35	46.51	38.83	8.13
c.s. (-)	4.24	1.88	2.15	2.04	9.74

Si prolunga fino a 2.00 m la sovrapposizione coi 3  $\Phi$  26 a metro superiori:  $M_r=149$  kNm/m; c.s.= 4.24

Verificando la soletta esistente al filo trave esistente si ottiene  $M_{sLU}=23.83$  kNm/m; c.s. = 2.65

		Sollecitazione Max/Min - SLU (Min) - Sy				
		Minimo				
		Sol. Esistente (kNm/m)	Sez. Sutura (kNm/m)	Soletta di connessione (kNm/m)	Sol. Nuova (kNm/m)	Sol. Sbalzo (kNm/m)
		-131.83	-76.61	-80.61	-53.38	-44.91
c.s.	(-)	1.13	1.44	1.46	2.00	2.40

		Sollecitazione Max/Min - SLU (Max) - Sy				
		Massimo				
		Sol. Esistente (kNm/m)	Sez. Sutura (kNm/m)	Soletta di connessione (kNm/m)	Sol. Nuova (kNm/m)	Sol. Sbalzo (kNm/m)
		127.90	16.89	33.82	55.47	21.79
c.s.	(-)	1.17	6.53	3.49	1.95	4.91

Nelle verifiche si è preso in conto l'effetto della rotazione delle armature nel piano rispetto all'asse delle travi principali.

## 9. Azioni sugli appoggi

Di seguito i risultati ottenuti in termini di componenti verticali massime agenti sugli appoggi.

Come anticipato nei paragrafi precedenti, l'analisi presente indaga il solo comportamento statico dell'impalcato e, di conseguenza, consente di ottenere le informazioni di seguito riassunte per il dimensionamento degli appoggi.

Le informazioni complementari in termini di azioni orizzontali statiche e sismiche (si ricorda che è prevista la realizzazione di appositi dispositivi di ritenuta sismica) e di spostamenti sono dettagliate nelle relazioni dedicate al progetto delle sottostrutture a cui si rimanda.

### Azioni verticali massime agenti sugli appoggi:

	Fz (Max)				
	Nodo (-)	SLECaratt-Reaz (kN)	SLEFreq-Reaz (kN)	SLU-Reaz (kN)	SLUFreq-Reaz (kN)
Imp. nuovo	118	1139	909	1537	1227
	157	960	779	1296	1052
	284	1115	864	1505	1166
	323	1164	900	1571	1215
Impalcato esistente	446	840	683	1133	922
	556	797	652	1076	880
	562	804	651	1086	879
	746	553	463	747	625
	756	815	661	1101	892
	940	733	610	989	823
	950	957	760	1292	1026
	1134	959	761	1294	1027
	1144	747	609	1008	823
	1328	740	604	999	816
<b>Massima Azione verticale Impalcato nuovo</b>					
	SLECaratt-Reaz (kN)	SLEFreq-Reaz (kN)	SLU-Reaz (kN)	SLUFreq-Reaz (kN)	
	<b>1164</b>	<b>909</b>	<b>1571</b>	<b>1227</b>	
<b>Massima Azione verticale Impalcato esistente</b>					
	SLECaratt-Reaz (kN)	SLEFreq-Reaz (kN)	SLU-Reaz (kN)	SLUFreq-Reaz (kN)	
	<b>959</b>	<b>761</b>	<b>1294</b>	<b>1027</b>	